

สำนักหอสมุดกลาง พระจอมเกล้าลาดกระบัง

ระบบควบคุมหุ่นยนต์อินเวอร์ทเพนดูลัม

INVERTED PENDULUM ROBOT CONTROL SYSTEM



เลขหมู่.....
เลขทะเบียน...103062
วัน,เดือน,ปี...2.7.ค.ศ. 2552

b.....
i.....

ปริญญานิพนธ์นี้เป็นส่วนหนึ่งของการศึกษาตามหลักสูตรปริญญาวิศวกรรมศาสตรบัณฑิต

สาขาวิศวกรรมระบบควบคุม

สถาบันเทคโนโลยีพระจอมเกล้าเจ้าคุณทหารลาดกระบัง

ปีการศึกษา 2551

เอกสารนี้เป็นเอกสารที่สงวนไว้สำหรับการใช้งานเพื่อการศึกษาเท่านั้น ไม่อนุญาตให้นำไปใช้ประโยชน์ด้านการค้า
ไม่ว่ากรณีใดๆ ทั้งสิ้น อีกทั้งห้ามมิให้ดัดแปลงเนื้อหาและต้องอ้างอิงถึงเจ้าของเอกสารทุกครั้งที่มีการนำไปใช้

ปริญญานิพนธ์ปีการศึกษา 2551

ภาควิชาวิศวกรรมระบบควบคุม คณะวิศวกรรมศาสตร์

สถาบันเทคโนโลยีพระจอมเกล้าเจ้าคุณทหารลาดกระบัง

เรื่อง ระบบควบคุมหุ่นยนต์อินเวอร์ทเพนดูลัม
INVERTED PENDULUM ROBOT CONTROL SYSTEM

ผู้จัดทำ นายกฤตฉัฐ เกิดสว่าง 48010019
นางสาวพรจุติ ทรวงแก้ว 48010575
นายภูริเดช จันทะโก 48010689



..... อาจารย์ที่ปรึกษา
(ผศ.ดร. ทาวร เบญจนาสุทธี)

เอกสารนี้เป็นเอกสารที่สงวนไว้สำหรับการใช้งานเพื่อการศึกษาเท่านั้น ไม่อนุญาตให้นำไปใช้ประโยชน์ด้านการค้า
ไม่ว่ากรณีใดๆ ทั้งสิ้น อีกทั้งห้ามมิให้ดัดแปลงเนื้อหาและต้องอ้างอิงถึงเจ้าของเอกสารทุกครั้งที่มีการนำไปใช้

ระบบควบคุมหุ่นยนต์อินเวอร์ทเพนดูลัม

โดย

นายกฤตณัฐ เกิดสว่าง 48010019

นางสาวพรจติ ทรวงแก้ว 48010575

นายภูริเดช จันทะโก 48010689

อาจารย์ที่ปรึกษา

ผศ.ดร. ถาวร เบนญจนราษฎร์

ปีการศึกษา 2551

บทคัดย่อ

ปริญญานิพนธ์ฉบับนี้ นำเสนอการศึกษา และการออกแบบระบบควบคุมหุ่นยนต์อินเวอร์ทเพนดูลัม โดยระบบอินเวอร์ทเพนดูลัมได้รับความสนใจมานานในแวดวงวิศวกรรมระบบควบคุม เนื่องจากมีคุณสมบัติที่เป็นระบบไม่เป็นเชิงเส้นและไม่มีเสถียรภาพ

การออกแบบและสร้างหุ่นยนต์อินเวอร์ทเพนดูลัม มีพื้นฐานมาจากพาหนะขนส่งส่วนบุคคลสองล้อ เซกเวย์เอชที (Segway HT) ที่อาศัยหลักการของระบบควบคุมอินเวอร์ทเพนดูลัม มาออกแบบตัวควบคุมเพื่อรักษาสมดุล และเสถียรภาพของหุ่นยนต์ โดยในโครงการนี้ใช้วิธีการออกแบบตัวควบคุมแบบตัวคุมค่ากำลังสองเชิงเส้น และใช้เซนเซอร์สองชนิดวัดค่ามุมเบี่ยงเบน คือ เซนเซอร์ไจโรสโคป และเซนเซอร์ความเร่ง โดยได้นำแคลแมนฟิลเตอร์มาใช้ในการประมวลผลเซนเซอร์ร่วมกัน เพื่อปรับปรุงค่ามุมให้มีความแม่นยำ โดยอาศัยหลักการข้างต้น ตัวควบคุมที่ได้ออกแบบจะถูกนำมาโปรแกรมให้กับไมโครคอนโทรลเลอร์ จากการทดลองพบว่าระบบควบคุมที่ออกแบบสามารถรักษาสมดุลของหุ่นยนต์อินเวอร์ทเพนดูลัมได้

INVERTED PENDULUM ROBOT CONTROL SYSTEM

By

Mr.Krittanat Kurdsawang

Miss Pornjuti Soungkaew

Mr.Puridech Juntago

Advisor

Asst. Prof. Dr. Taworn Benjanarasuth

Academic Year 2008

Abstract

This thesis presents study and design of inverted pendulum robot control system. The inverted pendulum system has long been interesting of control engineers. It is due to the fact that the system is inherited the non-linearity and unstability attributes

Designing and building of inverted pendulum robot is based on individual vehicle transportation called Segway HT. The controller is designed to control the system so that it is balanced and stable. In this thesis, Linear Quadratic Regulator (LQR) technique is applied to design the controller, Two types of sensors are used to provide tilt angle are gyroscopes and accelerometer. Kalman filter is then utilized for data fusion to improve the measurement of angle. The Theoretical concepts are finally realized in the microcontroller. From the experiments, the designed controller system can balance and stabilize the Inverted pendulum robot.

กิตติกรรมประกาศ

การจัดทำปริญญาบัตรฉบับนี้ สามารถสำเร็จลุล่วงไปได้ด้วยดี เพราะได้รับความช่วยเหลือเป็นอย่างดี จาก ผศ.ดร. ถาวร เบญจนาสุทธี ที่ได้กรุณาให้คำปรึกษาแนะนำที่ดีมาโดยตลอดตั้งแต่ต้น รวมทั้งเอื้อเฟื้ออุปกรณ์ที่จำเป็น และความช่วยเหลืออื่น ๆ ที่เป็นประโยชน์ต่อโครงการ ผู้จัดทำรู้สึกซาบซึ้งและขอกราบขอบพระคุณอย่างสูง

ขอบคุณเพื่อนๆ ทุกคนที่ให้กำลังใจ สนับสนุนอุปกรณ์ที่ขาดเหลือ กระตุ้นเตือน รวมทั้งคอยถามไถ่ความคืบหน้าของโครงการอยู่เสมอ

สุดท้ายนี้ผู้จัดทำขอกราบขอบพระคุณบิดา มารดา และครอบครัว ที่คอยเป็นกำลังใจที่ดีตลอดมา รวมถึงการสนับสนุนในเรื่องของงบประมาณที่ขาดเหลือ ตลอดจนเป็นแรงบันดาลใจที่ดีที่สุดที่ทำให้โครงการนี้สำเร็จสมบูรณ์ลงได้



เอกสารนี้เป็นเอกสารที่สงวนไว้สำหรับการใช้งานเพื่อการศึกษาเท่านั้น ไม่อนุญาตให้นำไปใช้ประโยชน์ด้านการค้า
ไม่ว่ากรณีใดๆ ทั้งสิ้น อีกทั้งห้ามมิให้ดัดแปลงเนื้อหาและต้องอ้างอิงถึงเจ้าของเอกสารทุกครั้งที่มีการนำไปใช้

สารบัญ

	หน้า
บทคัดย่อ	I
บทคัดย่อภาษาอังกฤษ	II
กิตติกรรมประกาศ	III
สารบัญ	IV
สารบัญรูป	VIII
สารบัญตาราง	XI

บทที่ 1 บทนำ	1
1.1 กล่าวนำ	2
1.2 วัตถุประสงค์ของปริิญาานิพนธ์	2
1.3 ขั้นตอนการศึกษาและการจัดทำโครงการ	2
1.4 รายละเอียดของปริิญาานิพนธ์	2
บทที่ 2 ทฤษฎีและความรู้พื้นฐาน	3
2.1 แบบจำลองทางคณิตศาสตร์ของหุ่นยนต์อินเวอร์ทเพนดูลัม	3
2.1.1 แบบจำลองของมอเตอร์ไฟฟ้ากระแสตรง	3
2.1.2 แบบจำลองล้อของหุ่นยนต์อินเวอร์ทเพนดูลัม	6
2.1.3 แบบจำลองของก้านเพนดูลัม	9
2.2 ทฤษฎีการออกแบบตัวควบคุม	12
2.2.1 ความควบคุมได้	12
2.2.2 การวางตำแหน่งโพล	13
2.2.3 ตัวคุมค่ากำลังสองเชิงเส้น	14
2.3 แคลแมนฟิลเตอร์	16
2.4 หลักการทำงานของเซนเซอร์	20
2.4.1 เซนเซอร์ไจโรสโคป	21
2.4.2 เซนเซอร์ความเร่ง	22
2.4.3 เอนโคเดอร์	23
2.5 ไมโครคอนโทรลเลอร์ dsPIC	24
2.5.1 คุณสมบัติของ dsPIC30F4012	24
2.5.2 หน่วยอุปกรณ์ต่อพ่วงที่ใช้ในโครงการ	27

เอกสารนี้เป็นเอกสารที่สงวนไว้สำหรับการใช้งานเพื่อการศึกษาเท่านั้น ไม่อนุญาตให้นำไปใช้ประโยชน์ด้านการค้า
ไม่ว่ากรณีใดๆ ทั้งสิ้น อีกทั้งห้ามมิให้ดัดแปลงเนื้อหาและต้องอ้างอิงถึงเจ้าของเอกสารทุกครั้งที่มีการนำไปใช้

สารบัญ(ต่อ)

	หน้า
2.6 หลักการควบคุมมอเตอร์ไฟฟ้ากระแสตรง	32
2.6.1 การควบคุมความเร็วมอเตอร์ไฟฟ้ากระแสตรง	32
2.6.2 การควบคุมทิศทางของมอเตอร์กระแสตรง	33
บทที่ 3 การออกแบบ	35
3.1 การออกแบบโครงสร้างของหุ่นยนต์อินเวอร์ทเพนดูลัม	35
3.1.1 ฐานของหุ่นยนต์อินเวอร์ทเพนดูลัม	36
3.1.2 ฐานด้านข้างของหุ่นยนต์อินเวอร์ทเพนดูลัม	37
3.1.3 ฐานของคัมถ่วงบนก้านเพนดูลัม	37
3.1.4 ตัวยึดบนก้านเพนดูลัม	38
3.1.5 ล้อของหุ่นยนต์อินเวอร์ทเพนดูลัม	39
3.1.6 ตัวยึดล้อของหุ่นยนต์อินเวอร์ทเพนดูลัม	39
3.2 การออกแบบวงจร	40
3.2.1 วงจรไมโครคอนโทรลเลอร์	41
3.2.2 วงจรจอแสดงผลแอลซีดี	41
3.2.3 วงจรเซนเซอร์ไจโรสโคป	42
3.2.4 วงจรเซนเซอร์ความเร่ง	42
3.2.5 วงจรขับมอเตอร์	43
3.2.6 วงจรจ่ายแรงดัน 3.3 โวลต์	43
3.2.7 วงจรจ่ายแรงดัน 5 โวลต์	44
3.2.8 วงจรรับอินพุตจากเอนโคเดอร์มอเตอร์	44
3.3 การออกแบบระบบควบคุม	45
3.3.1 ปัญหาทางระบบควบคุม	46
3.3.2 การออกแบบระบบควบคุมด้วยตัวคุมค่ากำลังสองเชิงเส้น	47
3.4 การออกแบบโปรแกรม	49
3.4.1 ส่วนการอ่านค่าจากเซนเซอร์ความเร่งและเซนเซอร์ไจโรสโคป	49
3.4.2 ส่วนการประมวลผลเซนเซอร์ร่วมกันด้วยแคลแมนฟิลเตอร์	50
3.4.3 ส่วนการอ่านค่าจากเอนโคเดอร์	51
3.4.4 ส่วนการควบคุมสมดุลหุ่นยนต์อินเวอร์ทเพนดูลัม	52
3.4.5 ส่วนการควบคุมมอเตอร์	52

เอกสารนี้เป็นเอกสารที่สงวนไว้สำหรับการใช้งานเพื่อการศึกษาเท่านั้น ไม่อนุญาตให้นำไปใช้ประโยชน์ด้านการค้า
ไม่ว่ากรณีใดๆ ทั้งสิ้น อีกทั้งห้ามมิให้ดัดแปลงเนื้อหาและต้องอ้างอิงถึงเจ้าของเอกสารทุกครั้งที่มีการนำไปใช้

สารบัญ(ต่อ)

	หน้า
3.4.6 ส่วนการแสดงผลบนจอแสดงผลแอลซีดี	53
บทที่ 4 การทดลองและผลการทดลอง	55
4.1 การทดลองหาค่าศูนย์ของเซนเซอร์	55
4.2 การทดลองหาโมเมนต์ความเฉื่อยของหุ่นยนต์	57
4.3 การทดลองควบคุมระบบหุ่นยนต์อินเวอร์ทเพนดูลัม	59
บทที่ 5 สรุปและวิเคราะห์ปัญหา	62
5.1 สรุปผลการดำเนินงาน	62
5.2 ปัญหาและแนวทางแก้ไข	62
5.3 แนวทางการพัฒนาในอนาคต	62
เอกสารอ้างอิง	63
ภาคผนวก ก	64
ก.1 ส่วนฐานด้านล่าง	64
ก.2 ส่วนฐานด้านบน	65
ก.3 ส่วนฐานด้านข้าง	66
ก.4 ส่วนยึดก้านอินเวอร์ทเพนดูลัม	67
ก.5 ส่วนฐานด้านบนและด้านล่างของคัมถ่วงน้ำหนักบนก้านเพนดูลัม	68
ก.6 ส่วนล้อ	69
ก.7 ส่วนแป้นยึดล้อและเพลามอเตอร์	70
ก.8 การประกอบชิ้นส่วนต่างๆ	71
ภาคผนวก ข เอกสารคู่มืออุปกรณ์อิเล็กทรอนิกส์	72
ข.1 เอกสารคู่มือการใช้งาน dsPIC30F4012	72
ข.2 เอกสารคู่มือการใช้งาน IDG300	74
ข.3 เอกสารคู่มือการใช้งาน AXDL330	77
ข.4 เอกสารคู่มือการใช้งาน L298N	81
ข.5 เอกสารคู่มือการใช้งาน MCP1702 – 3.3	84
ข.6 เอกสารคู่มือการใช้งาน MC 7805	86
ภาคผนวก ค เอกสารคู่มือมอเตอร์	88

เอกสารนี้เป็นเอกสารที่สงวนไว้สำหรับการใช้งานเพื่อการศึกษาเท่านั้น ไม่อนุญาตให้นำไปใช้ประโยชน์ด้านการค้า
ไม่ว่ากรณีใดๆ ทั้งสิ้น อีกทั้งห้ามมิให้ดัดแปลงเนื้อหาและต้องอ้างอิงถึงเจ้าของเอกสารทุกครั้งที่มีการนำไปใช้

สารบัญ(ต่อ)

	หน้า
ภาคผนวก ง โปรแกรมควบคุมสมดุลของหุ่นยนต์อินเวอร์ทเพนดูลัม	90
ง.1 โปรแกรมย่อยสำหรับควบคุมหน่วยแปลงสัญญาณอนาลอกเป็นดิจิตอล	90
ง.2 โปรแกรมย่อยอ่านค่ามุมเบี่ยงเบนจากเซนเซอร์ความเร่ง	91
ง.3 โปรแกรมย่อยอ่านค่าอัตราเร็วเชิงมุมจากเซนเซอร์ใจโรสโคป	91
ง.4 โปรแกรมย่อยแคลแมนฟิลเตอร์	92
ง.5 โปรแกรมย่อยควบคุมการอ่านค่าจากเอนโคเดอร์	93
ง.6 โปรแกรมย่อยควบคุมหน่วยสร้างสัญญาณ PWM	94
ง.7 โปรแกรมย่อยควบคุมหน่วยสื่อสารข้อมูลอนุกรม	96
ง.8 โปรแกรมย่อยควบคุมจอแสดงผลแอลซีดี	98
ง.9 โปรแกรมย่อยกำหนดค่าของไมโครคอนโทรลเลอร์	101
ง.10 โปรแกรมหลักของระบบควบคุมอินเวอร์ทเพนดูลัม	101
ภาคผนวก จ โปรแกรมออกแบบตัวควบคุมด้วย MATLAB	106

เอกสารนี้เป็นเอกสารที่สงวนไว้สำหรับการใช้งานเพื่อการศึกษาเท่านั้น ไม่อนุญาตให้นำไปใช้ประโยชน์ด้านการค้า
ไม่ว่ากรณีใดๆ ทั้งสิ้น อีกทั้งห้ามมิให้ดัดแปลงเนื้อหาและต้องอ้างอิงถึงเจ้าของเอกสารทุกครั้งที่มีการนำไปใช้

สารบัญรูป

รูปที่	หน้า
1.1 เซกเวย์เอชที	1
2.1 แบบจำลองโครงสร้างของมอเตอร์ไฟฟ้ากระแสตรง	3
2.2 แผนภาพแรงของล้อทั้งสอง	6
2.3 แผนภาพแรงของก้านอินเวอร์ทเพนดูลัม	9
2.4 เซนเซอร์ใจโรสโคป IDG300	21
2.5 โครงสร้างภายในของใจโรสโคป	21
2.6 ตัวอย่างแสดงความเร่งคอร์ริโอลิส	22
2.7 เซนเซอร์ความเร่ง ADXL330	22
2.8 อินครีเมนทเอน โคคเตอร์	23
2.9 โครงสร้างและการทำงานของเอน โคคเตอร์	23
2.10 ไมโครคอนโทรลเลอร์ dsPIC30F4012	24
2.11 แผนภาพของไมโครคอนโทรลเลอร์ dsPIC30F4012	25
2.12 แผนภาพของหน่วยแปลงสัญญาณอนาลอกเป็นดิจิตอล	29
2.13 แผนผังการใช้ช่องซีกตัวอย่างและคงค่า 2 ช่องในการรับสัญญาณแบบติดต่อกัน	29
2.14 แผนผังการเชื่อมต่อเพื่อให้ค่าซีกตัวอย่างมากที่สุด	30
2.15 แผนภาพของ โมดูล MCPWM	31
2.16 สัญญาณพัลส์วิทมอดูเลชัน	33
2.17 วงจรเอชบริดจ์	33
2.18 การทำงานของวงจรเอชบริดจ์เมื่อจ่ายไฟที่จุด A	34
2.19 การทำงานของวงจรเอชบริดจ์เมื่อจ่ายไฟที่จุด B	34
3.1 โครงสร้างหุ่นยนต์อินเวอร์ทเพนดูลัม	35
3.2 ฐานด้านบนของหุ่นยนต์อินเวอร์ทเพนดูลัม	36
3.3 ฐานด้านล่างของหุ่นยนต์อินเวอร์ทเพนดูลัม	36
3.4 ฐานด้านข้างของหุ่นยนต์อินเวอร์ทเพนดูลัม	37
3.5 ฐานของคัมถ่วงน้ำหนักบนก้านเพนดูลัม	38
3.6 ตัวยึดบนก้านเพนดูลัม	38
3.7 ล้อของหุ่นยนต์อินเวอร์ทเพนดูลัม	39
3.8 ตัวยึดล้อของหุ่นยนต์อินเวอร์ทเพนดูลัม	40
3.9 แผนภาพการเชื่อมต่อวงจรต่างๆ	40

เอกสารนี้เป็นเอกสารที่สงวนไว้สำหรับการใช้งานเพื่อการศึกษาเท่านั้น ไม่อนุญาตให้นำไปใช้ประโยชน์ด้านการค้า
ไม่ว่ากรณีใดๆ ทั้งสิ้น อีกทั้งห้ามมิให้ดัดแปลงเนื้อหาและต้องอ้างอิงถึงเจ้าของเอกสารทุกครั้งที่มีการนำไปใช้

สารบัญรูป(ต่อ)

รูปที่	หน้า
3.10 วงจรไมโครคอนโทรลเลอร์	41
3.11 วงจรจอแสดงแอลซีดี	41
3.12 วงจรเซนเซอร์ไจโรสโคป	42
3.13 วงจรเซนเซอร์ความเร่ง	42
3.14 วงจรขับเคลื่อนมอเตอร์	43
3.15 วงจรจ่ายแรงดัน 3.3 โวลต์	43
3.16 วงจรจ่ายแรงดัน 5 โวลต์	44
3.17 วงจรรับอินพุทจากเอนโคเดอร์มอเตอร์	44
3.18 ผลตอบสนองวงเปิดของแบบจำลองระบบต่อสัญญาณระดับ	46
3.19 โพลวงเปิดของระบบ	47
3.20 โพลวงปิดของระบบเมื่อออกแบบระบบด้วยตัวคุมค่ากำลังสองเชิงเส้น	48
3.21 ผลตอบสนองของระบบต่อสัญญาณระดับเมื่อออกแบบด้วยตัวคุมค่ากำลังสองเชิงเส้น	48
3.22 ทิศทางแกนของเซนเซอร์ความเร่ง	49
3.23 ทิศทางการหมุนของเซนเซอร์ไจโรสโคป	50
3.24 สัญญาณเอาต์พุทของเอนโคเดอร์	51
3.25 แผนผังหน่วยกำเนิดสัญญาณพัลส์สี่เหลี่ยมออสซิลโลสโคป	52
3.26 แผนผังภายในของไอซี PCD8544	53
3.27 แผนผังการทำงานของโปรแกรม	54
4.1 ค่าวัดของเซนเซอร์ก่อนการชดเชย	56
4.2 ค่าวัดของเซนเซอร์หลังการชดเชย	56
4.3 แบบจำลองของฐานและตัวอย่างการทดลอง	57
4.4 ค่าวัดจากเซนเซอร์ของหุ่นยนต์	59
4.5 ผลตอบสนองของตัวแปรสเตทจากหุ่นยนต์	60
4.6 ผลตอบสนองของตัวแปรสเตทจากโปรแกรม MATLAB	60
ก.1 ส่วนฐานด้านล่าง	64
ก.2 ส่วนฐานด้านบน	65
ก.3 ส่วนฐานด้านข้าง	66
ก.4 ส่วนยึดก้านอินเวอร์ทเพนดูลัม	67
ก.5 ส่วนของฐานด้านบนและด้านล่างของตุ้มถ่วงน้ำหนักบนก้านเพนดูลัม	68

เอกสารนี้เป็นเอกสารที่สงวนไว้สำหรับการใช้งานเพื่อการศึกษาเท่านั้น ไม่อนุญาตให้นำไปใช้ประโยชน์ด้านการค้า
ไม่ว่ากรณีใดๆ ทั้งสิ้น อีกทั้งห้ามมิให้ดัดแปลงเนื้อหาและต้องอ้างอิงถึงเจ้าของเอกสารทุกครั้งที่มีการนำไปใช้

สารบัญรูป(ต่อ)

รูปที่	หน้า
ก.6 ส่วนของลื้อ	69
ก.7 ส่วนของแป้นยึดลื้อกับเพลามอเตอร์	70
ก.8 การประกอบชิ้นส่วนต่างๆ	71



เอกสารนี้เป็นเอกสารที่สงวนไว้สำหรับการใช้งานเพื่อการศึกษาเท่านั้น ไม่อนุญาตให้นำไปใช้ประโยชน์ด้านการค้า
ไม่ว่ากรณีใดๆ ทั้งสิ้น อีกทั้งห้ามมิให้ดัดแปลงเนื้อหาและต้องอ้างอิงถึงเจ้าของเอกสารทุกครั้งที่มีการนำไปใช้

สารบัญตาราง

ตารางที่	หน้า
3.1 ค่าพารามิเตอร์ของแบบจำลองของหุ่นยนต์อินเวอร์ทเพนคูล์ม	45
4.1 ตัวอย่างผลการเก็บค่าวัดจากเซนเซอร์	55
4.2 ผลการทดลองหาโมเมนต์ความเฉื่อย	58



เอกสารนี้เป็นเอกสารที่สงวนไว้สำหรับการใช้งานเพื่อการศึกษาเท่านั้น ไม่อนุญาตให้นำไปใช้ประโยชน์ด้านการค้า
ไม่ว่ากรณีใดๆ ทั้งสิ้น อีกทั้งห้ามมิให้ดัดแปลงเนื้อหาและต้องอ้างอิงถึงเจ้าของเอกสารทุกครั้งที่มีการนำไปใช้

บทที่ 1

บทนำ

1.1 กล่าวนำ

วิศวกรรมระบบควบคุม เป็นสาขาวิชาที่ศึกษาการประยุกต์ใช้ทฤษฎีต่างๆ เพื่อออกแบบควบคุมระบบให้มีประสิทธิภาพที่ดี และเป็นไปตามวัตถุประสงค์ ซึ่งการศึกษาทางวิศวกรรมระบบควบคุมจะอาศัยการหาแบบจำลองของระบบด้วยสมการทางคณิตศาสตร์ การออกแบบตัวควบคุมหรือตัวชดเชยแบบต่างๆ วงจรอิเล็กทรอนิกส์ และวงจรอิเล็กทรอนิกส์กำลัง รวมถึงศึกษาเกี่ยวกับการพัฒนาโปรแกรมคอมพิวเตอร์ อุปกรณ์วัดและแปลงสัญญาณ โดยการนำความรู้ข้างต้นมาประยุกต์ใช้ควบคุมระบบทางกายภาพจริงเป็นเป้าหมายของการศึกษาในสาขาวิชานี้

เนื่องจากโครงการระบบควบคุมหุ่นยนต์อินเวอร์ทเพนดูลัมที่นำเสนอในปฏิญานิพนธ์ฉบับนี้ เป็นเรื่องที่น่าสนใจกันอย่างแพร่หลาย โดยผลงานที่ถูกกล่าวถึงอย่างมาก คือเซกเวย์เอชที (Segway Human Transporter: Segway HT) ของดีน คาเมน (Dean Kamen) นักประดิษฐ์และผู้ประกอบการ ที่ได้ริเริ่มความคิดที่จะสร้างระบบขนส่งส่วนบุคคลแบบใหม่ในช่วงกลางของทศวรรษ 1990 เซกเวย์เอชที มีลักษณะเป็นพาหนะที่มีสองล้อวางขนานในแนวเดียวกันแต่ละล้อขับเคลื่อนแยกกันอย่างอิสระ ดังรูปที่ 1.1 โดยมีตัวควบคุมสมดุล ที่แม้ว่ามีหรือไม่มีผู้ขับขี่ ก็สามารถทรงตัวอยู่ได้ ซึ่งการควบคุมสมดุลนั้น จำเป็นต้องออกแบบตัวควบคุมมาช่วยให้เกิดเสถียรภาพแก่ระบบ เซกเวย์เอชทีใช้ตัวควบคุมแบบปริภูมิสเทท (State space) ดังนั้นจึงสนใจศึกษาแบบจำลองหุ่นยนต์อินเวอร์ทเพนดูลัมที่ใช้เซกเวย์เอชทีเป็นต้นแบบ และออกแบบตัวควบคุมด้วยปริภูมิสเทท



รูปที่ 1.1 เซกเวย์เอชที

เอกสารนี้เป็นเอกสารที่สงวนไว้สำหรับการใช้งานเพื่อการศึกษาเท่านั้น ไม่อนุญาตให้นำไปใช้ประโยชน์ด้านการค้า ไม่ว่าจะกรณีใดๆ ทั้งสิ้น อีกทั้งห้ามมิให้ดัดแปลงเนื้อหาและต้องอ้างอิงถึงเจ้าของเอกสารทุกครั้งที่มีการนำไปใช้

1.2 วัตถุประสงค์ของปฏิญานิพนธ์

ศึกษาหลักการดำเนินงานพื้นฐานของหุ่นยนต์อินเวอร์ทเพนดูลัมและระบบควบคุม โดย ออกแบบและสร้างระบบควบคุมหุ่นยนต์อินเวอร์ทเพนดูลัมซึ่งสามารถรักษาสมดุลได้ด้วยตัวเองบน ล้อที่ขนานอยู่บนแกนเดียวกัน โดยมีหลักการดำเนินงานที่คล้ายกับเซกเวย์เอชที และสามารถสร้างได้ ง่ายจากชิ้นส่วนที่หาได้โดยทั่วไปอีกด้วย

1.3 ขั้นตอนการศึกษาและการจัดทำโครงการ

1. ศึกษาาระบบควบคุมอินเวอร์ทเพนดูลัม และอุปกรณ์ต่างๆ ที่ใช้ในโครงการ
2. ออกแบบและสร้างชิ้นงานของโครงการ ด้วยโปรแกรม SolidWorks
3. ออกแบบและสร้างวงจรใช้งานให้กับอุปกรณ์ที่ใช้ในโครงการ
4. พัฒนาโปรแกรมด้วยภาษาซี ในการทดลอง และควบคุมหุ่นยนต์
5. ออกแบบตัวควบคุมที่เหมาะสมต่อการควบคุมเสถียรภาพของระบบควบคุมหุ่นยนต์ อินเวอร์ทเพนดูลัม และทดลองด้วยแบบจำลองของ MATLAB ก่อนใช้งานกับระบบจริง
6. ศึกษาเทคนิคใหม่ๆ ที่เข้ามาช่วยปรับปรุงประสิทธิภาพของระบบอินเวอร์ทเพนดูลัม เช่น แคลเมนฟิลเตอร์ เป็นต้น

1.4 รายละเอียดของปฏิญานิพนธ์

เนื้อหาในปฏิญานิพนธ์ฉบับนี้ แบ่งออกเป็น 5 บท ซึ่งครอบคลุมเนื้อหา ดังนี้
บทที่ 1 บทนำ กล่าวถึงวัตถุประสงค์ ขั้นตอนการศึกษา และการจัดทำโครงการ พร้อม ด้วยรายละเอียดโดยย่อของปฏิญานิพนธ์แต่ละบท

บทที่ 2 ทฤษฎีและความรู้ที่เกี่ยวข้อง ในบทนี้จะกล่าวถึงแบบจำลองทางคณิตศาสตร์ของ หุ่นยนต์อินเวอร์ทเพนดูลัม ทฤษฎีการออกแบบตัวควบคุม แคลเมนฟิลเตอร์ หลักการทำงานของ เซนเซอร์ ไมโครคอนโทรลเลอร์ และการควบคุมมอเตอร์ไฟฟ้ากระแสตรง

บทที่ 3 หลักการออกแบบ กล่าวถึงการออกแบบโครงสร้างของหุ่นยนต์อินเวอร์ทเพนดูลัม การออกแบบวงจร และการออกแบบตัวควบคุม

บทที่ 4 การทดลอง นำเสนอวิธีการทดลอง ผลการทดลอง และกราฟผลการทดลอง

บทที่ 5 บทวิจารณ์ และสรุป นำเสนอปัญหาที่เกิดขึ้นในการทดลอง และแนวทางพัฒนา โครงการในอนาคต

บทที่ 2

ทฤษฎีและความรู้พื้นฐาน

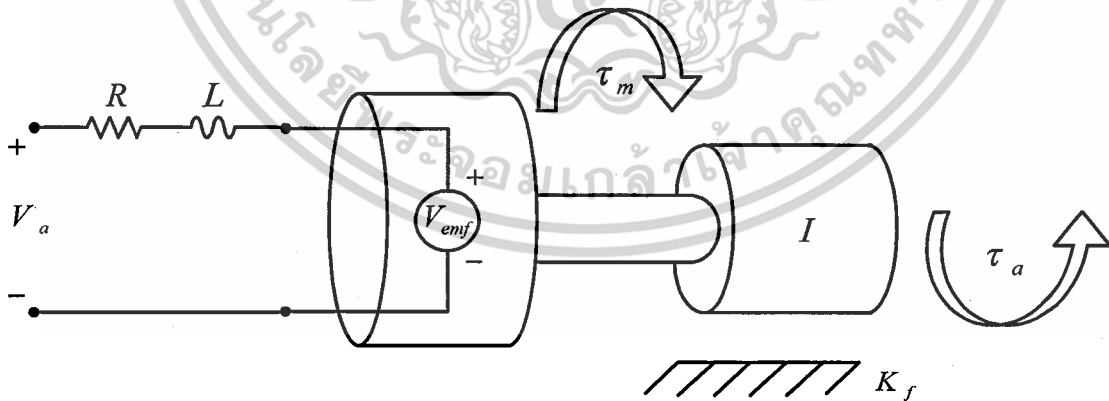
จากที่กล่าวมาแล้วในบทที่ 1 ก่อนเริ่มจัดทำโครงการต้องศึกษาทฤษฎีและความรู้พื้นฐานในปริยายพันธ์เรื่องระบบควบคุมหุ่นยนต์อินเวอร์ทเพนดูลัมฉบับนี้ ได้รวบรวมเอาหลักการและทฤษฎีที่มีความสำคัญต่อการจัดทำโครงการ เช่น แบบจำลองทางคณิตศาสตร์ของหุ่นยนต์ ทฤษฎีของการออกแบบตัวควบคุม และหลักการทำงานของอุปกรณ์ต่างๆ ดังต่อไปนี้

2.1 แบบจำลองทางคณิตศาสตร์ของหุ่นยนต์อินเวอร์ทเพนดูลัม

ในโครงการเรื่องระบบควบคุมอินเวอร์ทเพนดูลัม ระบบพลวัตของหุ่นยนต์อินเวอร์ทเพนดูลัมสามารถอธิบายด้วยแบบจำลองทางคณิตศาสตร์ ซึ่งสามารถนำมาพัฒนาในการออกแบบตัวควบคุมสมดุลให้กับหุ่นยนต์ ดังนั้นในหัวข้อนี้กล่าวถึง สมการการเคลื่อนที่ และแบบจำลองทางคณิตศาสตร์ของหุ่นยนต์อินเวอร์ทเพนดูลัม

2.1.1 แบบจำลองของมอเตอร์ไฟฟ้ากระแสตรง

ในหัวข้อนี้อธิบายถึงระบบพลวัตของมอเตอร์ไฟฟ้ากระแสตรงด้วยแบบจำลองปริภูมิสเตท โดยอธิบายจากความสัมพันธ์ของแรงดันอินพุทของมอเตอร์ไฟฟ้ากระแสตรง และแรงบิด (Torque) ที่ต้องการในการควบคุมสมดุลของหุ่นยนต์



รูปที่ 2.1 แบบจำลองโครงสร้างมอเตอร์ไฟฟ้ากระแสตรง

จากรูปที่ 2.1 เมื่อมอเตอร์ไฟฟ้ากระแสตรงได้รับแรงดันไฟฟ้าอินพุท $V_a(t)$ เข้ามา ผ่านตัวต้านทานและตัวเหนี่ยวนำที่อนุกรมอยู่ จะเหนี่ยวนำให้เกิดกระแสไฟฟ้า $i(t)$ ในขดลวดอาร์เมเจอร์ เอกสารนี้เป็นเอกสารที่สงวนไว้สำหรับกวีใช้งานเพื่อการศึกษาเท่านั้น ไม่นิยามให้ไปใช้ประโยชน์ด้านการค้า ไม่ว่ากรณีใดๆ ทั้งสิ้น อีกทั้งห้ามมิให้ตัดแปลงเนื้อหาและต้องอ้างอิงถึงเจ้าของเอกสารทุกครั้งที่มีการนำไปใช้

(Armature) และมอเตอร์จะส่งแรงบิดออกไปเป็นเอาต์พุต ซึ่งค่าแรงบิด $\tau_m(t)$ ของมอเตอร์เป็นสัดส่วนกับกระแสไฟฟ้า $i(t)$ โดยมีค่า k_m เป็นค่าคงที่ของแรงบิด

$$\tau_m(t) = k_m i(t) \quad (2.1.1)$$

เมื่อมีแรงบิด คอยล์ของมอเตอร์จะเคลื่อนที่ผ่านสนามแม่เหล็กด้วยความเร็วเชิงมุม $\omega(t)$ ทำให้เกิดแรงเคลื่อนกระแสไฟฟ้าต้านกลับขึ้น (Back electromotive force voltage, $V_{emf}(t)$) โดยมีค่า k_e เป็นค่าคงที่ของแรงดัน ไฟฟ้าต้านกลับ ซึ่งสามารถอธิบายด้วยสมการที่ (2.1.2)

$$V_{emf}(t) = k_e \omega(t) \quad (2.1.2)$$

จากกฎแรงดันไฟฟ้าของเคอร์ชอฟฟ์ (Kirchoff's voltage law) สามารถสร้างสมการอนุพันธ์เชิงเส้น (Linear differential) ของมอเตอร์ ได้ดังนี้

$$V_a(t) - Ri(t) - L \frac{di(t)}{dt} - V_{emf}(t) = 0 \quad (2.1.3)$$

เมื่อ R และ L คือค่าตัวต้านทาน และค่าตัวเหนี่ยวนำที่อนุกรมอยู่ในขดลวดอาร์เมเจอร์

จากสมการการเคลื่อนที่ของมอเตอร์ และจากกฎการเคลื่อนที่ของนิวตัน แรงเสียดทานของมอเตอร์สามารถจัดให้อยู่ในรูปสมการเชิงเส้นของความเร็ว เมื่อสัมประสิทธิ์แรงเสียดทานของแกนมอเตอร์คือ k_f และผลรวมของแรงบิด เท่ากับ ความเร่งที่แกนมอเตอร์ คูณกับค่าความเฉื่อยของโรเตอร์ $I_R(t)$ ซึ่งสามารถแสดงเป็นสมการได้ดังนี้

$$\sum M(t) = \tau_m(t) - k_f \omega(t) - \tau_a(t) = I_R \dot{\omega}(t) \quad (2.1.4)$$

จากสมการที่ (2.1.1) ถึง (2.1.4) สามารถจัดรูปสมการใหม่ และเขียนแทนด้วยสมการของมอเตอร์พื้นฐานสองสมการ คือ

$$\frac{di(t)}{dt} = -\frac{R}{L} i(t) - \frac{k_e}{L} \omega(t) + \frac{V_a(t)}{L} \quad (2.1.5)$$

เอกสารนี้เป็นเอกสารที่สงวนไว้สำหรับการใช้งานเพื่อการศึกษาเท่านั้น ไม่อนุญาตให้นำไปใช้ประโยชน์ด้านการค้า ไม่ว่ากรณีใดๆ ทั้งสิ้น อีกทั้งห้ามมิให้ดัดแปลงเนื้อหาและต้องอ้างอิงถึงเจ้าของเอกสารทุกครั้งที่มีการนำไปใช้

$$\frac{d\omega(t)}{dt} = \frac{k_m}{I_R} i(t) - \frac{k_f}{I_R} \omega(t) - \frac{\tau_a(t)}{I_R} \quad (2.1.6)$$

เนื่องจากค่าความเหนี่ยวนำและแรงเสียดทานของมอเตอร์ โดยทั่วไปมีค่าน้อยมาก ดังนั้น หากประมาณให้ค่าทั้งสองเป็นศูนย์ จะได้สมการอย่างง่ายของมอเตอร์ไฟฟ้ากระแสตรง ดังสมการที่ (2.1.7) และ (2.1.8)

$$i(t) = -\frac{k_e}{R} \omega(t) + \frac{1}{R} V_a(t) \quad (2.1.7)$$

$$\frac{d\omega(t)}{dt} = \frac{k_m}{I_R} i(t) - \frac{\tau_a(t)}{I_R} \quad (2.1.8)$$

และจากความสัมพันธ์ของสมการที่ (2.1.7) และ (2.1.8) สามารถเขียนสมการใหม่ โดยแทนตัวแปรกระแสไฟฟ้าในสมการที่ (2.1.7) ลงในสมการที่ (2.1.8) จะได้สมการใหม่ดังนี้

$$\frac{d\omega(t)}{dt} = -\frac{k_m k_e}{I_R R} \omega(t) + \frac{k_m}{I_R R} V_a(t) - \frac{\tau_a(t)}{I_R} \quad (2.1.9)$$

ระบบพลวัตของมอเตอร์สามารถแสดงเป็นแบบจำลองปริภูมิสถานะได้ด้วยตัวแปรตำแหน่งเชิงมุม $\theta(t)$ และตัวแปรความเร็วเชิงมุม $\omega(t)$ เมื่ออินพุตของมอเตอร์คือแรงดันไฟฟ้าและแรงบิด จะได้แบบจำลองปริภูมิสถานะของระบบพลวัตของมอเตอร์ดังนี้

$$\begin{bmatrix} \dot{\theta}(t) \\ \dot{\omega}(t) \end{bmatrix} = \begin{bmatrix} 0 & 1 \\ 0 & -\frac{k_m k_e}{I_R R} \end{bmatrix} \begin{bmatrix} \theta(t) \\ \omega(t) \end{bmatrix} + \begin{bmatrix} 0 & 0 \\ \frac{k_m}{I_R R} & -\frac{1}{I_R} \end{bmatrix} \begin{bmatrix} V_a(t) \\ \tau_a(t) \end{bmatrix} \quad (2.1.10)$$

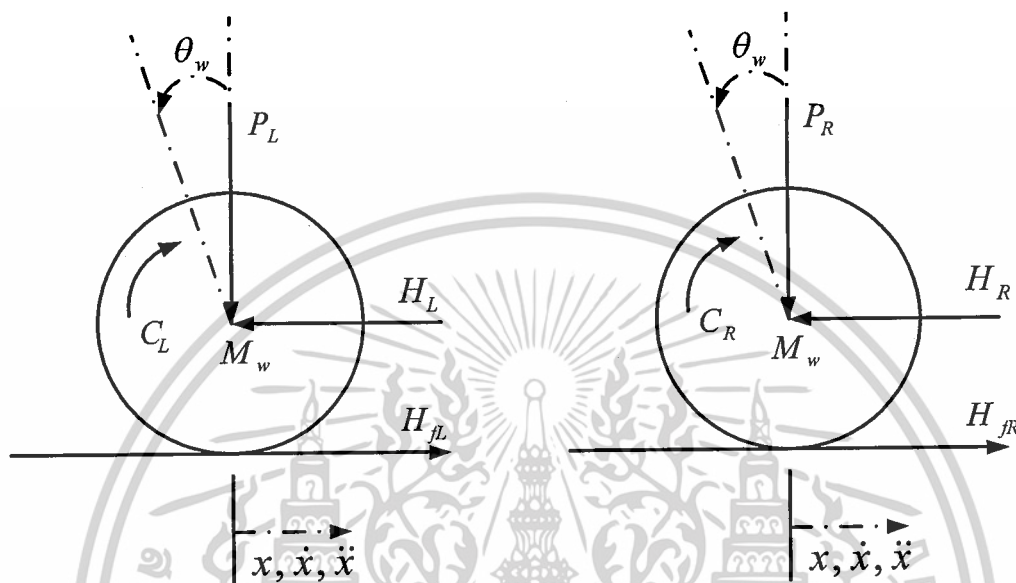
$$y = \begin{bmatrix} 1 & 0 \\ 0 & 0 \end{bmatrix} \begin{bmatrix} \theta(t) \\ \omega(t) \end{bmatrix} + \begin{bmatrix} 0 & 0 \\ 0 & 0 \end{bmatrix} \begin{bmatrix} V_a(t) \\ \tau_a(t) \end{bmatrix} \quad (2.1.11)$$

2.1.2 แบบจำลองล้อย่างสองของหุ่นยนต์อินเวอร์ทเพนดูลัม

หุ่นยนต์อินเวอร์ทเพนดูลัมแบบสองล้อย มีระบบเชิงกลที่ยุ่งยาก เนื่องจากต้องวิเคราะห์ระบบของล้อย่างและก้านเพนดูลัมแยกกันในตอนแรก แต่สุดท้ายระบบทั้งสองต้องถูกนำมาใช้อธิบายพฤติกรรมการรักษาสมดุลของหุ่นยนต์อินเวอร์ทเพนดูลัมร่วมกัน

เอกสารนี้เป็นเอกสารที่สงวนไว้สำหรับการใช้งานเพื่อการศึกษาเท่านั้น ไม่อนุญาตให้นำไปใช้ประโยชน์ด้านการค้า ไม่ว่ากรณีใดๆ ทั้งสิ้น อีกทั้งห้ามมิให้ดัดแปลงเนื้อหาและต้องอ้างอิงถึงเจ้าของเอกสารทุกครั้งที่มีการนำไปใช้

เมื่อหุ่นยนต์ถูกทำให้เบี่ยงเบนออกจากสมดุล แรงบิดจะถูกส่งออกจากมอเตอร์ แบบจำลองทางคณิตศาสตร์จึงปรับเปลี่ยนไปตามแรงที่เกิดขึ้น เริ่มต้นจากสมการการเคลื่อนที่ของล้อซ้าย และล้อขวา ซึ่งได้มาจากการเขียนแผนภาพแรงของล้อทั้งสอง จากนั้นจะได้สมการสำเร็จของล้อทั้งสองที่เหมือนกัน โดยในที่นี้จะแสดงเฉพาะสมการจากล้อขวา



รูปที่ 2.2 แผนภาพแรงของล้อทั้งสอง

จากกฎการเคลื่อนที่ของนิวตัน ผลรวมของแรงในแนวนอน อธิบายได้ดังสมการที่ (2.1.12) เมื่อ M_w คือ มวลของล้อและหุ่นยนต์ $\ddot{x}(t)$ คือ ความเร่งในแนวนอน H_{fR} คือ แรงเสียดทานระหว่างพื้นกับล้อ และ H_R คือ แรงปฏิกิริยาระหว่างล้อกับหุ่นยนต์ในแนวนอน

$$\sum F(t) = Ma(t)$$

$$M_w \ddot{x}(t) = H_{fR}(t) - H_R(t) \quad (2.1.12)$$

และผลรวมของแรงที่กระทำที่จุดศูนย์กลางของล้อ อธิบายได้โดยสมการที่ (2.1.13) เมื่อ I_w คือ โมเมนต์ความเฉื่อยของล้อ θ_w คือ มุมที่หมุนของล้อ C_R คือ แรงบิดของมอเตอร์ที่กระทำต่อล้อ และ r คือ รัศมีของล้อ

$$\sum M_o(t) = I\alpha(t)$$

$$I_w \ddot{\theta}_w(t) = C_R(t) - rH_{fR}(t) \quad (2.1.13)$$

เอกสารนี้เป็นเอกสารที่สงวนไว้สำหรับการใช้งานเพื่อการศึกษาเท่านั้น ไม่อนุญาตให้นำไปใช้ประโยชน์ด้านการค้า ไม่ว่ากรณีใดๆ ทั้งสิ้น อีกทั้งห้ามมิให้ดัดแปลงเนื้อหาและต้องอ้างอิงถึงเจ้าของเอกสารทุกครั้งที่มีการนำไปใช้

จากสมการพลวัตของมอเตอร์ในสมการที่ (2.1.4) เมื่อพิจารณาที่ $k_f = 0$ แรงบิดของมอเตอร์สามารถแสดงได้ดังสมการที่ (2.1.14)

$$\tau_m(t) = I_R \frac{d\omega(t)}{dt} + \tau_a(t) \quad (2.1.14)$$

เมื่อจัดรูปสมการ และแทนค่าพารามิเตอร์จากมอเตอร์ไฟฟ้ากระแสตรง จะได้สมการของแรงบิดเอาต์พุตสุทธิที่ให้กับล้อ ดังนี้

$$C_R(t) = I_R \frac{d\omega(t)}{dt} = -\frac{k_m k_e}{R} \dot{\theta}_w(t) + \frac{k_m}{R} V_a(t) \quad (2.1.15)$$

เพราะฉะนั้นสามารถเขียนสมการ (2.1.13) ใหม่ได้ดังนี้

$$I_w \ddot{\theta}_w(t) = -\frac{k_m k_e}{R} \dot{\theta}_w(t) + \frac{k_m}{R} V_a(t) - r H_{JR}(t) \quad (2.1.16)$$

ดังนั้นจะได้

$$H_{JR}(t) = -\frac{k_m k_e}{Rr} \dot{\theta}_w(t) + \frac{k_m}{Rr} V_a(t) - \frac{I_w}{r} \ddot{\theta}_w(t) \quad (2.1.17)$$

เมื่อนำสมการที่ (2.1.15) แทนในสมการที่ (2.1.12) จะได้สมการสำหรับล้อทางซ้าย และขวาดังนี้

สมการล้อทางซ้าย

$$M_w \ddot{x}(t) = -\frac{k_m k_e}{Rr} \dot{\theta}_w(t) + \frac{k_m}{Rr} V_a(t) - \frac{I_w}{r} \ddot{\theta}_w(t) - H_L(t) \quad (2.1.18)$$

สมการล้อทางขวา

$$M_w \ddot{x}(t) = -\frac{k_m k_e}{Rr} \dot{\theta}_w(t) + \frac{k_m}{Rr} V_a(t) - \frac{I_w}{r} \ddot{\theta}_w(t) - H_R(t) \quad (2.1.19)$$

เอกสารนี้เป็นเอกสารที่สงวนไว้สำหรับการใช้งานเพื่อการศึกษาเท่านั้น ไม่อนุญาตให้นำไปใช้ประโยชน์ด้านการค้าไม่ว่ากรณีใดๆ ทั้งสิ้น อีกทั้งห้ามมิให้ดัดแปลงเนื้อหาและต้องอ้างอิงถึงเจ้าของเอกสารทุกครั้งที่มีการนำไปใช้

เนื่องจากการเคลื่อนที่เกิดขึ้นที่จุดศูนย์กลางของล้อ การเคลื่อนที่เชิงมุม สามารถแปลงเป็นการเคลื่อนที่เชิงเส้นได้ ดังนี้

$$\ddot{\theta}_w(t)r = \ddot{x}(t) \quad \text{หรือ} \quad \ddot{\theta}_w(t) = \frac{\ddot{x}(t)}{r}$$

$$\dot{\theta}_w(t)r = \dot{x}(t) \quad \text{หรือ} \quad \dot{\theta}_w(t) = \frac{\dot{x}(t)}{r}$$

ดังนั้นสมการที่ (2.1.18) และ (2.1.19) สามารถแปลงเป็นสมการการเคลื่อนที่เชิงเส้นได้ ดังนี้

สมการล้อทางซ้าย

$$M_w \ddot{x}(t) = -\frac{k_m k_e}{Rr^2} \dot{x}(t) + \frac{k_m}{Rr} V_a(t) - \frac{I_w}{r^2} \ddot{x}(t) - H_L(t) \quad (2.1.20)$$

สมการล้อทางขวา

$$M_w \ddot{x}(t) = -\frac{k_m k_e}{Rr^2} \dot{x}(t) + \frac{k_m}{Rr} V_a(t) - \frac{I_w}{r^2} \ddot{x}(t) - H_R(t) \quad (2.1.21)$$

เมื่อนำสมการที่ (2.1.20) และ (2.1.21) มารวมกัน จะได้เป็นสมการรวมของล้อทั้งสอง ดังนี้

$$2 \left(M_w + \frac{I_w}{r^2} \right) \ddot{x}(t) = -\frac{2k_m k_e}{Rr^2} \dot{x}(t) + \frac{2k_m}{Rr} V_a(t) - (H_L(t) + H_R(t)) \quad (2.1.22)$$

2.1.3 แบบจำลองของก้านอินเวอร์ทเพนดูลัม

ในการวิเคราะห์ระบบเชิงกลของก้านอินเวอร์ทเพนดูลัม มีความต่อเนื่องมาจากการวิเคราะห์ระบบเชิงกลของล้อ โดยสามารถแสดงแผนภาพแรงของก้านอินเวอร์ทเพนดูลัมได้ดังรูป 2.3

จากกฎการเคลื่อนที่ของนิวตัน ผลรวมของแรงในแนวนอน อธิบายได้ดังสมการที่ (2.1.23) โดย M_p คือมวลของก้านเพนดูลัม l คือระยะระหว่างจุดศูนย์กลางล้อถึงจุดศูนย์กลางของก้านเพนดูลัม θ_p คือมุมที่ก้านเพนดูลัมเบี่ยงเบนจากแกนสมดุล และ

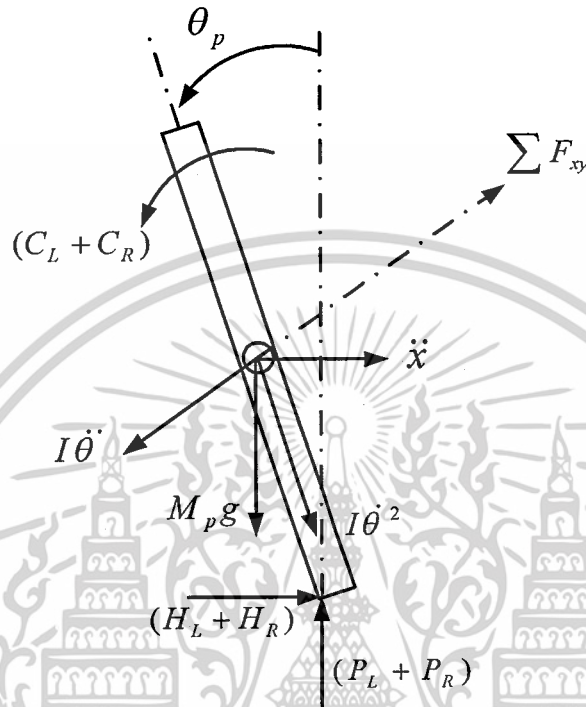
$$\sum F_x(t) = M_p \ddot{x}(t)$$

$$(H_L(t) - H_R(t)) - M_p l \ddot{\theta}_p(t) \cos \theta_p(t) + M_p l \dot{\theta}_p^2(t) \sin \theta_p(t) = M_p \ddot{x}(t) \quad (2.1.23)$$

เอกสารนี้เป็นเอกสารที่สงวนลิขสิทธิ์ไว้เพื่อการศึกษาเท่านั้น เมื่อนักผู้ใดเห็นนำไปใช้ประโยชน์ด้านการค้าไม่ว่ากรณีใดๆ ทั้งสิ้น อีกทั้งห้ามมิให้ดัดแปลงเนื้อหาและต้องอ้างอิงถึงเจ้าของเอกสารทุกครั้งที่มีการนำไปใช้

ดังนั้นจะได้

$$(H_L(t) - H_R(t)) = M_p \ddot{x}(t) + M_p l \ddot{\theta}_p(t) \cos \theta_p(t) - M_p l \dot{\theta}_p^2(t) \sin \theta_p(t) \quad (2.1.24)$$



รูปที่ 2.3 แผนภาพแรงของก้านอินเวอร์ทเพนดูลัม

และผลรวมแรงในแนวตั้งฉากของก้านเพนดูลัม อธิบายได้ดังสมการที่ (2.1.25) เมื่อ P_L, P_R คือ แรงปฏิกิริยาระหว่างล้อและหุ่นยนต์ในแนวตั้ง

$$\sum F_{xp}(t) = M_p \ddot{x}(t) \cos \theta_p(t)$$

$$(H_L(t) + H_R(t)) \cos \theta_p(t) + (P_L(t) + P_R(t)) \sin \theta_p(t) - M_p g \sin \theta_p(t) - M_p l \ddot{\theta}_p(t) = M_p \ddot{x}(t) \cos \theta_p(t) \quad (2.1.25)$$

ผลรวมของโมเมนต์ที่จุดศูนย์กลางมวลของก้านเพนดูลัม คือ

$$\sum M_o(t) = I \alpha(t)$$

เอกสารนี้เป็นเอกสารที่สงวนไว้สำหรับการใช้งานเพื่อการศึกษาเท่านั้น ไม่อนุญาตให้นำไปใช้ประโยชน์ด้านการค้าไม่ว่ากรณีใดๆ ทั้งสิ้น อีกทั้งห้ามมิให้ดัดแปลงเนื้อหาและต้องอ้างอิงถึงเจ้าของเอกสารทุกครั้งที่มีการนำไปใช้

$$\begin{aligned} & -(H_L(t) + H_R(t))l \cos \theta_p(t) - (P_L(t) + P_R(t))l \sin \theta_p(t) \\ & \quad - (C_L(t) + C_R(t)) = I_p \ddot{\theta}_p(t) \end{aligned} \quad (2.1.26)$$

จากสมการที่ (2.1.15) แรงบิดจากมอเตอร์ที่ใช้ควบคุมสมดุลของก้านเพนดูลัม เมื่อผ่านการแปลงเชิงเส้น (Linear transformation) หรือแผนภาพเชิงเส้น (Linear map) จะได้สมการดังนี้

$$(C_L(t) + C_R(t)) = \frac{-2k_m k_e}{R} \frac{\dot{x}(t)}{r} + \frac{2k_m}{R} V_a(t)$$

ซึ่งสามารถแทนค่าในสมการที่ (2.1.26) ได้ดังนี้

$$\begin{aligned} & -(H_L(t) + H_R(t))l \cos \theta_p(t) - (P_L(t) + P_R(t))l \sin \theta_p(t) \\ & \quad - \left(\frac{-2k_m k_e}{R} \frac{\dot{x}(t)}{r} + \frac{2k_m}{R} V_a(t) \right) = I_p \ddot{\theta}_p(t) \end{aligned}$$

ดังนั้นจะได้

$$\begin{aligned} & -(H_L(t) + H_R(t))l \cos \theta_p(t) - (P_L(t) + P_R(t))l \sin \theta_p(t) \\ & \quad = I_p \ddot{\theta}_p(t) - \frac{2k_m k_e}{R} \frac{\dot{x}(t)}{r} + \frac{2k_m}{R} V_a(t) \end{aligned} \quad (2.1.27)$$

คูณสมการที่ (2.1.25) ด้วย $-l$

$$\begin{aligned} & -(H_L(t) + H_R(t))l \cos \theta_p(t) - (P_L(t) + P_R(t))l \sin \theta_p(t) \\ & \quad + M_p g l \sin \theta_p(t) + M_p l^2 \ddot{\theta}_p(t) = -M_p l \ddot{x}(t) \cos \theta_p(t) \end{aligned} \quad (2.1.28)$$

แทนค่าในสมการที่ (2.1.27) ในสมการที่ (2.1.28)

$$\begin{aligned} & I_p \ddot{\theta}_p(t) - \frac{2k_m k_e}{Rr} \dot{x}(t) + \frac{2k_m}{R} V_a(t) + M_p l^2 \ddot{\theta}_p(t) \\ & \quad + M_p g l \sin \theta_p(t) = -M_p l \ddot{x}(t) \cos \theta_p(t) \end{aligned} \quad (2.1.29)$$

เพื่อกำจัด $(H_R(t) + H_L(t))$ จากสมการของมอเตอร์ แทนสมการที่ (2.1.24) ในสมการที่ (2.1.22) จะได้

เอกสารนี้เป็นเอกสารที่สงวนไว้สำหรับการใช้งานเพื่อการศึกษาเท่านั้น ไม่อนุญาตให้นำไปใช้ประโยชน์ด้านการค้า ไม่ว่ากรณีใดๆ ทั้งสิ้น อีกทั้งห้ามมิให้ดัดแปลงเนื้อหาและต้องอ้างอิงถึงเจ้าของเอกสารทุกครั้งที่มีการนำไปใช้

$$2\left(M_w + \frac{I_w}{r^2}\right)\ddot{x}(t) = -\frac{2k_m k_e}{Rr^2}\dot{x}(t) + \frac{2k_m}{R}V_a(t) - M_p\ddot{x}(t) - M_p l\ddot{\theta}_p(t)\cos\theta_p(t) + M_p l\dot{\theta}_p^2(t)\sin\theta_p(t) \quad (2.1.30)$$

จัดรูปสมการที่ (2.1.29) และ (2.1.30) จะได้สมการการเคลื่อนที่ที่ไม่เป็นเชิงเส้นของระบบดังนี้

$$\left(I_p + M_p l^2\right)\theta_p^2(t) - \frac{2k_m k_e}{Rr}\dot{x}(t) + \frac{2k_m}{R}V_a(t) + M_p gl\sin\theta_p(t) = -M_p l\ddot{x}(t)\cos\theta_p(t) \quad (2.1.31)$$

$$\frac{2k_m}{Rr}V_a(t) = \left(2M_w + \frac{2I_w}{r^2} + M_p\right)\ddot{x}(t) + \frac{2k_m k_e}{Rr^2}\dot{x}(t) + M_p l\ddot{\theta}_p(t)\cos\theta_p(t) - M_p l\dot{\theta}_p^2(t)\sin\theta_p(t) \quad (2.1.32)$$

จากสมการที่ (2.1.31) และ (2.1.32) ข้างต้น สามารถทำการประมาณเชิงเส้น (Linearise) เพื่อให้ได้แบบจำลองปริภูมิสเทตเชิงเส้น เมื่อพิจารณา $\theta_p = \pi + \phi$ โดย ϕ คือ มุมขนาดเล็กที่เบี่ยงเบนออกจากแนวตั้งฉาก สามารถประมาณ

$$\cos\theta_p(t) \cong -1, \quad \sin\theta_p(t) \cong -\phi(t) \quad \text{และ} \quad \left(\frac{d\theta_p(t)}{dt}\right)^2 \cong 0$$

ดังนั้น สมการการเคลื่อนที่ซึ่งได้จากการประมาณเชิงเส้น อธิบายได้โดย

$$\left(I_p + M_p l^2\right)\ddot{\phi}(t) - \frac{2k_m k_e}{Rr}\dot{x}(t) + \frac{2k_m}{R}V_a(t) - M_p gl\phi(t) = M_p l\ddot{x}(t) \quad (2.1.33)$$

$$\frac{2k_m}{Rr}V_a(t) = \left(2M_w + \frac{2I_w}{r^2} + M_p\right)\ddot{x}(t) + \frac{2k_m k_e}{Rr^2}\dot{x}(t) - M_p l\ddot{\phi}(t) \quad (2.1.34)$$

จัดรูปสมการที่ (2.1.33) และ (2.1.34) ให้อยู่ในรูปของตัวแปรสเทตจะได้สมการดังนี้

$$\begin{aligned} \ddot{\phi}(t) = & \frac{M_p l}{\left(I_p + M_p l^2\right)}\ddot{x}(t) + \frac{2k_m k_r}{Rr\left(I_p + M_p l^2\right)}\dot{x}(t) \\ & - \frac{2k_m}{R\left(I_p + M_p l^2\right)}V_a(t) + \frac{M_p gl}{\left(I_p + M_p l^2\right)}\phi(t) \end{aligned} \quad (2.1.35)$$

เอกสารนี้เป็นเอกสารที่สงวนไว้สำหรับการใช้งานเพื่อการศึกษาเท่านั้น ไม่อนุญาตให้นำไปใช้ประโยชน์ด้านการค้า ไม่ว่ากรณีใดๆ ทั้งสิ้น อีกทั้งห้ามมิให้ดัดแปลงเนื้อหาและต้องอ้างอิงถึงเจ้าของเอกสารทุกครั้งที่มีการนำไปใช้

$$\ddot{x}(t) = \frac{2k_m}{Rr \left(2M_w + \frac{2I_w}{r^2} + M_p \right)} V_a(t) - \frac{2k_m k_e}{Rr^2 \left(2M_w + \frac{2I_w}{r^2} + M_p \right)} \dot{x}(t) + \frac{M_p l}{\left(2M_w + \frac{2I_w}{r^2} + M_p \right)} \ddot{\phi}(t) \quad (2.1.36)$$

เมื่อแทนสมการที่ (2.1.35) ในสมการที่ (2.1.34) และสมการที่ (2.1.36) ในสมการที่ (2.1.33) และจัดรูปสมการ จะได้สมการปริภูมิสถานะของระบบดังนี้

$$\begin{bmatrix} \dot{x} \\ \dot{x} \\ \dot{\phi} \\ \dot{\phi} \end{bmatrix} = \begin{bmatrix} 0 & 1 & 0 & 0 \\ \frac{2k_m k_e (M_p l r - I_p - M_p l^2)}{Rr^2 \alpha} & \frac{M_p^2 g l^2}{\alpha} & 0 & 0 \\ 0 & 0 & 1 & 0 \\ \frac{2k_m k_e (r\beta - M_p l)}{Rr^2 \alpha} & \frac{M_p g l \beta}{\alpha} & 0 & 0 \end{bmatrix} \begin{bmatrix} x \\ \dot{x} \\ \phi \\ \dot{\phi} \end{bmatrix} + \begin{bmatrix} 0 \\ \frac{2k_m (I_p + M_p l^2 - M_p l r)}{Rr \alpha} \\ 0 \\ \frac{2k_m (M_p l - r\beta)}{Rr \alpha} \end{bmatrix} V_a$$

เมื่อกำหนดให้

$$\beta = \left(2M_w + \frac{2I_w}{r^2} + M_p \right) \quad \alpha = \left[I_p \beta + 2M_p l^2 \left(M_w + \frac{I_w}{r^2} \right) \right]$$

จากแบบจำลองปริภูมิสถานะข้างต้น กำหนดให้ล้อของหุ่นยนต์สัมผัสกับพื้นตลอดเวลา ไม่มีการเลื่อนไถลของล้อ และไม่มีแรงเสียดทานเชิงมุมของล้อ

2.2 ทฤษฎีการออกแบบตัวควบคุม

เนื่องจากระบบอินเวอร์ทเพนดูลัมเป็นระบบที่ไม่เป็นเชิงเส้น และไม่มีเสถียรภาพ การศึกษาทฤษฎีทางระบบควบคุมที่นำมาใช้ในการควบคุมเสถียรภาพให้แก่ระบบจึงสำคัญอย่างมาก ดังนั้นในหัวข้อนี้กล่าวถึงทฤษฎีสำคัญที่ช่วยในการออกแบบตัวควบคุมให้กับระบบ ดังนี้

2.2.1 ความควบคุมได้

ในกรณีทั่วไป สำหรับเมตริกซ์ถ่ายโอนใดๆ $H(s)$ พบว่าสามารถมีตัวแปรปริภูมิสถานะได้เป็นจำนวนไม่จำกัด และอาจเป็นไปได้ว่าจำนวนของสเตต $x(t)$ ในปริภูมิสเตตอาจมีจำนวนมากกว่าอันดับของระบบพลวัตในเมตริกซ์ถ่ายโอน ที่เป็นการส่งจากอินพุตไปยังเอาต์พุต ดังนั้นสิ่ง

ที่เกิดขึ้น คือสเตตบางตัวในระบบไม่สามารถที่จะควบคุมได้ด้วยอินพุท คุณสมบัติของระบบพลวัตที่มีความสำคัญต่อการออกแบบระบบควบคุม คือความควบคุมได้ (Controllability)

นิยาม ความควบคุมได้ของสเตต

ระบบพลวัต $\dot{x}(t) = Ax(t) + Bu(t)$ หรือนิยามเขียนโดยย่อเฉพาะคู่เมตริกซ์ (A, B) ซึ่งเรียกว่าสามารถควบคุมสเตตได้ (State controllable) เมื่อเลือกสเตตเริ่มต้น $x(t_0) = x_0$ และสเตตสุดท้าย $x(t_1) = x_1$ ใดๆ โดย $t_1 > t_0$ สามารถหาอินพุท $u(t)$ ที่ขับสเตตจาก x_0 ไปสู่ x_1 ได้ แต่ถ้าไม่สามารถหาอินพุทดังกล่าวได้ ระบบจะเรียกว่า ไม่สามารถควบคุมสเตตได้ (State uncontrollable) โดยสามารถตรวจสอบความควบคุมได้ของสเตตโดยทฤษฎีดังนี้

ทฤษฎี (A, B) จะสามารถควบคุมได้ ถ้าเมตริกซ์ Q_c มีค่าลำดับชั้น (Rank) เท่ากับ n โดยที่ n คือค่าลำดับชั้นของเมตริกซ์ A

$$Q_c = [B \quad AB \quad A^2B \quad \dots \quad A^{n-1}B] \quad (2.2.1)$$

สังเกตว่าเงื่อนไขของค่าลำดับชั้น จะเป็นจริงสำหรับค่า s ที่มีใช้ค่าเจาะจงของ A เมื่อศึกษาการป้อนกลับสเตตจะได้ว่า เมื่อ (A, B) สามารถควบคุมสเตตได้ คือสามารถเลือกตัวป้อนกลับสเตต K ที่จะเคลื่อนย้ายค่าเจาะจงของ $A - BK$ ไปยังตำแหน่งใดก็ได้ตามต้องการ และค่าเจาะจงดังกล่าวจะสามารถเลื่อนตำแหน่งได้ โดยการเปลี่ยนค่าตัวป้อนกลับสเตต K ทำให้ (A, B) เรียกว่า สามารถทำให้เสถียรได้ (Stabilizable)

2.2.2 การวางตำแหน่งโพล

หลักการของการออกแบบโดยวิธีวางตำแหน่งโพล (Pole placement) คือการตั้งข้อกำหนดสำหรับตำแหน่งโพลทั้งหมดของระบบวงปิด และออกแบบตัวควบคุมที่จะได้ตำแหน่งโพลตามข้อกำหนดนั้น เงื่อนไขจำเป็นที่ทำให้สามารถเคลื่อนย้ายโพลทั้งหมดไปยังตำแหน่งที่ต้องการได้คือ ระบบนั้นต้องสามารถควบคุมได้

ในการออกแบบทั่วไปจะมีได้ต้องการให้ระบบมีเสถียรภาพอย่างเดียว แต่จะต้องมีสมรรถนะ หรือผลตอบสนองตามต้องการด้วย ดังนั้นการกำหนดตำแหน่งของโพล ระบบวงปิดจึงมิใช่เพียงแต่ต้องการให้โพลอยู่บนตำแหน่งด้านซ้ายของระนาบเชิงซ้อนเท่านั้น แต่อาจจะต้องอยู่ในพื้นที่ที่จะให้ผลตอบสนองที่ดี ตามต้องการด้วย

ในระบบอันดับ n ทั่วไป ความสัมพันธ์ของผลตอบสนองทางเวลาของระบบ และตำแหน่งของโพลมักมีความซับซ้อน จึงเป็นการยากที่จะกำหนดตำแหน่งของโพล เพื่อให้ได้ผลตอบสนองที่ดี ดังนั้นวิธีการออกแบบนี้โดยทั่วไปอาศัยหลักการของระบบที่มีลักษณะเด่นเป็นระบบอันดับสอง (Second – order dominant system) กล่าวคือ โพลที่มีผลกระทบต่อผลตอบสนอง

เอกสารนี้เป็นเอกสารที่สงวนไว้สำหรับการใช้งานเพื่อการศึกษาเท่านั้น ไม่อนุญาตให้นำไปใช้ประโยชน์ด้านการค้า ไม่ว่ากรณีใดๆ ทั้งสิ้น อีกทั้งห้ามมิให้ตัดแปลงเนื้อหาและต้องอ้างอิงถึงเจ้าของเอกสารทุกครั้งที่มีการนำไปใช้

มากที่สุดจะเป็นอันดับสอง เหตุผลคือในระบบอันดับสอง สามารถคำนวณหาความสัมพันธ์ระหว่างคุณสมบัติในโดเมนเวลากับตำแหน่งของโพลได้โดยง่าย

สำหรับวิธีการวางโพล สามารถทำได้ โดยให้ $K = [k_1 \ k_2 \ \dots \ k_n]$ เป็นอัตราขยายสัญญาณป้อนกลับจากสเตท และ $k_i, i = 1, 2, \dots, n$ เป็นอัตราขยายที่ต้องทำการออกแบบดังนั้น อินพุทที่ป้อนจะเท่ากับ

$$u(t) = -Kx(t) \quad (2.2.2)$$

เมื่อ $u(t)$ คือ สัญญาณควบคุม $x(t)$ คือ ตัวแปรสเตทของระบบ และ K คือ อัตราขยายสัญญาณป้อนกลับของระบบ

เมื่อใช้สัญญาณควบคุมนี้จะได้สมการปริภูมิสเตทของระบบป้อนกลับเป็น

$$\dot{x}(t) = (A - BK)x(t) \quad (2.2.3)$$

ซึ่งสามารถคำนวณหาโพลได้จาก

$$\det(sI - A + BK) = 0 \quad (2.2.4)$$

ในขณะเดียวกัน หากต้องการออกแบบโดยกำหนดโพลของระบบวงปิดที่ตำแหน่ง p_1, p_2, \dots, p_n จะได้สมการคุณลักษณะ (Characteristic equation) เท่ากับ

$$\alpha(s) = (s - p_1)(s - p_2) \dots (s - p_n) = 0 \quad (2.2.5)$$

ดังนั้นสามารถคำนวณหาอัตราขยาย K ได้จากการเปรียบเทียบสมการ (2.2.4) และ (2.2.5)

2.2.3 ตัวคุมค่ากำลังสองเชิงเส้น

ในหัวข้อที่ 2.2.2 ได้ศึกษาการออกแบบตัวควบคุมป้อนกลับสเตทโดยวิธีการวางตำแหน่งโพล ซึ่งเป็นเครื่องมือออกแบบที่มีประโยชน์สำหรับระบบที่มีอันดับไม่สูงมาก หรือระบบที่มีลักษณะเด่นเป็นระบบพลวัตอันดับสอง เพราะทราบความสัมพันธ์ระหว่างตำแหน่งของโพล หรือค่าจะจงกับผลตอบสนองของระบบ เช่น ช่วงเวลาขึ้น (Rise time) หรือ การพุ่งเกิน (Overshoot)

เอกสารนี้เป็นเอกสารที่สงวนไว้สำหรับการใช้งานเพื่อการศึกษาเท่านั้น ไม่อนุญาตให้นำไปใช้ประโยชน์ด้านการค้า ไม่ว่ากรณีใดๆ ทั้งสิ้น อีกทั้งห้ามมิให้ดัดแปลงเนื้อหาและต้องอ้างอิงถึงเจ้าของเอกสารทุกครั้งที่มีการนำไปใช้

แต่สำหรับระบบที่มีอันดับสูง ความสัมพันธ์ดังกล่าวจะไม่ได้ไม่ชัดเจน ข้อจำกัดอีกประการของวิธีการวางโพล คือ ระดับความเป็นอิสระ (Degree of freedom) ของปัญหา

ดังนั้นจึงมีแนวคิดที่เป็นประโยชน์ในการแก้ไขปัญหาดังกล่าวคือ การเลือกตัวควบคุมป้อนกลับด้วยวิธีหาค่าที่เหมาะสมที่สุด โดยมีตัวอย่าง ตัววัดคุณภาพของระบบดังกล่าว คือ ผลตอบสนองพลวัต การขจัดสัญญาณรบกวน ความไว หรือความคงทน เป็นต้น ซึ่งได้พยายามพัฒนาวิธีการควบคุมเหมาะสมที่สุดในหลายรูปแบบ เพื่อออกแบบระบบควบคุมป้อนกลับให้สมบูรณ์และให้ระบบเป็นไปตามต้องการ โดยการใช่วิธีหาค่าที่เหมาะสมที่สุดเป็นเครื่องมือในการช่วยหาผลลัพธ์ให้เป็นที่น่าพอใจได้

ในหัวข้อนี้จะศึกษาเทคนิคในการเลือกอัตราขยายของตัวป้อนกลับสเตตที่เหมาะสมที่สุด (Optimal control) เรียกว่า ตัวควบคุมค่ากำลังสองเชิงเส้น (Linear Quadratic Regulator: LQR) ซึ่งเป็นวิธีการออกแบบที่ดีสำหรับการควบคุมป้อนกลับสเตต โดยเป็นวิธีการออกแบบพื้นฐานสำหรับระบบหลายอินพุตหลายเอาต์พุต (Multiple Input – Multiple Output: MIMO) อีกด้วย

โดยวิธีตัวควบคุมค่ากำลังสองเชิงเส้นเป็นวิธีการออกแบบระบบควบคุมที่เหมาะสม ที่ถูกนำมาใช้กับระบบพลวัต วิธีนี้สามารถลดความผิดพลาด หรือความเสียหายของระบบโดยการให้น้ำหนักความสำคัญของตัวแปร (Weighting factor) ที่มีผลต่อระบบ ตามความเหมาะสม ด้วยเมตริกซ์ Q และเมตริกซ์ R

การออกแบบตัวควบคุมค่ากำลังสองเชิงเส้น สำหรับระบบพลวัตในสมการที่ (2.2.6) ภายใต้งื่อนไขเริ่มต้นในสมการที่ (2.2.7)

$$\dot{\mathbf{x}}(t) = \mathbf{A}\mathbf{x}(t) + \mathbf{B}u(t) \quad (2.2.6)$$

$$\mathbf{x}(0) = \mathbf{x}_0 \quad (2.2.7)$$

เมื่อ A คือเมตริกซ์ระบบ B คือเมตริกซ์ของอินพุต และ \mathbf{x}_0 เป็นสเตตเริ่มต้น โดยจะพิจารณาการควบคุมที่ลดค่าตัววัดคุณภาพ J ในสมการที่ (2.2.8) ให้น้อยที่สุด

$$J = \frac{1}{2} \int_0^{\infty} [\mathbf{x}^T(t)Q\mathbf{x}(t) + u^T(t)Ru(t)]dt \quad (2.2.8)$$

ซึ่งเห็นว่าตัววัดคุณภาพ J ประกอบด้วยสองพจน์ คือ ตัวแทนขนาดของสเตต $\mathbf{x}(t)$ กับขนาดของตัวแปรควบคุม $u(t)$ ที่ถูกให้น้ำหนักโดยเมตริกซ์ Q และ R

หากอาศัยการป้อนกลับสเตตดังสมการที่ (2.2.9)

$$u(t) = -K\mathbf{x}(t) \quad (2.2.9)$$

เอกสารนี้เป็นเอกสารที่สงวนไว้สำหรับการใช้งานเพื่อการศึกษาเท่านั้น ไม่อนุญาตให้นำไปใช้ประโยชน์ด้านการค้า ไม่ว่ากรณีใดๆ ทั้งสิ้น อีกทั้งห้ามมิให้ตัดแปลงเนื้อหาและต้องอ้างอิงถึงเจ้าของเอกสารทุกครั้งที่มีการนำไปใช้

ค่า K ที่ลดค่าตัววัดคุณภาพ J ให้น้อยที่สุดตามการออกแบบตัวคุมค่ากำลังสองเชิงเส้น สามารถหาได้โดยการแก้สมการรีคัตติ (Ricatti equation) เพื่อหา P ดังนี้

$$PA + A^T P - PBR^{-1}B^T P + Q = 0 \quad (2.2.10)$$

โดย P เป็นโพสิทีฟเดฟิไนต์เมตริกซ์ (Positive definite matrix) เมื่อได้ค่า P จะสามารถกำหนดอัตราขยายป้อนกลับ $K = R^{-1}B^T P$

จากสมการที่ (2.2.8) จะสังเกตเห็นว่า เมตริกซ์ Q และเมตริกซ์ R ช่วยให้ระดับความสำคัญของตัวแปร $x(t)$ และ $u(t)$ โดยขนาดของเมตริกซ์ Q เท่ากับขนาดของเมตริกซ์ระบบ และขนาดของเมตริกซ์ R เท่ากับขนาดของเมตริกซ์อินพุท ซึ่งทั้งเมตริกซ์ Q และเมตริกซ์ R เป็นโพสิทีฟเดฟิไนต์เมตริกซ์

ในการออกแบบนิยามกำหนดให้เมตริกซ์ Q มีลักษณะดังนี้

$$Q = \begin{bmatrix} w & 0 & 0 & 0 \\ 0 & x & 0 & 0 \\ 0 & 0 & y & 0 \\ 0 & 0 & 0 & z \end{bmatrix}$$

ซึ่งจะนำมาใช้งานในการออกแบบระบบควบคุมอินเวอร์ทเพนดูลัม ในโครงการนี้เช่นกัน

2.3 แคลแมนฟิลเตอร์

ในปี 1960 ได้มีการตีพิมพ์ผลงานของรูคอฟ อิมิล แคลแมน (Rudolf Emil Kalman) ที่นำเสนอวิธีการใหม่ในการแก้ปัญหของตัวกรองเชิงเส้น และการประมาณ (Linear filtering and prediction problem) วิธีของแคลแมนฟิลเตอร์ (Kalman filter) เป็นการหาสเตรตของระบบโดยทั่วไปสิ่งที่ต้องการทราบเมื่อต้องวิเคราะห์ระบบก็คือ ณ เวลานั้นๆ ตัวแปรสเตรตของระบบมีค่าเป็นอย่างไร และเปลี่ยนแปลงตามเวลาอย่างไร ซึ่งบ่อยครั้งในทางปฏิบัติ การหาค่าตัวแปรสเตรตของระบบไม่ใช่เรื่องง่าย เพราะมีข้อจำกัดหลายปัจจัย เช่น ความไม่สมบูรณ์ของเซนเซอร์ที่ใช้งาน และความคลาดเคลื่อนในการวัด เป็นต้น แคลแมนฟิลเตอร์จึงถูกคิดค้นมาเพื่อแก้ปัญหาเหล่านี้ โดยมี การนำแคลแมนฟิลเตอร์มาใช้เป็นครั้งแรก ในการประมาณสเตรตให้กับระบบนำร่องของยานอพอลโล (Apollo) ที่โคจรรอบโลก ซึ่งปัจจุบัน แคลแมนฟิลเตอร์ถูกนำมาใช้อย่างแพร่หลายมากขึ้น โดยเฉพาะอย่างยิ่งในศาสตร์ของการประสานข้อมูล (Data fusion) เพื่อใช้ประมวลผลข้อมูลจากเซนเซอร์หลายประเภทพร้อมกัน ภายใต้สัญญาณรบกวน (Noise) จากหลายแหล่ง เพื่อนำมาใช้ในลักษณะเกือบลูกซึ่งกันและกันเพื่อหาค่าประมาณของตัวแปรสเตรตของระบบที่ดีที่สุด (Optimal)

เอกสารนี้เป็นเอกสารที่สงวนลิขสิทธิ์ไว้สำหรับการใช้งานเพื่อการศึกษาเท่านั้น เมื่อนุญาตเห็นาไปเซปไรเซชันขณาดนการค้ำ

ไม่ว่ากรณีใดๆ ทั้งสิ้น อีกทั้งห้ามมิให้ดัดแปลงเนื้อหาและต้องอ้างอิงถึงเจ้าของเอกสารทุกครั้งที่มีการนำไปใช้

สำหรับการควบคุมหุ่นยนต์ทรงตัวสองล้อ มีความจำเป็นอย่างมากที่จะต้องใช้เซนเซอร์ที่มีความถูกต้องและแม่นยำสูง ซึ่งมักมีราคาแพง จากปัญหาดังกล่าวทำให้เทคโนโลยีการประมวลผลเซนเซอร์ร่วมกันเพื่อเพิ่มความถูกต้องในการวัดของเซนเซอร์ถูกนำมาใช้ในโครงการนี้

โครงการระบบควบคุมหุ่นยนต์อินเวอร์ทเพนคูลัม ได้นำวิธีแคลแมนฟิลเตอร์ มาใช้ในการประมวลผลของเซนเซอร์สองตัวร่วมกัน ได้แก่ เซนเซอร์ไจโรสโคป และเซนเซอร์ความเร่ง ซึ่งจากการศึกษา และทดลองพบว่าเมื่อนำเอาแคลแมนฟิลเตอร์มาใช้ในการประเมินเซนเซอร์ร่วมกันทำให้ค่าที่วัดได้จากเซนเซอร์มีความถูกต้องมากขึ้น และช่วยให้หุ่นยนต์ทรงตัวได้ดีขึ้นด้วย

ในโครงการระบบควบคุมหุ่นยนต์อินเวอร์ทเพนคูลัม ใช้วิธีการดีสครีตแคลแมนฟิลเตอร์ (Discrete Kalman filter algorithm) ในการประมาณค่าตัวแปรสเททให้กับระบบควบคุมหุ่นยนต์อินเวอร์ทเพนคูลัม

หลักการของการประมวลผลร่วมกันของเซนเซอร์โดยใช้แคลแมนฟิลเตอร์

เมื่อพิจารณาแบบจำลองปริภูมิสเททแบบดีสครีตของระบบได้ จะได้สมการสเททดังสมการที่ (2.3.1)

$$\mathbf{x}(t_{i+1}) = F\mathbf{x}(t_i) + B\mathbf{u}(t_i) + G\mathbf{w}(t_i) \quad (2.3.1)$$

เมื่อ F คือ เมทริกซ์ระบบของตัวแปรสเทท $\mathbf{x}(t_i)$, B คือ เมทริกซ์ ของสัญญาณรับเข้า $\mathbf{u}(t_i)$ และ G คือ เมทริกซ์ ของสัญญาณรบกวนขาว (Gaussian white noise) $\mathbf{w}(t_i)$ และสมการการวัดของระบบ ที่เวลาดีสครีต สามารถแสดงดังนี้

$$\mathbf{z}(t_i) = H\mathbf{x}(t_i) + \mathbf{v}(t_i) \quad (2.3.2)$$

เมื่อ H คือ เมทริกซ์ของการวัด $\mathbf{x}(t_i)$ และ $\mathbf{v}(t_i)$ คือ เวกเตอร์สัญญาณรบกวนขาวของการวัด จากสัญญาณรบกวน $\mathbf{w}(t_i)$ และ $\mathbf{v}(t_i)$ เป็นสัญญาณรบกวนขาว ที่มีสมมติฐานทางสถิติดังต่อไปนี้

$$\begin{aligned} E\{\mathbf{w}(t_i)\} &= 0 \\ E\{\mathbf{v}(t_i)\} &= 0 \end{aligned} \quad (2.3.3)$$

$$E\{\mathbf{w}(t_i)\mathbf{w}^T(t_j)\} = \begin{cases} S_w(t_i), & i = j \\ 0, & i \neq j \end{cases} \quad (2.3.4)$$

$$E\{\mathbf{v}(t_i)\mathbf{v}^T(t_j)\} = \begin{cases} S_v(t_i), & i = j \\ 0, & i \neq j \end{cases} \quad (2.3.5)$$

เอกสารนี้เป็นเอกสารที่สงวนไว้สำหรับการใช้งานเพื่อการศึกษาเท่านั้น ไม่อนุญาตให้นำไปใช้ประโยชน์ด้านการค้า ไม่ว่ากรณีใดๆ ทั้งสิ้น อีกทั้งห้ามมิให้ดัดแปลงเนื้อหาและต้องอ้างอิงถึงเจ้าของเอกสารทุกครั้งที่มีการนำไปใช้

เมื่อ $E\{\cdot\}$ คือ ค่าความคาดหวัง (Expected value) และ $S_w(t_i), S_v(t_i)$ เป็น โพลีทิฟเคฟิเน็ตเมตริกซ์ โดยที่สมมติฐานว่าสัญญาณรบกวน $w(t_i)$ และ $v(t_i)$ ทั้งสองนี้เป็นอิสระต่อกัน

จากสมการสเทตของระบบในสมการที่ (2.3.1) สามารถหาสเทตเริ่มต้น $x(t_0)$ ของระบบจริงได้ ก็ต่อเมื่อสเทตเริ่มต้นสามารถสุ่มค่าจากค่าจำเพาะของ $x(t_0)$ ได้ อย่างไรก็ตามค่าจำเพาะนี้อาจจะไม่ถูกต้อง เพราะถูกจำลองด้วยเวกเตอร์การสุ่มของการกระจายแบบปกติ (Normal distributed) ดังนั้นจึงอธิบายสเทตเริ่มต้นของ $x(t_0)$ ได้จาก \hat{x}_0 และความแปรปรวน P_0

$$\hat{x}_0 = E\{x(t_0)\} \quad (2.3.6)$$

เมื่อ \hat{x}_0 เป็นค่าประมาณโดยไม่มีค่าจากการวัดมาร่วมพิจารณา ดังนั้นย่อมมีความคลาดเคลื่อนเกิดขึ้น กำหนดให้ความคลาดเคลื่อนจากการประมาณ คือ $x(t_0) - \hat{x}_0$ ดังนั้นสมการความแปรปรวน P_0 เป็นดังนี้

$$P_0 = E\{[x(t_0) - \hat{x}_0][x(t_0) - \hat{x}_0]^T\} \quad (2.3.7)$$

เมื่อ P_0 เป็น โพลีทิฟเซมิเคฟิเน็ตเมตริกซ์ (Positive semi-definite matrix) และเป็นเมตริกซ์ที่สมมาตร จึงทำให้สามารถหาค่าความคาดหวัง ระหว่างสเทตจริง และสเทตที่ถูกประมาณขึ้นได้ด้วยค่าโควาเรียนซ์ (Covariance) จากสเทตจริงของตัวแปรสเทตแต่ละตัว

กำหนดให้ t_i^+ เป็นเวลาของการประมาณสเทตของระบบหลังการวัด และ t_i^- เป็นเวลาก่อนการประมาณสเทตของระบบ ดังนั้นสามารถเขียนสมการ (2.3.6) และ (2.3.7) ใหม่ได้ดังนี้

$$\hat{x}(t_i^-) = F\hat{x}(t_{i-1}^+) + Bu(t_{i-1}^+) \quad (2.3.8)$$

เมื่อ $\hat{x}(t_i^-)$ คือ เมตริกซ์สเทตเริ่มต้นการประมาณของระบบ F คือ เมตริกซ์ระบบ $\hat{x}(t_{i-1}^+)$ คือ เมตริกซ์สเทตเริ่มต้นหลังการประมาณของระบบ B คือ เมตริกซ์อินพุทของระบบ

$$P(t_i^-) = FP(t_{i-1}^+)F^T + S_w(t_i) \quad (2.3.9)$$

เมื่อ $P(t_i^-)$ คือ เมตริกซ์โควาเรียนซ์ของการประมาณสเทต F คือเมตริกซ์ระบบ $P(t_{i-1}^+)$ คือ เมตริกซ์โควาเรียนซ์หลังการประมาณสเทต และ $S_w(t_i)$ คือเมตริกซ์โควาเรียนซ์ของสัญญาณรบกวนขาวของระบบ $w(t_i)$

เอกสารนี้เป็นเอกสารที่สงวนไว้สำหรับการใช้งานเพื่อการศึกษาเท่านั้น ไม่อนุญาตให้นำไปใช้ประโยชน์ด้านการค้า ไม่ว่ากรณีใดๆ ทั้งสิ้น อีกทั้งห้ามมิให้ตัดแปลงเนื้อหาและต้องอ้างอิงถึงเจ้าของเอกสารทุกครั้งที่มีการนำไปใช้

จากสมการที่ (2.3.9) เมตริกซ์โควาเรียนซ์ของการประมาณ $S_w(t_i)$ กำหนดให้ $z_i(t_i)$ เป็นเวกเตอร์สเตทของการวัด โดยการประมาณสเตทจะถูกปรับปรุงด้วยแคลแมนฟิลเตอร์ ซึ่งสามารถแสดงเป็นสมการได้ 3 สมการดังนี้

$$k(t_i) = P(t_i^-)H^T[HP(t_i^-)H^T + S_v(t_i)]^{-1} \quad (2.3.10)$$

$$\hat{x}(t_i^+) = \hat{x}(t_i^-) + k(t_i)[z_i(t_i) - H\hat{x}(t_i^-)] \quad (2.3.11)$$

$$P(t_i^+) = P(t_i^-) - k(t_i)HP(t_i^-) \quad (2.3.12)$$

เมื่อ $k(t_i)$ คือ อัตราขยายของแคลแมนฟิลเตอร์ H คือ เมตริกซ์ระบบของการวัด $S_v(t_i)$ คือ เมตริกซ์โควาเรียนซ์ของ $v(t_i)$ หรือสัญญาณรบกวนขาวของการวัด $\hat{x}(t_i^+)$ คือ เวกเตอร์สเตทเริ่มต้นหลังประมาณของระบบ และ $P(t_i^+), P(t_{i-1}^+)$ คือ เมตริกซ์โควาเรียนซ์หลังผ่านการประมาณสเตท

ถ้าค่าความผิดพลาดจากการประมาณของตัวประมาณ $\hat{x}(t_i^-)$ แสดงได้ดังสมการที่ (2.3.13)

$$E(t_i) = HP(t_i^-)H^T + S_v(t_i) \quad (2.3.13)$$

ดังนั้นจากสมการที่ (2.3.13) สามารถเขียนสมการที่ (2.3.10) ใหม่ได้ดังนี้

$$k(t_i) = P(t_i^-)H^T E^{-1}(t_i^-) \quad (2.3.14)$$

ค่าความแตกต่างระหว่างค่าประมาณการวัดที่ดีที่สุด กับค่าจากการวัดจริง $z(t_i)$ เขียนแทนด้วย $r(t_i)$ (Measurement residual) ซึ่งสามารถเขียนเป็นสมการได้ดังนี้

$$r(t_i) = z(t_i) - H(t_i)\hat{x}(t_i^-) \quad (2.3.15)$$

โดยสมการแคลแมนฟิลเตอร์แบบต่อเนื่อง (Continuous Kalman filter algorithm) ของการประมวลผลเซนเซอร์ความเร่ง และเซนเซอร์ไจโรสโคป สามารถแสดงได้ดังสมการที่ (2.3.16) เมื่อ θ คือ มุมเบี่ยงเบน γ_m คือ ความเร็วที่ได้จากการวัดของไจโรสโคป และ β คือ ค่าความแตกต่างของความเร็วเชิงมุมที่วัดได้จากไจโรสโคปกับความเร็วเชิงมุมที่แท้จริง

เอกสารนี้เป็นเอกสารที่สงวนไว้สำหรับการใช้งานเพื่อการศึกษาเท่านั้น เมื่อนุญาตให้นำไปใช้ประโยชน์ด้านการค้า ไม่ว่าจะกรณีใดๆ ทั้งสิ้น อีกทั้งห้ามมิให้ตัดแปลงเนื้อหาและต้องอ้างอิงถึงเจ้าของเอกสารทุกครั้งที่มีการนำไปใช้

$$\begin{bmatrix} \dot{\theta}(t) \\ \dot{\beta}(t) \end{bmatrix} = \begin{bmatrix} 0 & -1 \\ 0 & 0 \end{bmatrix} \begin{bmatrix} \theta(t) \\ \beta(t) \end{bmatrix} + \begin{bmatrix} 1 \\ 0 \end{bmatrix} \gamma_m(t) + \begin{bmatrix} 1 \\ 0 \end{bmatrix} w(t) \quad (2.3.16)$$

และสมการเอาต์พุตการวัด สามารถแสดงได้ดังสมการที่ (2.3.17)

$$z(t) = \begin{bmatrix} 1 & 0 \end{bmatrix} \begin{bmatrix} \theta(t) \\ \beta(t) \end{bmatrix} + v(t) \quad (2.3.17)$$

กำหนดให้ $t = t_i \cdot T_s$ เมื่อ T_s คือคาบการซ้กตัวอย่าง จะได้สมการของการประมวลผลเซนเซอร์ร่วมกัน เพื่อหาค่ามุมตั้งสมการที่ (2.3.18)

$$\theta(t_i \cdot T_s) \cong \frac{\theta(t_{i+1}) - \theta(t_i)}{T_s} = -1 \cdot \beta(t_i) + \gamma_m(t_i) \quad (2.3.18)$$

ดังนั้นจะได้

$$\theta(t_{i+1}) = \theta(t_i) - T_s \beta(t_i) + T_s \gamma_m \quad (2.3.19)$$

จากสมการที่ (2.3.16) และ (2.3.17) เมื่อแปลงสมการแคลแมนฟิลเตอร์แบบต่อเนื่อง เป็นสมการแคลแมนฟิลเตอร์แบบดิสครีต สามารถแสดงดังนี้

$$\begin{bmatrix} \theta(t_{i+1}) \\ \beta(t_{i+1}) \end{bmatrix} = \begin{bmatrix} 1 & T_s \\ 0 & 0 \end{bmatrix} \begin{bmatrix} \theta(t_i) \\ \beta(t_i) \end{bmatrix} + \begin{bmatrix} T_s \\ 0 \end{bmatrix} \gamma_m(t_i) \quad (2.3.20)$$

$$z(t_i) = \begin{bmatrix} 1 & 0 \end{bmatrix} \begin{bmatrix} \theta(t_i) \\ \beta(t_i) \end{bmatrix} \quad (2.3.21)$$

เมื่อสมการที่ (2.3.20) คือสมการระบบการประมวลผลเซนเซอร์ร่วมกันในสมการที่ (2.3.1) และสมการที่ (2.3.21) คือสมการเอาต์พุตการวัดในสมการที่ (2.3.2)

2.4 หลักการทำงานของเซนเซอร์

ในโครงการระบบควบคุมหุ่นยนต์อินเวอร์ทเพนดูลัม ได้ใช้เซนเซอร์ทั้งหมด 3 ชนิดได้แก่ เซนเซอร์ไจโรสโคป เซนเซอร์ความเร่ง และเอนโคดเดอร์ ซึ่งหัวข้อนี้จะได้กล่าวถึงหลักการทำงานของเซนเซอร์เหล่านี้

เอกสารนี้เป็นเอกสารที่สงวนไว้สำหรับการใช้งานเพื่อการศึกษาเท่านั้น ไม่อนุญาตให้นำไปใช้ประโยชน์ด้านการค้าไม่ว่ากรณีใดๆ ทั้งสิ้น อีกทั้งห้ามมิให้ดัดแปลงเนื้อหาและต้องอ้างอิงถึงเจ้าของเอกสารทุกครั้งที่มีการนำไปใช้

2.4.1 เซนเซอร์ไจโรสโคป

โครงการระบบควบคุมหุ่นยนต์อินเวอร์ทเพนดูลัม ใช้เซนเซอร์ไจโรสโคปแบบสองแกน เบอร์ IDG300 ดังรูปที่ 2.4 ของบริษัทอินเวนเซน (Invensense) เป็นเซนเซอร์ประเภทเรทไจโร (Rate gyro) สามารถวัดความเร็วเชิงมุมได้สองแกน ให้สัญญาณเอาต์พุตเป็นสัญญาณอนาล็อก โดยเมื่อไม่มีการเคลื่อนที่แบบหมุน หรืออัตราเร็วเชิงมุมเท่ากับศูนย์ สัญญาณเอาต์พุตที่ออกมาเป็นค่าความต่างศักย์มีค่าเท่ากับ 1.5 โวลต์ และจะเพิ่มขึ้นหรือลดลง 2 มิลลิโวลต์/องศา/วินาที ตามทิศทางการหมุน โครงสร้างภายในประกอบด้วยเฟรมหมุนที่ติดมวลขนาดเล็กไว้ ดังรูปที่ 2.5 เพื่อใช้วัดความเร่งคอริโอลิส (Coriolis acceleration)

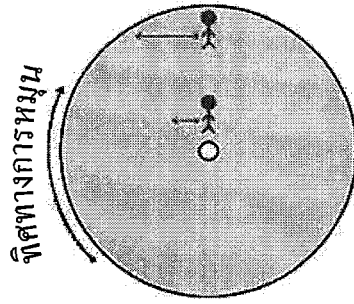


รูปที่ 2.4 เซนเซอร์ไจโรสโคปเบอร์ IDG300

รูปที่ 2.5 โครงสร้างภายในของไจโรสโคป

ความเร่งคอริโอลิสเป็นความเร่งที่เกิดกับวัตถุที่มีการเคลื่อนที่แบบหมุน สามารถอธิบายได้จากการจินตนาการถึงการเคลื่อนที่บนเฟรมหมุนของคนสองคนดังรูปที่ 2.6 เพื่อรักษาตำแหน่งเดิมของเขาไว้ เขาทั้งสองจะต้องเดินสวนทางกับทิศทางการหมุนของเฟรมด้วยความเร็วค่าหนึ่งซึ่งไม่เท่ากัน โดยคนที่อยู่ไกลจากจุดศูนย์กลางเฟรมเขาจะต้องใช้ความเร็วมากกว่าคนที่อยู่ใกล้ อัตราความเร็วที่เขาใช้เพิ่มขึ้นก็ของความเร่งคอริโอลิส

เอกสารนี้เป็นเอกสารที่สงวนไว้สำหรับการใช้งานเพื่อการศึกษาเท่านั้น ไม่อนุญาตให้นำไปใช้ประโยชน์ด้านการค้า ไม่ว่ากรณีใดๆ ทั้งสิ้น อีกทั้งห้ามมิให้ดัดแปลงเนื้อหาและต้องอ้างอิงถึงเจ้าของเอกสารทุกครั้งที่มีการนำไปใช้



รูปที่ 2.6 ตัวอย่างแสดงความเร่งคอริโอลิส

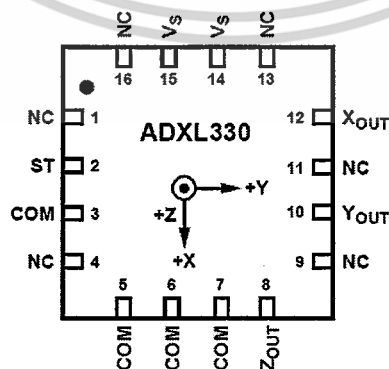
2.4.2 เซนเซอร์ความเร่ง

เซนเซอร์ ความเร่งใช้วัดความเร่งที่เกิดจากแรงภายนอกกระทำ นอกจากนี้สามารถนำมาประยุกต์เพื่อหาเวกเตอร์ลัพธ์ของความเร่ง วัดความโน้มเอียง และความสิ้นสะเทือน จากความสามารถที่หลากหลายดังกล่าวจึงนำมาประยุกต์เพื่อใช้หามุมที่เปลี่ยนแปลงได้

เซนเซอร์ความเร่งที่ใช้ในโครงการระบบควบคุมหุ่นยนต์อินเวอร์ทเพนดูลัม คือเซนเซอร์เบอร์ ADXL330 ดังรูปที่ 2.7 ของบริษัทอนาลอกดีไวซ์ (Analog devices) มีความสามารถวัดได้สามแกน ให้สัญญาณเอาต์พุตเป็นสัญญาณอนาลอก โดยที่ขณะความเร่งเท่ากับศูนย์ให้เอาต์พุตมีความต่างศักย์เท่ากับ 1.5 โวลต์ และมีค่าเพิ่มหรือลดตามทิศทางการเร่งที่เปลี่ยนแปลงด้วยอัตรา 300 มิลลิโวลต์/จี การนำเซนเซอร์ความเร่งมาหามุมทำได้โดยใช้ความเร่งจากสองแกน ในโครงการนี้ได้เลือกใช้แกน X และแกน Z โดยนำความเร่งจากที่วัดได้จากทั้งสองแกน นำมาแปลงด้วยสมการ

$$Angle = \tan^{-1} \frac{Z}{X} \quad (2.4.1)$$

โดยที่ $Angle$ คือค่าของมุม z คือความเร่งแกน Z และ x คือค่าความเร่งแกน X

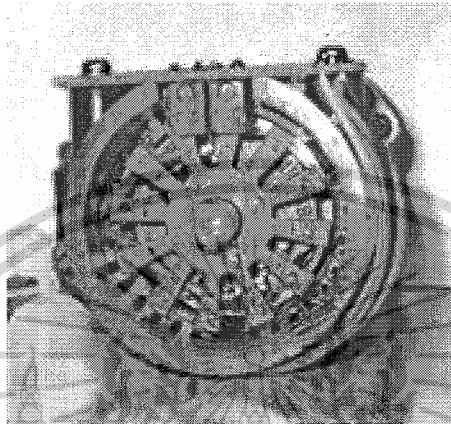


รูปที่ 2.7 เซนเซอร์ความเร่งเบอร์ ADXL330

เอกสารนี้เป็นเอกสารที่สงวนไว้สำหรับการใช้งานเพื่อการศึกษาเท่านั้น ไม่อนุญาตให้นำไปใช้ประโยชน์ด้านการค้า ไม่ว่าจะกรณีใดๆ ทั้งสิ้น อีกทั้งห้ามมิให้ดัดแปลงเนื้อหาและต้องอ้างอิงถึงเจ้าของเอกสารทุกครั้งที่มีการนำไปใช้

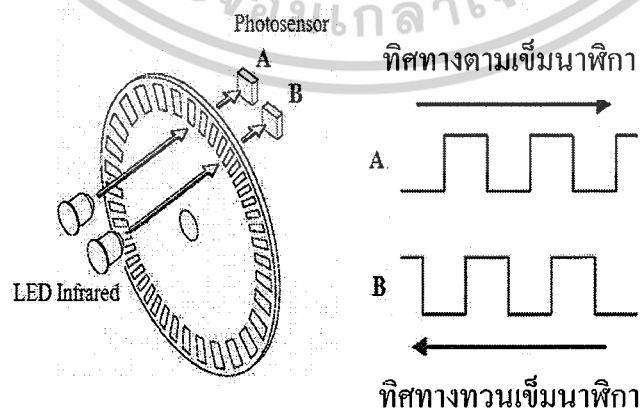
2.4.3 เอนโคเดอร์

เอนโคเดอร์เป็นอุปกรณ์ตรวจจับระยะทาง ที่ถูกใช้งานอย่างแพร่หลายในเครื่องจักรและมอเตอร์ทั่วไป เอนโคเดอร์ที่นำมาใช้โครงการนี้เป็นเอนโคเดอร์ประเภทอินครีเมนต์เอนโคเดอร์ (Increment encoder) ดังรูปที่ 2.8 ซึ่งมีความละเอียด 768 พัลส์/รอบ (Pulse per revolution: ppr) โดยโครงสร้างประกอบด้วยตัวรับส่งสัญญาณอินฟราเรด (Infrared) แผ่นวงกลมที่มีช่องสลิต (Slit)



รูปที่ 2.8 อินครีเมนต์เอนโคเดอร์

ในโครงการระบบควบคุมหุ่นยนต์อินเวอร์ทเพนดูลัมนี้ ได้นำเอนโคเดอร์มาใช้หาระยะทางและความเร็วเพื่อเป็นค่าป้อนกลับให้กับตัวควบคุม โดยเอนโคเดอร์ให้สัญญาณพัลส์ ออกมาตามค่าระยะทางที่มอเตอร์หมุน ซึ่งสามารถนำมาหาค่าระยะทางและความเร็วของมอเตอร์ได้ สำหรับการหาทิศทางของการหมุนของมอเตอร์ทำได้โดยใช้เอนโคเดอร์ที่มีสลิตชุดเดียวและมีชุดรับและส่งแสงอินฟราเรด 2 ชุด ดังรูปที่ 2.9 ทำให้ได้สัญญาณเอาต์พุตสองชุด ที่มีเฟสต่างกัน 90 องศา กำหนดให้เป็นชุด A และชุด B โดยทิศทางของการหมุนของมอเตอร์สามารถหาได้จากการนำหรือการตามของเฟสของสัญญาณเอาต์พุตทั้งสอง

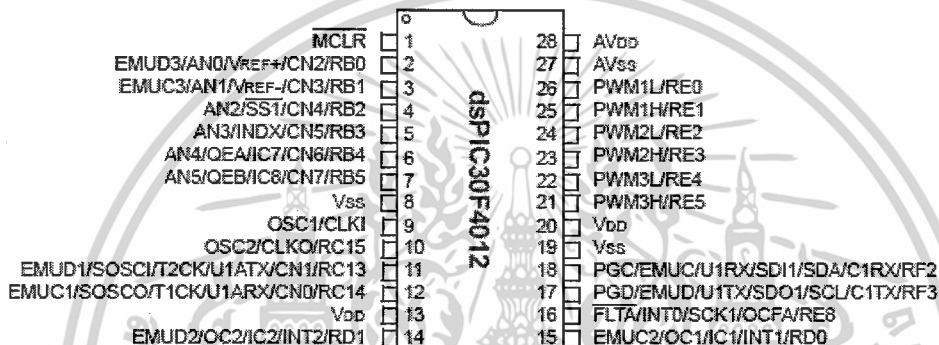


รูปที่ 2.9 โครงสร้างและการทำงานของเอนโคเดอร์

เอกสารนี้เป็นเอกสารที่สงวนไว้สำหรับการใช้งานเพื่อการศึกษาเท่านั้น ไม่อนุญาตให้นำไปใช้ประโยชน์ด้านการค้าไม่ว่ากรณีใดๆ ทั้งสิ้น อีกทั้งห้ามมิให้ดัดแปลงเนื้อหาและต้องอ้างอิงถึงเจ้าของเอกสารทุกครั้งที่มีการนำไปใช้

2.5 ไมโครคอนโทรลเลอร์

ในโครงการนี้มีความจำเป็นที่จะต้องใช้การประมวลผลแบบตามเวลาจริง (Real time) เพราะว่าเป็นการทำงานที่เกี่ยวกับสถานะในช่วงเวลาหนึ่งๆ เท่านั้น หากประมวลผลที่ล่าช้าเกินไป จะทำให้ผลตอบสนองต่อสถานะนั้นผิดพลาดไปจากที่ต้องการ จึงต้องใช้หน่วยประมวลผลที่มีความเร็วสูง ในโครงการนี้เลือกใช้ไมโครคอนโทรลเลอร์เบอร์ dsPIC30F4012 ดังรูปที่ 2.10 ซึ่งเป็นหน่วยประมวลผลแบบ 16 บิต ในตระกูล dsPIC ของบริษัทไมโครชิพ (Microchip Technology Inc) และมีหน่วยเชื่อมต่อและหน่วยฟังก์ชันพิเศษเพียงพอกับตามความต้องการในโครงการนี้



รูปที่ 2.10 ไมโครคอนโทรลเลอร์ dsPIC30F4012

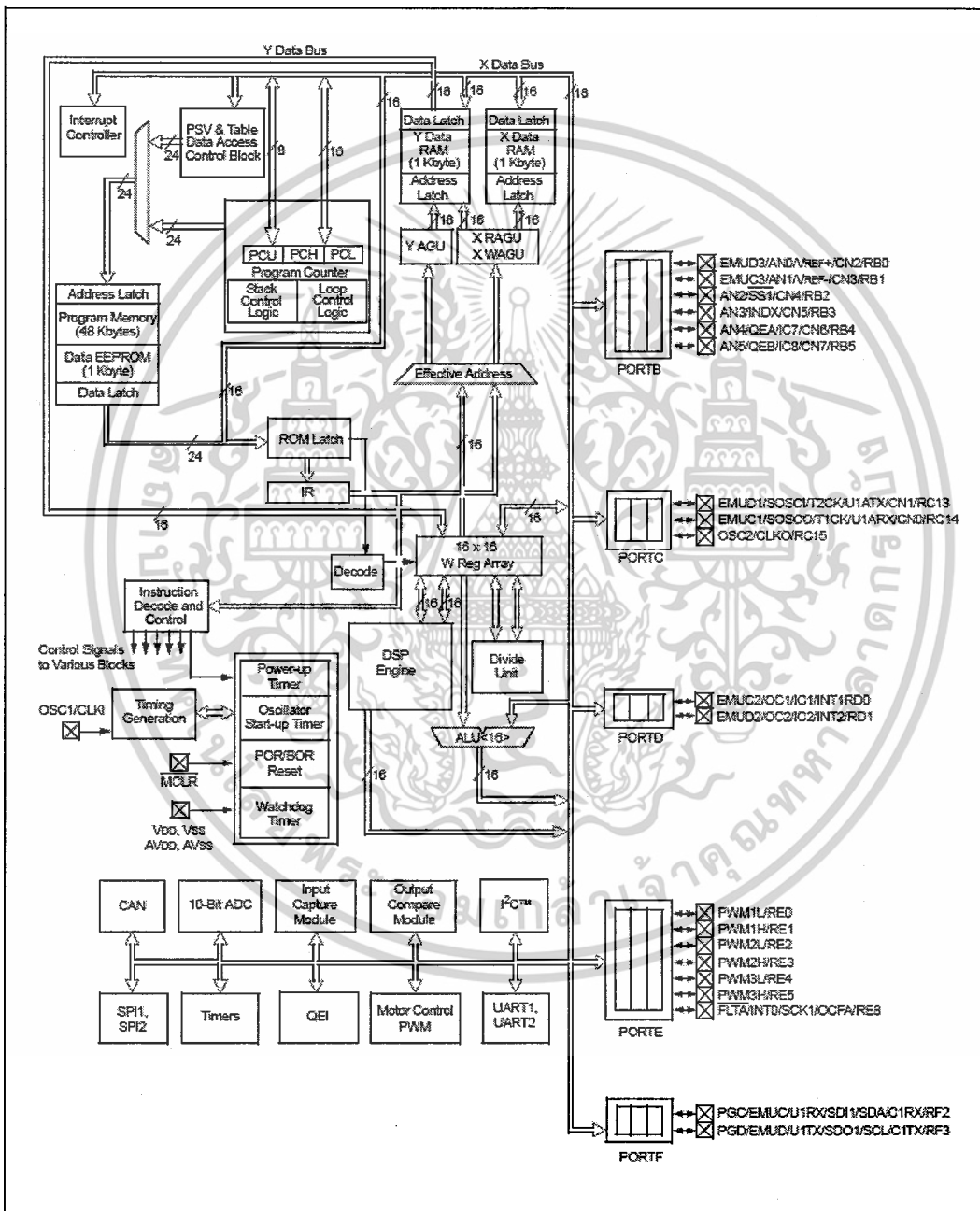
2.5.1 คุณสมบัติของ dsPIC30F4012

dsPIC30F4012 เป็นไมโครคอนโทรลเลอร์ที่มีการประมวลผลข้อมูลแบบ 16 บิต ซึ่งมีจุดเด่นในด้านความสามารถในการประมวลผลข้อมูลสัญญาณแบบดิจิทัล สำหรับนำไปประยุกต์ใช้งานควบคุมต่างๆ โดยโครงสร้างภายในจะเป็นการผสมผสานระหว่างไมโครคอนโทรลเลอร์และวงจรประมวลผลสัญญาณดิจิทัล (Digital Signal Processing) รวมเข้าไว้ด้วยกัน ดังรูปที่ 2.11 หรืออาจเรียกไมโครคอนโทรลเลอร์ตระกูล dsPIC ว่าเป็นตัวควบคุมแบบสัญญาณดิจิทัล (Digital Signal Controller: DSC)

คุณสมบัติด้านการประมวลผล

- ใช้สถาปัตยกรรมแบบ RISC โดยมี 83 คำสั่งมาตรฐาน รองรับการทำงานแบบแอดเดรสแบบต่างๆ ได้โดยอิสระ โดยรูปแบบโครงสร้างการจัดผังหน่วยความจำตัดแปลงมาจากสถาปัตยกรรมแบบฮาร์วาร์ด (Harvard)
- ชุดคำสั่ง มีขนาด 24 บิต และการประมวลผลข้อมูลได้ 16 บิต

- มีหน่วยความจำโปรแกรมแบบแฟลช (FLASH) ขนาด 48 กิโลไบต์ โดยสามารถลบและโปรแกรมซ้ำใหม่ได้กว่า 100,000 ครั้ง พร้อมระบบป้องกันการอ่านข้อมูล
- มีหน่วยความจำแบบแรม (RAM) ขนาด 2 กิโลไบต์
- มีหน่วยความจำข้อมูลแบบอีอีพรอม (EEPROM) ขนาด 1 กิโลไบต์ สามารถลบและเขียนซ้ำได้กว่า 1,000,000 ครั้ง และสามารถเก็บรักษาข้อมูลได้โดยไม่ต้องจ่ายไฟเลี้ยง



รูปที่ 2.11 แผนภาพของไมโครคอนโทรลเลอร์ dsPIC30F4012

เอกสารนี้เป็นเอกสารที่สงวนไว้สำหรับการใช้งานเพื่อการศึกษาเท่านั้น ไม่อนุญาตให้นำไปใช้ประโยชน์ด้านการค้า ไม่ว่าจะกรณีใดๆ ทั้งสิ้น อีกทั้งห้ามมิให้ดัดแปลงเนื้อหาและต้องอ้างอิงถึงเจ้าของเอกสารทุกครั้งที่มีการนำไปใช้

- มีรีจิสเตอร์ขนาด 16 บิต ให้ใช้งานจำนวน 16 ตัว
- สามารถประมวลผลด้วยความเร็วสูงสุดที่ 30 ล้านคำสั่งต่อวินาที (30 MIPS)
- รองรับสัญญาณนาฬิกาภายนอกตั้งแต่ย่านไฟตรงจนถึง 40 เมกะเฮิร์ตซ์
- รองรับการใช้งานกับแหล่งกำเนิดความถี่แบบออสซิลเลเตอร์ค่า 4-10 เมกะเฮิร์ตซ์
- มีวงจรถูกความถี่ภายในแบบเฟสล็อกลูป (Phase locked loop) โดยสามารถกำหนดค่าอัตราการถูกความถี่ได้ 3 ระดับ คือ 4 เท่า 8 เท่า และ 16 เท่า
- รองรับการอินเทอร์รัปต์ได้ถึง 30 แหล่ง พร้อมสัญญาณอินเทอร์รัปต์ภายนอก 3 แหล่ง และสามารถจัดระดับความสำคัญของการอินเทอร์รัปต์ได้ 8 ระดับ
- มีอินเทอร์รัปต์เวกเตอร์ 48 ตำแหน่ง
- มีวงจรถวายจับไฟเลี้ยงต่ำกว่ากำหนดแบบโปรแกรมได้
- มีเพาเวอร์-อนรีเซต เพาเวอร์อัปไทเมอร์ และออสซิลเลเตอร์สตาร์อัปไทเมอร์
- มีวอตช์ดีด็อกไทเมอร์แบบโปรแกรมได้
- มีวงจรถวายสอบการทำงานของวงจรถายกำเนิดสัญญาณนาฬิกา หากผิดพลาดจะเข้าสู่โหมดสัญญาณนาฬิกา RC พลังงานต่ำทันที
- รองรับการโปรแกรมในวงจรแบบอนุกรม (In-Circuit Serial Programming: ICSP)
- สามารถเลือกโหมดการใช้พลังงานได้
- ย่านไฟเลี้ยง 2.5 ถึง 5.5 โวลต์ กระแสไฟฟ้า 2.6 ถึง 44 มิลลิแอมป์ ที่ไฟเลี้ยง 5 โวลต์ ขึ้นอยู่กับการกำหนดความเร็วในการทำงาน

คุณสมบัติของการประมวลผลสัญญาณดิจิทัล

- มีแอดคิวมูลเตอร์ขนาด 40 บิต 2 ตัวรองรับการประมวลผลทางคณิตศาสตร์
- มีหน่วยประมวลผลด้านการคูณและหารเลข 17 บิต ในรูปของฮาร์ดแวร์ จึงทำให้สามารถทำการคูณและหารเลขได้อย่างรวดเร็ว
- ทำการคูณเลข 16 บิต ได้ภายในสัญญาณนาฬิกาเพียง 1 ไซเคิล
- มีตัวเลื่อนข้อมูลบาร์เรล 40 สเตท ช่วยให้มีประมวลผลข้อมูลที่มีจำนวนบิตมากๆ ทำได้รวดเร็ว
- มีวงจรเฟตช์ข้อมูลคู่ จึงทำให้สามารถประมวลผลข้อมูลได้อย่างรวดเร็ว

คุณสมบัติของหน่วยอุปกรณ์ต่อพ่วง

- ขาสัญญาณอินพุท/เอาต์พุท สามารถจ่ายกระแส (Source) และ รับกระแส (Sink) ได้มากถึง 25 มิลลิแอมป์

เอกสารนี้เป็นเอกสารที่สงวนไว้สำหรับการใช้งานเพื่อการศึกษาเท่านั้น ไม่อนุญาตให้นำไปใช้ประโยชน์ด้านการค้า ไม่ว่ากรณีใดๆ ทั้งสิ้น อีกทั้งห้ามมิให้ดัดแปลงเนื้อหาและต้องอ้างอิงถึงเจ้าของเอกสารทุกครั้งที่มีการนำไปใช้

- มีไทมเมอร์/เคาน์เตอร์ ขนาด 16 บิต จำนวน 3 ชุด และสามารถโปรแกรมให้ทำงานร่วมกันเป็น ไทมเมอร์/เคาน์เตอร์ แบบ 32 บิต ได้
- มีหน่วยตรวจจับสัญญาณดิจิตอลขนาด 16 บิต จำนวน 4 ช่อง
- มีหน่วยเปรียบเทียบข้อมูลและกำเนิดสัญญาณพัลส์วิทมอดูเลชันขนาด 16 บิต จำนวน 2 ช่อง ในการเปรียบเทียบข้อมูลสามารถเลือกทำงานได้ 2 โหมด
- มีวงจรถ่ายโอนข้อมูลแบบ SPI จำนวน 1 ช่อง
- มีวงจรถ่ายโอนข้อมูลแบบ I2C จำนวน 1 ช่อง
- มีวงจรถ่ายโอนข้อมูลแบบ UART จำนวน 1 ช่อง
- มีวงจรมหาสัญญาณพัลส์วิทมอดูเลชัน สำหรับควบคุมมอเตอร์ 6 ช่อง
 - เลือกรูปแบบสัญญาณเอาต์พุตได้ทั้งแบบคอมพลิเมนต์และแบบอิสระ
 - มีโหมดปรับตำแหน่งการหมุนทั้งแบบปรับขอบสัญญาณและแบบกึ่งกลาง
 - มีส่วนกำเนิดความกว้างพัลส์ 3 ชุด
 - กำหนดฐานเวลาได้
 - สามารถเลือกขั้วของสัญญาณทางเอาต์พุตได้
 - มีสัญญาณกระตุ้นเพื่อให้ทำงานสัมพันธ์กับวงจรแปลงสัญญาณอนาล็อกเป็นดิจิตอลภายในไมโครคอนโทรลเลอร์
 - สามารถควบคุมสัญญาณเอาต์พุตได้
- มีหน่วยเชื่อมต่อตัวเข้ารหัสแบบควอดราเจอร์ ขนาด 16 บิต จำนวน 1 ช่อง
 - มีอินพุต เฟดเอ เฟดบี และรับสัญญาณพัลส์เพื่อกำหนดตำแหน่ง
 - มีตัวนับตำแหน่งขนาด 16 บิต นับได้ทั้งขึ้นและลง
 - แสดงสถานะของทิศทางการนับได้
 - กำหนดโหมดการวัดตำแหน่งได้ 2 โหมดคือ คูณ 2 และ คูณ 4
 - มีวงจรรองสัญญาณรบกวนแบบดิจิตอลจากอินพุตแบบโปรแกรมได้
 - กำหนดให้ทำงานเป็นแบบไทมเมอร์/เคาน์เตอร์ ขนาด 16 บิต ได้
 - กำเนิดสัญญาณอินเตอร์รัปต์จากตำแหน่งที่นับเกิน หรือนับขาด
- มีวงจรมแปลงสัญญาณอนาล็อกเป็นดิจิตอลขนาด 10 บิต จำนวน 6 ช่อง
 - อัตราการสุ่มและแปลงสัญญาณ 1 ล้านตัวอย่างต่อวินาที
 - สามารถแปลงสัญญาณเมื่อไมโครคอนโทรลเลอร์ทำงานในโหมดสลีปและไอเดิล

2.5.2 หน่วยอุปกรณ์ต่อพ่วงที่ใช้ในโครงการ

ในโครงการระบบควบคุมหุ่นยนต์อินเวอร์ตเพนดูลัม การประมวลผลสัญญาณอินพุตจากเซนเซอร์มีทั้งที่เป็นสัญญาณอนาล็อกและสัญญาณดิจิตอล รวมถึงการควบคุมมอเตอร์ทำด้วยสร้างเอกสารนี้เป็นเอกสารที่สงวนไว้สำหรับใช้เพื่อการศึกษาด้านนี้ เมื่ออนุญาตให้เผยแพร่ข้อมูลการดำเนินงานไม่ว่ากรณีใดๆ ทั้งสิ้น อีกทั้งห้ามมิให้ตัดแปลงเนื้อหาและต้องอ้างอิงถึงเจ้าของเอกสารทุกครั้งที่มีการนำไปใช้

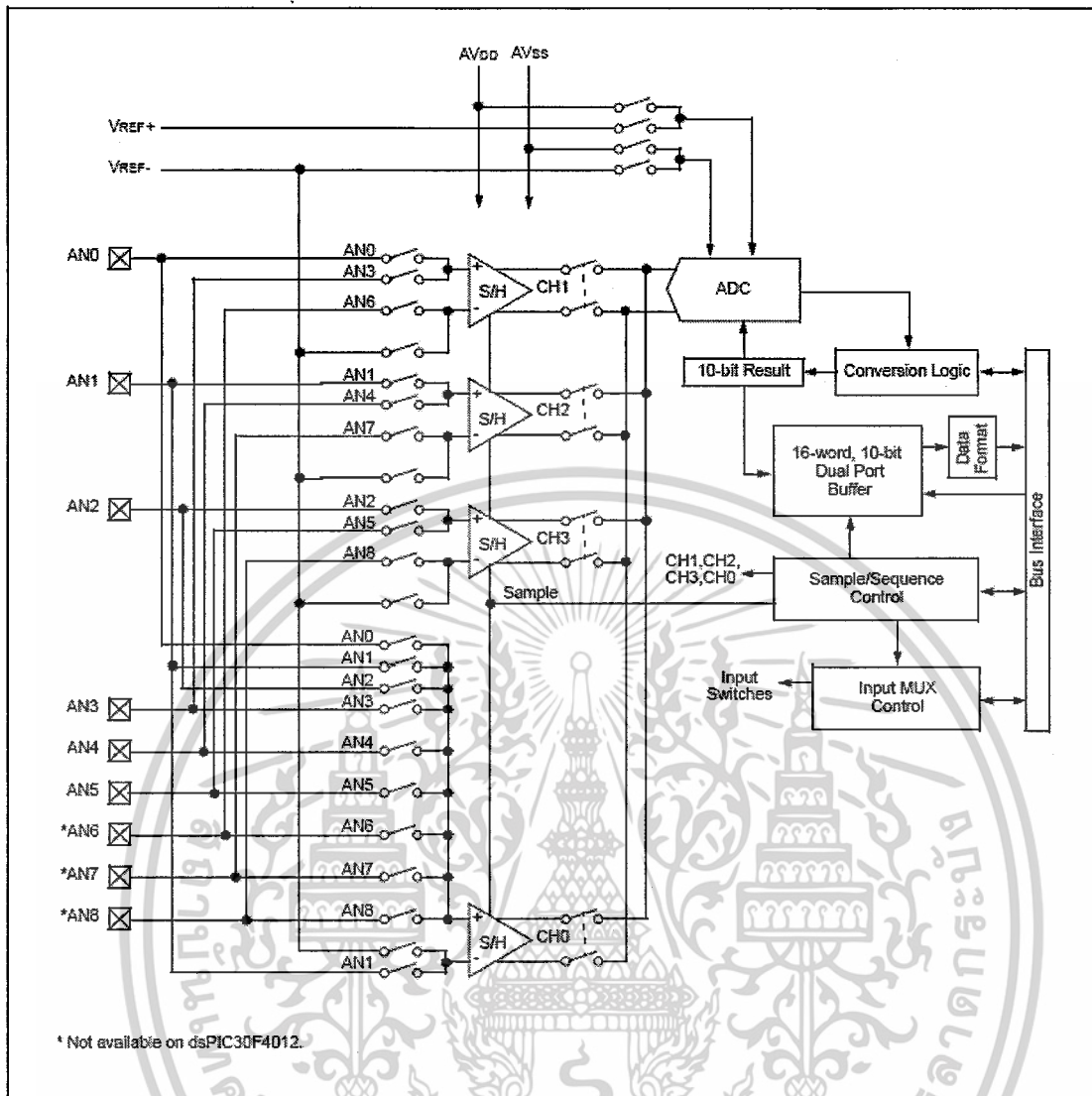
สัญญาณพัลส์วิทมอดูเลชันสำหรับเป็นสัญญาณอินพุทให้กับวงจรจับมอดูร์ จึงได้ใช้ความสามารถของหน่วยอุปกรณ์ต่อพ่วงต่างๆ ดังนี้

หน่วยการแปลงสัญญาณอนาลอกเป็นดิจิตอล

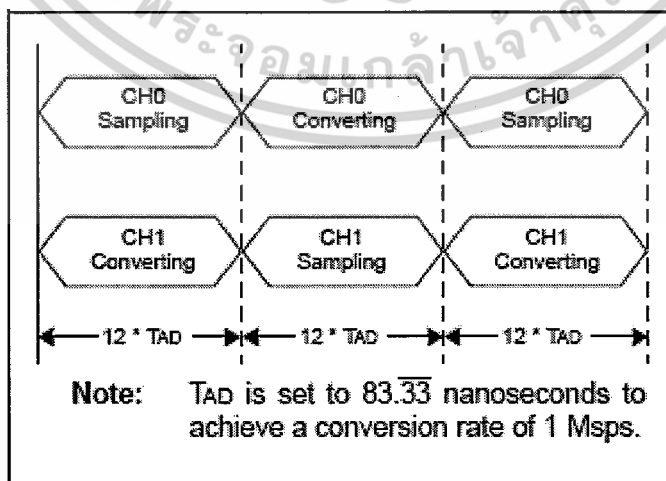
เนื่องจากโครงการงานข้อมูลจากเซนเซอร์เป็นสัญญาณอนาลอกเพื่อที่จะนำไปประมวลผลจึงจำเป็นต้องมีการแปลงสัญญาณอนาลอกเป็นดิจิตอลเสียก่อนเป็นอันดับแรก ดังนั้นการแปลงสัญญาณอนาลอกเป็นดิจิตอลให้รวดเร็วจึงมีความสำคัญมาก เพราะว่าหากเกิดการล่าช้าขึ้นก็ย่อมจะส่งผลให้การประมวลผลต่อไปผิดพลาดเนื่องจากได้ข้อมูลที่ไม่เป็นจริงที่เวลานั้นๆ ดังนั้นในโครงการนี้จะศึกษาการใช้หน่วยแปลงสัญญาณอนาลอกเป็นดิจิตอลโดยมีจุดมุ่งหมายให้ทำการแปลงสัญญาณได้เร็วและถูกต้องที่สุดเท่าที่หน่วยประมวลผลจะรองรับได้

ไมโครคอนโทรลเลอร์ dsPIC30F4012 มีหน่วยแปลงสัญญาณอนาลอกเป็นดิจิตอลขนาด 10 บิต โดยมีแผนภาพโครงสร้างดังรูปที่ 2.12 ซึ่งสามารถทำการแปลงค่าได้สูงถึง 1 ล้านตัวอย่างต่อวินาที หน่วยแปลงสัญญาณอนาลอกเป็นดิจิตอลบน dsPIC มีช่องซั๊กตัวอย่างและคงค่า (Sample and hold: S/H) อยู่ 4 ช่อง คือ CH0 CH1 CH2 และ CH3 ขาที่เป็นสัญญาณเข้าอนาลอกจะเชื่อมต่อกับช่องรักษาตัวอย่าง และคงค่าเหล่านี้ผ่านทางระบบของมัลติเพล็กซ์เซอร์ โดยปกติขาที่เป็นสัญญาณเข้าอนาลอกจะเชื่อมต่อกับช่องซั๊กตัวอย่าง และคงค่า CH0 CH1 CH2 หรือ CH3 จำนวน 1 ถึง 2 ช่อง ซึ่งการเลือกจะใช้ขาใด โดยรีจิสเตอร์ฟังก์ชันพิเศษ (Special function register: SFR) ชื่อ ADCHS และ บิต CHPS (ADCON2<9:8>) จะใช้กำหนดว่าจะเปิดช่องซั๊กตัวอย่างและคงค่าช่องใดให้ทำงานบ้าง เช่นหากกำหนดค่า '01' ให้แก่ CHPS ช่องซั๊กตัวอย่างและคงค่าช่อง CH0 และ CH1 จะทำงานเป็นต้น

หน่วยแปลงสัญญาณอนาลอกเป็นดิจิตอลสามารถกำหนดให้ช่องซั๊กตัวอย่างและคงค่ารับสัญญาณอนาลอกจากขาสัญญาณเข้าได้พร้อมกัน 2 ช่อง 4 ช่อง หรือติดต่อกันแบบสัญญาณหนึ่งต่อจากอีกสัญญาณหนึ่ง โดยการทำงานในรูปแบบของการรับสัญญาณแบบติดต่อกันจะสามารถแปลงค่าได้เร็วที่สุด ซึ่งการกำหนดรูปแบบของการรับสัญญาณแบบติดต่อกัน สามารถทำได้โดยกำหนดค่า บิต SIMSAM (ADCON1<3>) ให้เป็น '0' แสดงแผนผังการทำงานดังรูปที่ 2.13



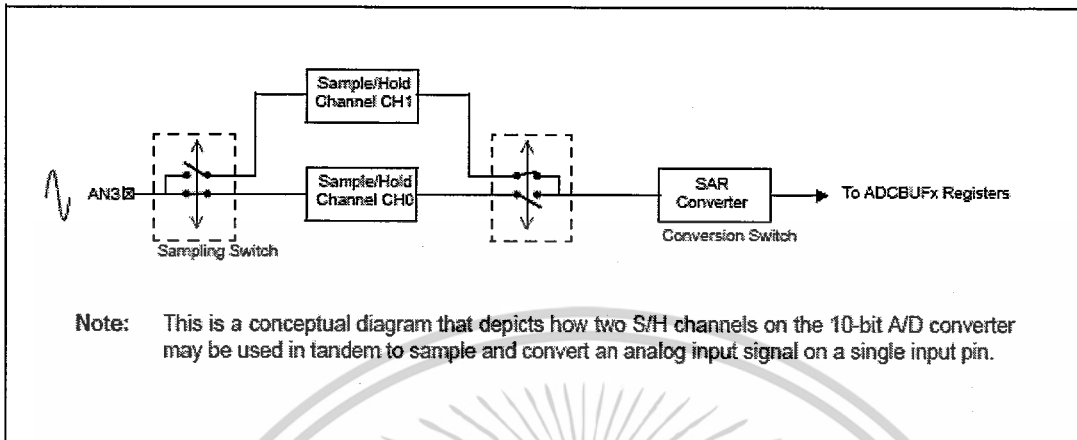
รูปที่ 2.12 แผนภาพหน่วยแปลงสัญญาณอนาล็อกเป็นดิจิทัล



รูปที่ 2.13 แผนผังการใช้ช่องชั่วคราวอย่างและคงค่า 2 ช่องในการรับสัญญาณแบบติดต่อกัน

เอกสารนี้เป็นเอกสารทรัพย์สินทางปัญญาของบริษัทที่แจ้งไว้บนปกเอกสารเท่านั้น ไม่อนุญาตให้มีการเผยแพร่หรือใช้ในด้านการค้า
ไม่ว่ากรณีใดๆ ทั้งสิ้น อีกทั้งห้ามมิให้ดัดแปลงเนื้อหาและต้องอ้างอิงถึงเจ้าของเอกสารทุกครั้งที่มีการนำไปใช้

เพื่อให้ทำการแปลงสัญญาณให้ได้ 1 ล้านครั้งต่อวินาที กำหนดให้ใช้ขาสัญญาณเข้านอก 1 ขาต่อช่องซีกตัวอย่างและคงค่า 2 ช่องเช่น CH0 และ CH1 ดังรูป 2.14



รูปที่ 2.14 แผนผังการเชื่อมต่อเพื่อให้ค่าซีกตัวอย่างมากที่สุด

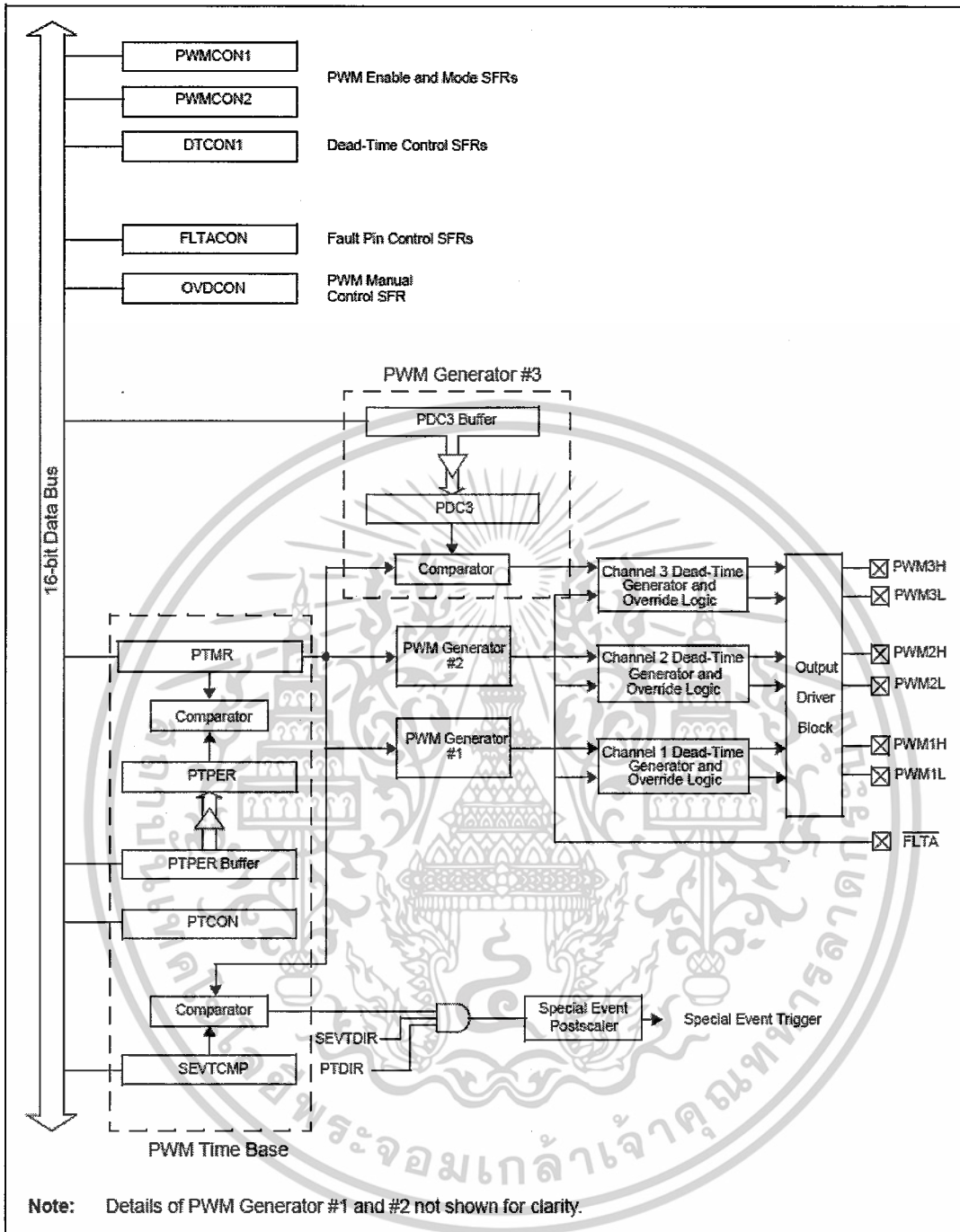
หน่วยกำเนิดสัญญาณพัลส์วidthมอดูเลชัน

อีกหนึ่งหน่วยฟังก์ชันที่ใช้ในโครงการ คือหน่วยกำเนิดสัญญาณพัลส์วidthมอดูเลชัน (Pulse width modulation: PWM) ซึ่งใน dsPIC มีหน่วยกำเนิดสัญญาณพัลส์วidthมอดูเลชัน เพื่อควบคุมมอเตอร์โดยเฉพาะ เรียกว่าหน่วย MCPWM (Motor control PWM) ดังรูปที่ 2.15 สำหรับ dsPIC30F4012 มีช่องใช้งาน 6 ช่อง จึงสามารถขับมอเตอร์ไฟฟ้ากระแสตรงแบบเฟสเดียวได้ 3 ตัว ซึ่งในโครงการนี้จะใช้เพียง 4 ช่องสำหรับควบคุมมอเตอร์ไฟฟ้ากระแสตรง 2 ตัวเท่านั้น แผนผังการทำงานแสดงในรูปที่ 2.15

ส่วนประกอบหลักของหน่วยนี้คือส่วนกำเนิดสัญญาณพัลส์วidthมอดูเลชัน ซึ่งได้คำนวณเวลา มาจากรีจิสเตอร์ PTMR และ PTPER ในหน่วย MCPWM นี้สามารถกำหนดค่าความกว้างพัลส์ หรือค่าดิวตี้ไซเคิล (Duty cycle) ในส่วนกำเนิดสัญญาณพัลส์วidthมอดูเลชัน แต่ละส่วนได้เป็นอิสระต่อกัน นอกจากนั้นยังสามารถกำหนดการทำงานของขาพอร์ตเอาต์พุตของหน่วย MCPWM โดยตรงผ่านทางรีจิสเตอร์ OVDCON สัญญาณที่ออกจากหน่วย MCPWM จะมีขาพอร์ต 2 ขาต่อช่องนั้นคือขาเอาต์พุตด้านแรงดันสูง PWMxH และขาเอาต์พุตด้านแรงดันต่ำ PWMxL หรือเรียกว่าคู่เอาต์พุตฐานเวลาของสัญญาณพัลส์วidthมอดูเลชัน ของหน่วย MCPWM สามารถกำหนดให้ทำงานได้ 4 โหมด คือ

- โหมดเปลี่ยนแปลงค่าอิสระ
- โหมดทำงานครั้งเดียว
- โหมดนับค่าขึ้นหรือลงอย่างต่อเนื่อง

- โหมดนับค่าขึ้นหรือลงอย่างต่อเนื่องพร้อมกรอินเตอร์รัปต์เพื่อปรับปรุงค่า



รูปที่ 2.15 แผนภาพของ โมดูลMCPWM

การเลือกโหมดทำได้โดยการกำหนดค่าที่ บิต PTMOD1 และ PTMOD0 ซึ่งเป็น บิต 1 และ 0 ในรีจิสเตอร์ PTCAN ซึ่งในโครงงานนี้จะเลือกใช้โหมดเปลี่ยนแปลงค่าอิสระ ในโหมดนี้ค่าฐานเวลาจะเพิ่มค่าขึ้นจนกระทั่งตรงกับค่าในรีจิสเตอร์ PTER จากนั้นรีจิสเตอร์ PTMR จะรีเซ็ตและทำการนับค่าเพิ่มขึ้นต่อเนื่องไปอีกครบเท่าที่ บิต PTEN ยังคงมีค่าเป็น '1' อยู่

เอกสารนี้เป็นเอกสารที่สงวนไว้สำหรับการใช้งานเพื่อการศึกษาเท่านั้น ไม่อนุญาตให้นำไปใช้ประโยชน์ด้านการค้า ไม่ว่ากรณีใดๆ ทั้งสิ้น อีกทั้งห้ามมิให้ตัดแปลงเนื้อหาและต้องอ้างอิงถึงเจ้าของเอกสารทุกครั้งที่มีการนำไปใช้

การเปลี่ยนค่าความกว้างพัลส์ ของสัญญาณพัลส์วิทมอดูเลชัน ของหน่วย MCPWM กำหนดได้จากรีจิสเตอร์ PDC1 - PDC4 ซึ่งต่างก็มีบัพเฟอร์เพื่อป้องกันสัญญาณรบกวนเมื่อมีการปรับปรุุงค่าของสัญญาณ PWM โดยค่าความกว้างพัลส์ของสัญญาณพัลส์วิทมอดูเลชัน จะถูกปรับปรุุงค่าตามข้อมูลที่เขียนลงในรีจิสเตอร์ PDCx จากนั้นค่าจากรีจิสเตอร์ PDCx จะถูกส่งไปยังบัพเฟอร์เพื่อทำการเปรียบเทียบ เมื่อมีการเปลี่ยนแปลงข้อมูลในรีจิสเตอร์ PDCx เรียบร้อย ข้อมูลนั้นจึงถูกส่งไปยังบัพเฟอร์ข้อมูลนั้นจึงถูกส่งไปยังบัพเฟอร์เพื่อทำงานต่อไป ทำให้ไม่เกิดการติดขัดหรือเกิดความผิดพลาดในขณะที่เปลี่ยนค่าความกว้างพัลส์ เมื่อฐานเวลาสัญญาณพัลส์วิทมอดูเลชันทำงานในโหมดเปลี่ยนแปลงค่าอิสระหรือโหมดทำงานครั้งเดียว ความกว้างพัลส์ของสัญญาณพัลส์วิทมอดูเลชัน ถูกปรับปรุุงเมื่อค่าของรีจิสเตอร์ PTMR เท่ากับ PTPER และเมื่อรีจิสเตอร์ PTMR เกิดการรีเซตเป็น '0'

นอกจากนั้นในหน่วย MCPWM ยังมีความสามารถพิเศษอีกประการหนึ่ง คือ การป้องกันการเปลี่ยนค่าความกว้างพัลส์ ทำได้โดยกำหนด บิต UDIS ซึ่งเป็น บิต 2 ของรีจิสเตอร์ PWMCON2 ให้มีค่าเป็น '1'

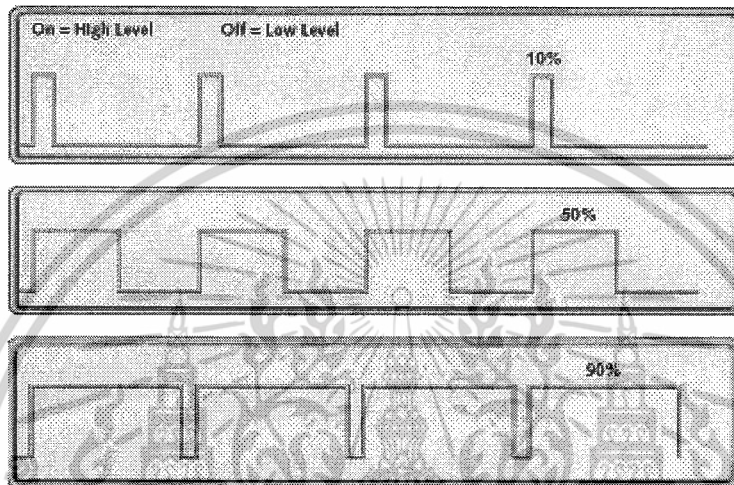
2.6 หลักการควบคุมมอเตอร์ไฟฟ้ากระแสตรง

ในโครงการระบบควบคุมหุ่นยนต์อินเวอร์ทเพนดูลัม ได้ใช้มอเตอร์ไฟฟ้ากระแสตรงในการขับเคลื่อนตัวหุ่นยนต์ เพื่อรักษาสภาพสมดุลไว้ ซึ่งการควบคุมมอเตอร์ไฟฟ้ากระแสตรงมีการควบคุมความเร็วและทิศทางการหมุนของมอเตอร์ มอเตอร์กระแสตรงเป็นเครื่องกลทางไฟฟ้าที่เปลี่ยนพลังงานไฟฟ้าเป็นพลังงานกลผ่านทางแกนหมุนหรือเพลลา มอเตอร์สามารถที่จะหมุนได้เนื่องจากมีสนามแม่เหล็ก 2 แหล่งกระทำต่อกัน โดยที่สนามแม่เหล็กทั้ง 2 แหล่ง อาจจะเป็นแบบที่ได้จากการจ่ายกระแสไฟฟ้าผ่านขดลวดสเตเตอร์ (Stator winding) และขดลวดอาร์เมเจอร์ แต่มอเตอร์กระแสตรงที่นิยมใช้เป็นแบบแม่เหล็กถาวร เป็นตัวสร้างสนามแม่เหล็กแทนขดลวดสเตเตอร์ และใช้การผ่านกระแสไฟฟ้าเข้าไปที่ขดลวดอาร์เมเจอร์ เนื่องจากจะลดความสูญเสียได้ เพราะไม่มีขดลวดสนามแม่เหล็ก (Field winding) ทำให้มีประสิทธิภาพที่ดีขึ้น นอกจากนี้มอเตอร์กระแสตรงยังมีขนาดเล็ก และราคาถูกสนามแม่เหล็กที่เกิดจากแม่เหล็กถาวร เกิดจากการจ่ายกระแสไฟฟ้ากระแสตรงเข้าไปในขดลวดอาร์เมเจอร์ จะทำให้เกิดแรงบิดขึ้นที่โรเตอร์ซึ่งจะทำให้เกิดการหมุนได้นั่นเอง

2.6.1 การควบคุมความเร็วมอเตอร์ไฟฟ้ากระแสตรง

เนื่องจากส่วนของขดลวดสเตเตอร์ เป็นแม่เหล็กถาวร การควบคุมความเร็วจึงทำได้โดยการเปลี่ยนค่าความต่างศักย์ที่ขดลวดอาร์เมเจอร์ ซึ่งค่าความต่างศักย์นี้จะแปรผันตรงกับความเร็วในการหมุนของมอเตอร์ วิธีที่จะเปลี่ยนระดับความต่างศักย์ไฟฟ้า จะใช้คลื่นรูปสี่เหลี่ยมที่สามารถเอกลำารินเป็นเอกสารที่สงวนไว้สำหรับการใช้งานเพื่อการศึกษาเท่านั้น เมื่อนุญาตให้นำไปเผยแพร่บนสื่อออนไลน์ใดๆ ทั้งสิ้น อีกทั้งห้ามมิให้ดัดแปลงเนื้อหาและต้องอ้างอิงถึงเจ้าของเอกสารทุกครั้งที่มีการนำไปใช้

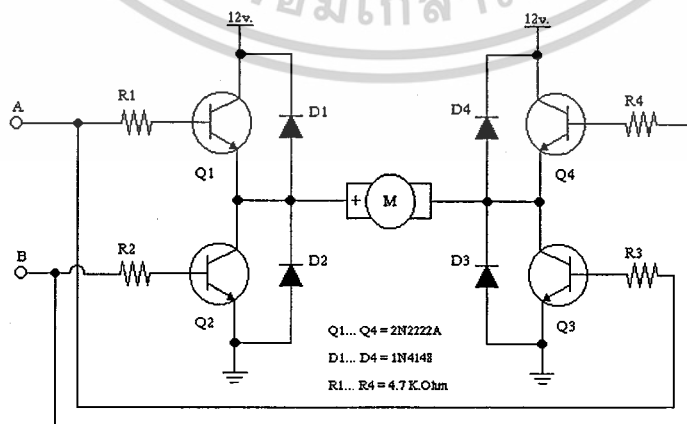
เปลี่ยนแปลงช่วงเวลาในการเปิด และปิดแหล่งจ่ายได้ ซึ่งจะเป็นการเปลี่ยนแปลงค่าเฉลี่ยของแรงดัน เรียกว่า สัญญาณพัลส์วิธมอดูเลชัน ดังรูปที่ 2.16 ซึ่งในโครงการนี้ได้ใช้ไมโครคอนโทรลเลอร์สร้างสัญญาณคลื่นรูปสี่เหลี่ยมสำหรับใช้ควบคุมมอเตอร์ขึ้นมา โดยการปรับความกว้างของพัลส์ หรือค่าดีวตีไซเคิล เมื่อความกว้างของพัลส์มีค่ามากจะทำให้ค่าเฉลี่ยของแรงดันมีค่ามากหรือทำให้มอเตอร์หมุนเร็ว ถ้าความกว้างของพัลส์มีค่าน้อยจะทำให้ค่าเฉลี่ยของแรงดันมีค่าน้อยหรือทำให้มอเตอร์หมุนช้า



รูปที่ 2.16 สัญญาณพัลส์วิธมอดูเลชัน

2.6.2 การควบคุมทิศทางของมอเตอร์กระแสตรง

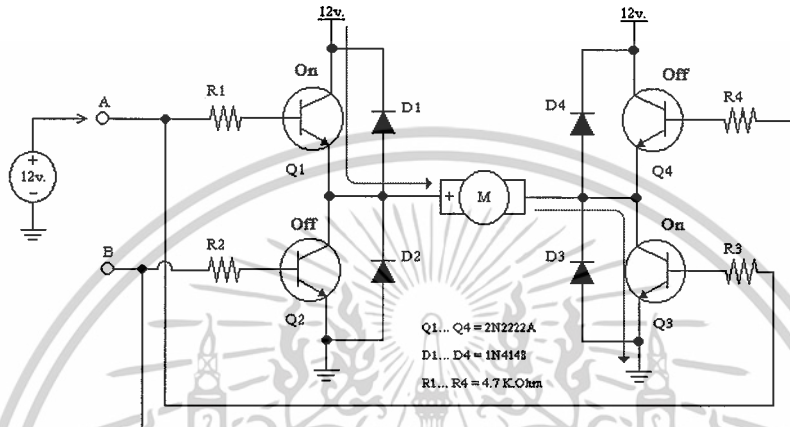
การควบคุมทิศการหมุนของมอเตอร์กระแสตรงสามารถทำได้ โดยการควบคุมทิศทางกระแสไฟฟ้ที่ไหลผ่านขดลวดอาร์เมเจอร์ ซึ่งสามารถทำได้โดยการกลับขั้วไฟฟ้าที่ป้อนให้กับขั้วของมอเตอร์โดยการควบคุมการไหลของกระแสไฟฟ้านั้น ส่วนใหญ่แล้วจะใช้วิธีการต่อวงจรอิเล็กทรอนิกส์ที่เรียกว่าเอชบริดจ์ (H-bridge) เข้ากับมอเตอร์ ดังรูปที่ 2.17



รูปที่ 2.17 วงจรเอชบริดจ์

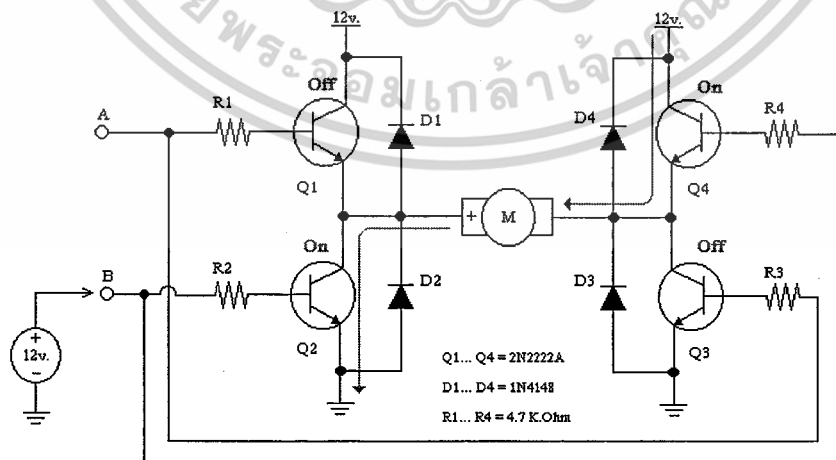
เอกสารนี้เป็นเอกสารที่สงวนไว้สำหรับการใช้งานเพื่อการศึกษาเท่านั้น ไม่อนุญาตให้นำไปใช้ประโยชน์ด้านการค้าไม่ว่ากรณีใดๆ ทั้งสิ้น อีกทั้งห้ามมิให้ดัดแปลงเนื้อหาและต้องอ้างอิงถึงเจ้าของเอกสารทุกครั้งที่มีการนำไปใช้

การทำงานของวงจรเอชบริดจ์ คือเมื่อจ่ายไฟที่จุด A จะทำให้ทรานซิสเตอร์ Q1 และ Q3 ทำงานส่งผลให้มีกระแสไหล จากแหล่งจ่าย ผ่านขาคอลเล็กเตอร์ (Collector) และอีมิเตอร์ (Emitter) ของ Q1 ผ่านเข้าสู่ขั้วบวก (+) ของมอเตอร์ ผ่านไปยังขาคอลเล็กเตอร์ และอีมิเตอร์ ของ Q3 ทำให้มีกระแสไหลผ่านมอเตอร์ในทิศทางบวก และครบวงจร จึงทำให้มอเตอร์สามารถหมุน ในทิศทางตามเข็มนาฬิกา ดังรูปที่ 2.18



รูปที่ 2.18 การทำงานของวงจรเอชบริดจ์เมื่อจ่ายไฟที่จุด A

และเมื่อจ่ายไฟที่จุด B จะทำให้ทรานซิสเตอร์ Q2 และ Q4 ทำงานส่งผลให้มีกระแสไหล จากแหล่งจ่ายผ่านขาคอลเล็กเตอร์ และอีมิเตอร์ ของ Q4 ผ่านเข้าสู่ขั้วลบ (-) ของมอเตอร์ ผ่านไปยังขาคอลเล็กเตอร์ และอีมิเตอร์ ของ Q2 ทำให้มีกระแสไหลผ่านมอเตอร์ในทิศทางลบ และครบวงจร จึงทำให้มอเตอร์สามารถหมุน ในทิศทางทวนเข็มนาฬิกาได้ ดังรูปที่ 2.19



รูปที่ 2.19 การทำงานของวงจรเอชบริดจ์เมื่อจ่ายไฟที่จุด B

เอกสารนี้เป็นเอกสารที่สงวนไว้สำหรับการใช้งานเพื่อการศึกษาเท่านั้น ไม่อนุญาตให้นำไปใช้ประโยชน์ด้านการค้า ไม่ว่าจะกรณีใดๆ ทั้งสิ้น อีกทั้งห้ามมิให้ดัดแปลงเนื้อหาและต้องอ้างอิงถึงเจ้าของเอกสารทุกครั้งที่มีการนำไปใช้

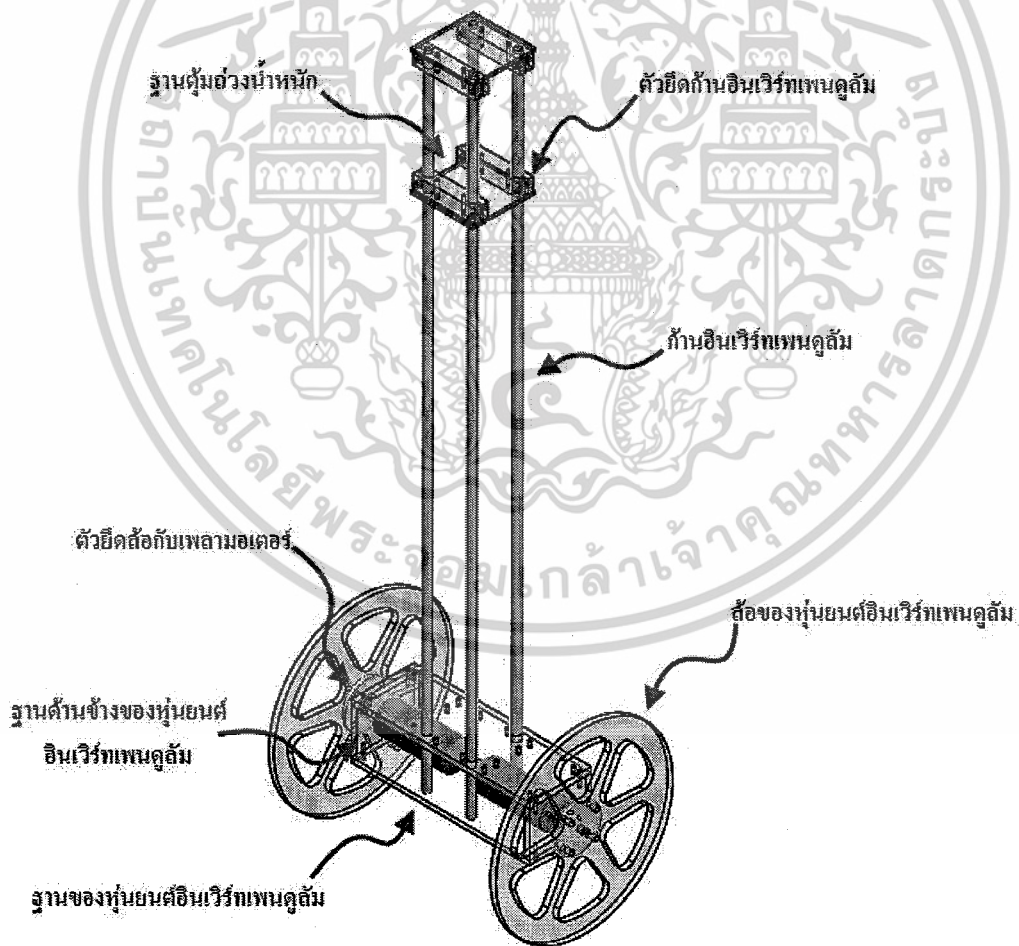
บทที่ 3

การออกแบบ

ในบทนี้จะกล่าวถึงการออกแบบส่วนต่างๆ ของโครงการระบบควบคุมอินเวอร์ทเพนดูลัม ซึ่งแบ่งออกเป็น 2 หัวข้อใหญ่ คือ การออกแบบโครงสร้างของหุ่นยนต์อินเวอร์ทเพนดูลัม และการออกแบบระบบควบคุม ดังนี้

3.1 การออกแบบโครงสร้างของหุ่นยนต์อินเวอร์ทเพนดูลัม

ในหัวข้อนี้ได้กล่าวถึงการออกแบบโครงสร้างของหุ่นยนต์อินเวอร์ทเพนดูลัม โดยจากรูปที่ 3.1 แสดงโครงสร้างของหุ่นยนต์อินเวอร์ทเพนดูลัมที่ออกแบบขึ้นส่วนต่างๆและประกอบเสร็จสมบูรณ์แล้วด้วยโปรแกรม SolidWorks

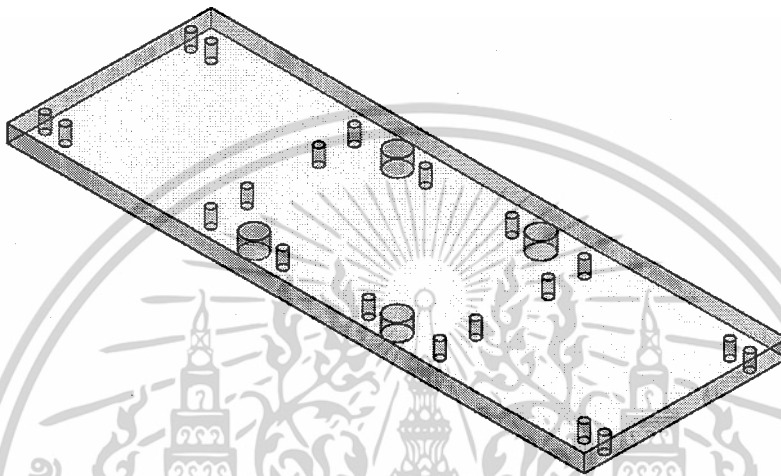


รูปที่ 3.1 โครงสร้างหุ่นยนต์อินเวอร์ทเพนดูลัม

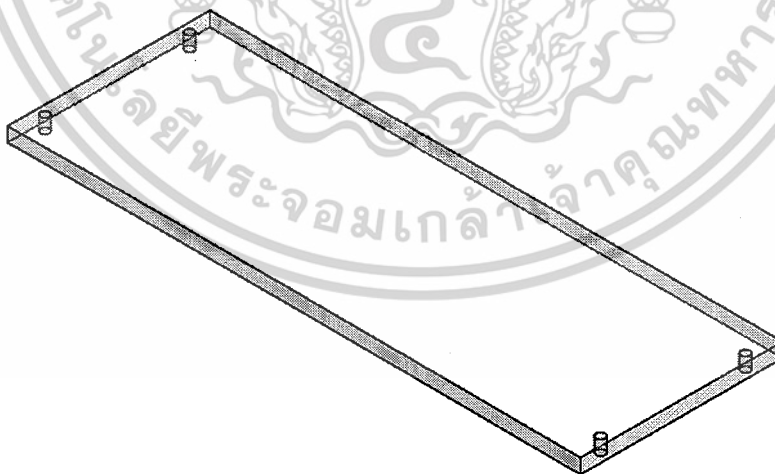
เอกสารนี้เป็นเอกสารที่สงวนไว้สำหรับการใช้งานเพื่อการศึกษาเท่านั้น ไม่อนุญาตให้นำไปใช้ประโยชน์ด้านการค้าไม่ว่ากรณีใดๆ ทั้งสิ้น อีกทั้งห้ามมิให้ตัดแปลงเนื้อหาและต้องอ้างอิงถึงเจ้าของเอกสารทุกครั้งที่มีการนำไปใช้

3.1.1 การออกแบบฐานของหุ่นยนต์อินเวอร์ทเพนดูลัม

ส่วนฐานของหุ่นยนต์อินเวอร์ทเพนดูลัมประกอบด้วยแผ่นอะคริลิก ความกว้าง 70 มิลลิเมตร ยาว 200 มิลลิเมตร หนา 6 มิลลิเมตร จำนวน 2 แผ่น เป็นรูปสี่เหลี่ยมผืนผ้า ทำให้ง่ายต่อการติดตั้ง และมีน้ำหนักเบาเพราะทำจากแผ่นอะคริลิก จากการออกแบบด้วยโปรแกรม SolidWorks ฐานของหุ่นยนต์อินเวอร์ทเพนดูลัมทั้งสอง มีลักษณะดังรูปที่ 3.2 และ รูปที่ 3.3



รูปที่ 3.2 ฐานด้านบนของหุ่นยนต์อินเวอร์ทเพนดูลัม



รูปที่ 3.3 ฐานด้านล่างของหุ่นยนต์อินเวอร์ทเพนดูลัม

เอกสารนี้เป็นเอกสารที่สงวนไว้สำหรับการใช้งานเพื่อการศึกษาเท่านั้น ไม่อนุญาตให้นำไปใช้ประโยชน์ด้านการค้า ไม่ว่าจะกรณีใดๆ ทั้งสิ้น อีกทั้งห้ามมิให้ดัดแปลงเนื้อหาและต้องอ้างอิงถึงเจ้าของเอกสารทุกครั้งที่มีการนำไปใช้

3.1.2 ฐานด้านข้างของหุ่นยนต์อินเวอร์ทเพนดูลัม

ชิ้นส่วนนี้ได้ออกแบบมาให้อยู่ระหว่าง ส่วนของฐานด้านบนและด้านล่างของหุ่นยนต์อินเวอร์ทเพนดูลัม โดยขนาดของส่วนฐานด้านข้างต้องมีขนาดใหญ่พอสำหรับติดตั้งมอเตอร์ระหว่างฐานด้านบน และฐานด้านล่างได้ โดยออกแบบให้มีขนาดความกว้าง 50 มิลลิเมตร ยาว 70 มิลลิเมตร เจาะรูความความกว้างรัศมีเท่ากับ 6 มิลลิเมตรสำหรับให้เฟลตามอเตอร์ยื่นออกมา และรัศมี 1.5 มิลลิเมตร ด้านข้างสำหรับยึดตัวมอเตอร์ และด้านบนสำหรับยึดฐานด้านบน และด้านล่างให้ยึดกับฐานด้านข้าง โดยฐานด้านข้างของหุ่นยนต์อินเวอร์ทเพนดูลัมมีทั้งหมด 2 ชิ้น คือ ชิ้นด้านซ้าย และด้านขวา ซึ่งมีลักษณะเหมือนกัน ทำด้วยแผ่นอะคริลิก หนา 5 มิลลิเมตร ดังรูปที่ 3.4

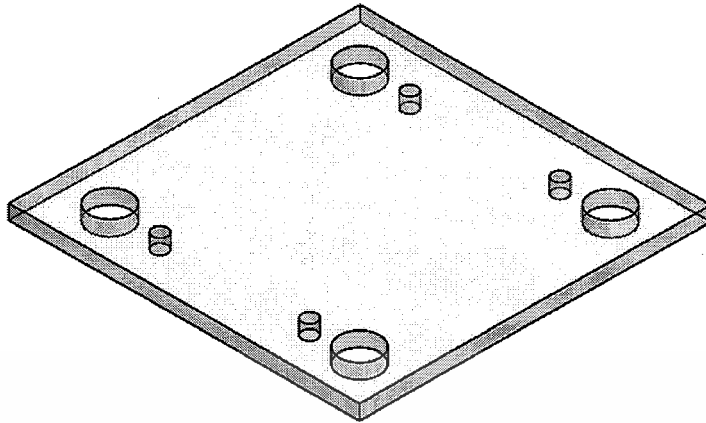


รูปที่ 3.4 ฐานด้านข้างของหุ่นยนต์อินเวอร์ทเพนดูลัม

3.1.3 การออกแบบฐานของตุ้มถ่วงบนก้านเพนดูลัม

จากการออกแบบให้มีตุ้มถ่วงน้ำหนักบนก้านเพนดูลัม และก้านเพนดูลัมทำด้วยแท่งอะลูมิเนียมสำเร็จรูปจำนวน 4 แท่ง ทำให้ต้องออกแบบฐานของตุ้มน้ำหนักที่รองรับกับแท่งอะลูมิเนียม จึงออกแบบให้ฐานของตุ้มถ่วงน้ำหนักมีขนาดกว้าง 70 มิลลิเมตร ยาว 70 มิลลิเมตร และมีช่องสำหรับแท่งอะลูมิเนียมทั้ง 4 แท่ง ตัวฐานทำด้วยแผ่นอะคริลิก หนา 3 มิลลิเมตร ที่มีความแข็งแรงสำหรับรองรับน้ำหนักของแบตเตอรี่ โดยฐานของตุ้มน้ำหนักบนก้านเพนดูลัม มีลักษณะดังรูปที่ 3.5

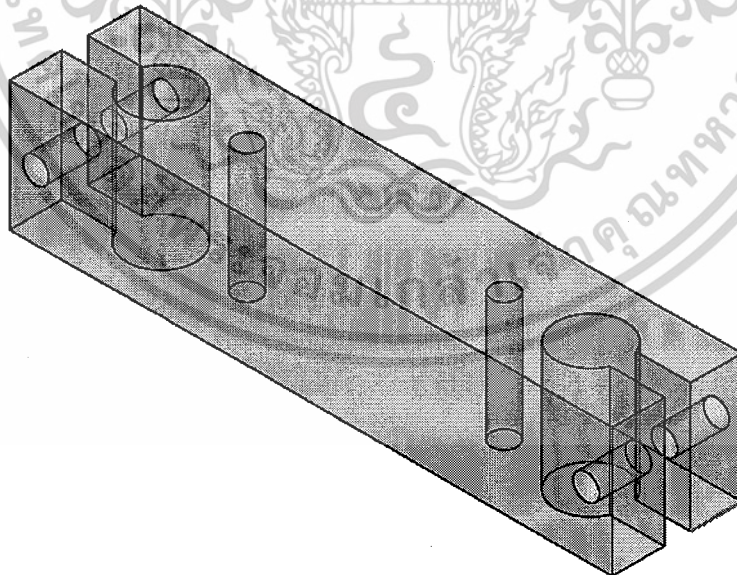
เอกสารนี้เป็นเอกสารที่สงวนไว้สำหรับการใช้งานเพื่อการศึกษาเท่านั้น ไม่อนุญาตให้นำไปใช้ประโยชน์ด้านการค้าไม่ว่ากรณีใดๆ ทั้งสิ้น อีกทั้งห้ามมิให้ดัดแปลงเนื้อหาและต้องอ้างอิงถึงเจ้าของเอกสารทุกครั้งที่มีการนำไปใช้



รูปที่ 3.5 ฐานของตุ้มถ่วงน้ำหนักบนก้านเพนคูล์ม

3.1.4 ตัวยึดก้านเพนคูล์ม

เนื่องจากก้านเพนคูล์มเป็นแท่งอะลูมิเนียม ตัวยึดนี้ออกแบบมาเพื่อยึดแท่งอะลูมิเนียมกับฐานของหุ่นยนต์ และฐานของตุ้มถ่วงน้ำหนัก ตัวยึดจึงต้องมีความแข็งแรงพอสมควร ดังนั้นจึงออกแบบให้ตัวยึดมีความกว้าง 15 มิลลิเมตร ยาว 70 มิลลิเมตร และหนาเท่ากับ 15 มิลลิเมตร เจาะรูที่ปลายทั้งสองด้านสำหรับใส่แท่งอะลูมิเนียม ในโครงงานหุ่นยนต์อินเวอร์ทเพนคูล์มมีตัวยึดบนก้านเพนคูล์มทั้งหมด 6 ตัว มีลักษณะเป็นดังรูปที่ 3.6

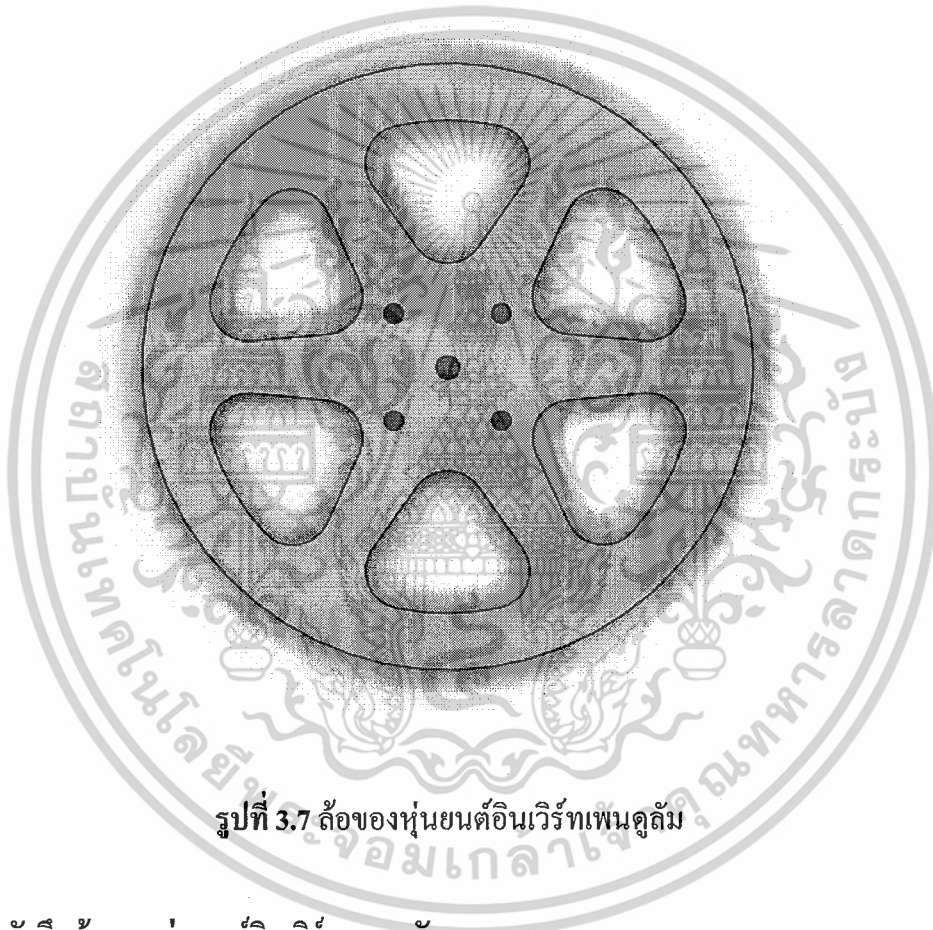


รูปที่ 3.6 ตัวยึดบนก้านเพนคูล์ม

เอกสารนี้เป็นเอกสารที่สงวนไว้สำหรับการใช้งานเพื่อการศึกษาเท่านั้น ไม่อนุญาตให้นำไปใช้ประโยชน์ด้านการค้าไม่ว่ากรณีใดๆ ทั้งสิ้น อีกทั้งห้ามมิให้ดัดแปลงเนื้อหาและต้องอ้างอิงถึงเจ้าของเอกสารทุกครั้งที่มีการนำไปใช้

3.1.5 การออกแบบล้อของหุ่นยนต์อินเวอร์ทเพนดูลัม

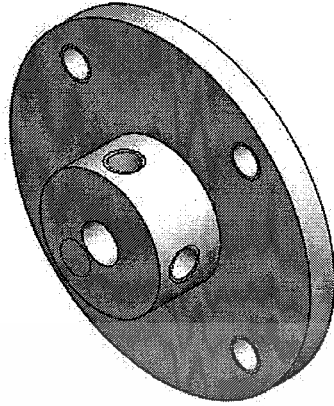
ล้อของหุ่นยนต์อินเวอร์ทเพนดูลัมมีส่วนสำคัญต่อความยากง่ายของการควบคุมสมดุลของหุ่นยนต์เพนดูลัม โดยในโครงการระบบควบคุมอินเวอร์ทเพนดูลัมนี้ ได้มีการทดลองใช้ล้อที่มีรัศมี ความกว้างที่ต่างกัน พบว่าล้อที่มีรัศมีกว้างทำให้การควบคุมสมดุลทำได้ง่ายขึ้น แต่ถ้าล้อมีรัศมีที่ กว้างเกินไปก็จะทำให้ไม่สมดุลกับก้านเพนดูลัมเดิม ดังนั้นหุ่นยนต์อินเวอร์ทเพนดูลัมนี้ได้ออกแบบ ล้อให้มีรัศมีความกว้าง 100 มิลลิเมตร และใช้วัสดุเป็นแผ่นอะคริลิก หนา 6 มิลลิเมตร ซึ่งมีลักษณะ เป็นดังรูปที่ 3.7



รูปที่ 3.7 ล้อของหุ่นยนต์อินเวอร์ทเพนดูลัม

3.1.6 ตัวยึดล้อของหุ่นยนต์อินเวอร์ทเพนดูลัม

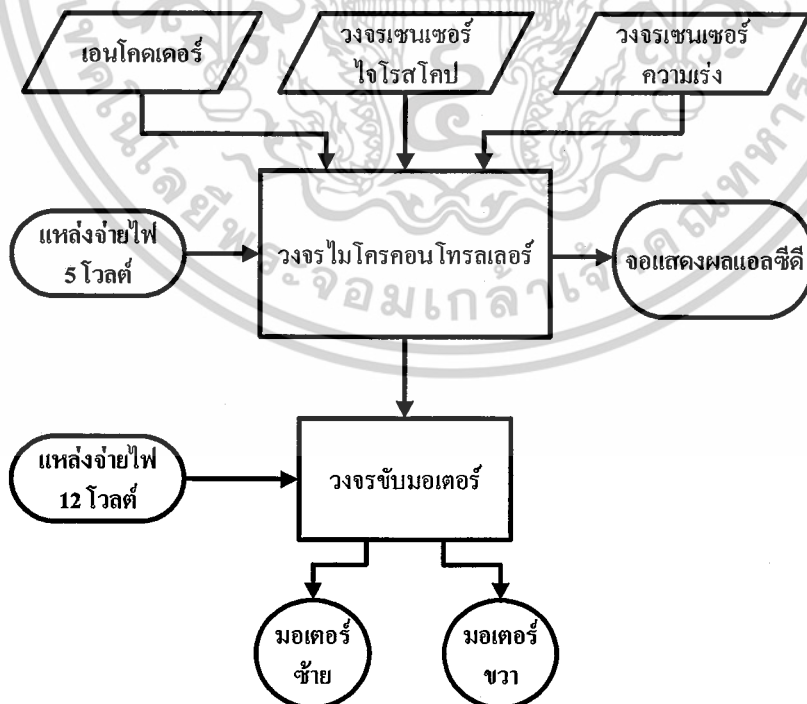
ตัวยึดล้อของหุ่นยนต์อินเวอร์ทเพนดูลัมนี้ มีหน้าที่ยึดล้อ เข้ากับมอเตอร์บนตัวของหุ่นยนต์ เนื่องจากชิ้นส่วนนี้ได้รับแรงกระทำโดยตรงจากมอเตอร์ เนื่องจากต้องการความแข็งแรง จึงนำ อะลูมิเนียมมาผลิตเป็นตัวยึดล้อ ทำให้ได้ตัวยึดที่แข็งแรง และมีน้ำหนักเบา โดยตัวยึดล้อนี้มีลักษณะ เป็นจานวงกลมมีรัศมีความกว้างเท่ากับ 25 มิลลิเมตร และมีแป้นกลมบนขนาดรัศมีความกว้าง 10 มิลลิเมตร โดยเจาะรูสำหรับเพลามอเตอร์ขนาดรัศมี 3 มิลลิเมตรพอดี โดยมีลักษณะเป็นดังรูปที่ 3.8



รูปที่ 3.8 ตัวยึดถือของหุ่นยนต์อินเวอร์ทเพนดูลัม

3.2 การออกแบบวงจร

ในโครงการระบบควบคุมหุ่นยนต์อินเวอร์ทเพนดูลัม ประกอบด้วยวงจรอิเล็กทรอนิกส์ไฟฟ้า ดังแผนภาพวงจรรูปที่ 3.9 ได้แก่ วงจรไมโครคอนโทรลเลอร์ วงจรแสดงผลแอลซีดี วงจรเซนเซอร์ใจโรสโคป วงจรเซนเซอร์ความเร่ง วงจรจ่ายแรงดัน 3.3 โวลต์ วงจรขับเคลื่อนมอเตอร์ และวงจรรับอินพุตจากเอนโคเดอร์ ในบทนี้จะอธิบายถึงการออกแบบวงจรต่างๆ ที่ใช้ในโครงการ

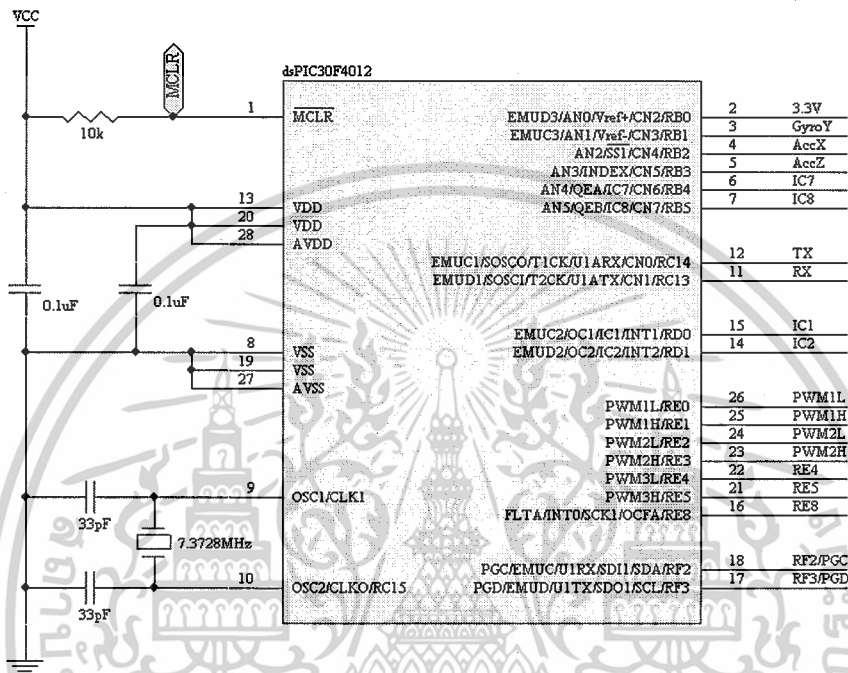


รูปที่ 3.9 แผนภาพการเชื่อมต่อวงจรต่างๆ

เอกสารนี้เป็นเอกสารที่สงวนไว้สำหรับใช้ภายในเพื่อการศึกษาเท่านั้น เมื่อนุญาตให้นำไปใช้ประโยชน์ด้านการค้าไม่ว่ากรณีใดๆ ทั้งสิ้น อีกทั้งห้ามมิให้ตัดแปลงเนื้อหาและต้องอ้างอิงถึงเจ้าของเอกสารทุกครั้งที่มีการนำไปใช้

3.2.1 วงจรไมโครคอนโทรลเลอร์

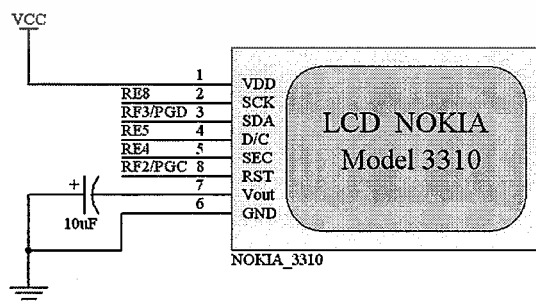
วงจรไมโครคอนโทรลเลอร์เป็นวงจรที่ออกแบบมาเพื่อให้รับข้อมูลจากเซนเซอร์แล้วนำมาประมวลผลส่งไปควบคุมมอเตอร์ให้รักษาสมดุลของหุ่นยนต์อินเวอร์ทิเพนดูลัม รวมถึงควบคุมการแสดงผลบนจอแอลซีดีกราฟฟิกด้วย ในโครงการนี้ใช้ไมโครคอนโทรลเลอร์ของบริษัทไมโครชิพ (Microchips) เบอร์ dsPIC4012 ประกอบไปด้วยอุปกรณ์ต่างๆ ดังรูปที่ 3.10



รูปที่ 3.10 วงจรไมโครคอนโทรลเลอร์

3.2.2 วงจรจอแสดงผลแอลซีดี

ในโครงการนี้ได้นำจอแอลซีดีมาเพื่อแสดงผลค่าต่างๆ ที่วัดได้จากเซนเซอร์ จอแอลซีดีที่นำมาใช้เป็นจอแอลซีดีกราฟฟิก โดยมีวงจรดังรูปที่ 3.11 แต่นำมาพัฒนาให้สามารถแสดงผลข้อความได้ 6 บรรทัด บรรทัดละ 16 ตัวอักษร โดยติดต่อกับไมโครคอนโทรลเลอร์ผ่านระบบสื่อสารแบบ SPI

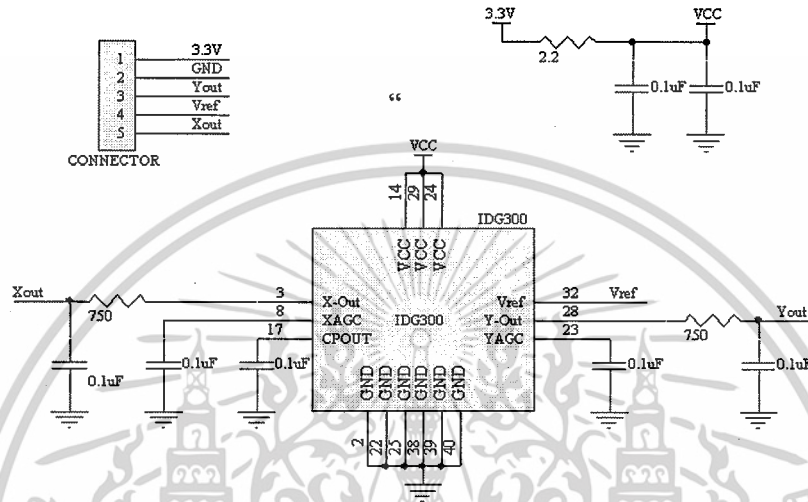


รูปที่ 3.11 วงจรจอแสดงผลแอลซีดี

เอกสารนี้เป็นเอกสารที่สงวนไว้สำหรับใช้เฉพาะในเชิงวิชาการเท่านั้น ไม่อนุญาตให้นำไปใช้ประโยชน์ด้านการค้า ไม่ว่ากรณีใดๆ ทั้งสิ้น อีกทั้งห้ามมิให้ดัดแปลงเนื้อหาและต้องอ้างอิงถึงเจ้าของเอกสารทุกครั้งที่มีการนำไปใช้

3.2.3 วงจรเซนเซอร์ไโรสโคป

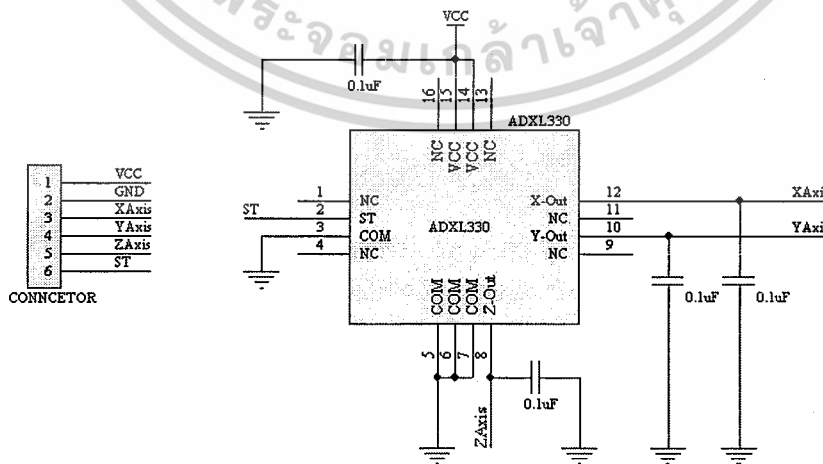
เซนเซอร์ไโรสโคปเป็นเซนเซอร์ที่วัดอัตราการเร็วเชิงมุม นำมาใช้ในการควบคุมสมดุลให้หุ่นยนต์อินเวอร์ทิทเพนดูลัม เซนเซอร์ที่ใช้คือเบอร์ IDG300 ให้เอาท์พุทเป็นสัญญาณอนาลอก และใช้ไฟเลี้ยง 3.3 โวลต์ โดยที่ขาเอาท์พุทของแกน X และแกน Y ได้ต่อตัวต้านทานและตัวเก็บประจุไว้เพื่อเป็นวงจรกรองความถี่ต่ำผ่าน (Low pass filter) ดังรูปที่ 3.12



รูปที่ 3.12 วงจรเซนเซอร์ไโรสโคป

3.2.4 วงจรเซนเซอร์ความเร่ง

สำหรับเซนเซอร์ความเร่งถูกนำมาประยุกต์ใช้วัดค่ามุมเบี่ยงเบนของหุ่นยนต์ โดยในโครงการนี้เลือกใช้เซนเซอร์เบอร์ ADXL330 ซึ่งให้เอาท์พุทเป็นสัญญาณอนาลอก และใช้ไฟเลี้ยง 3.3 โวลต์ มีวงจรตามรูปที่ 3.13

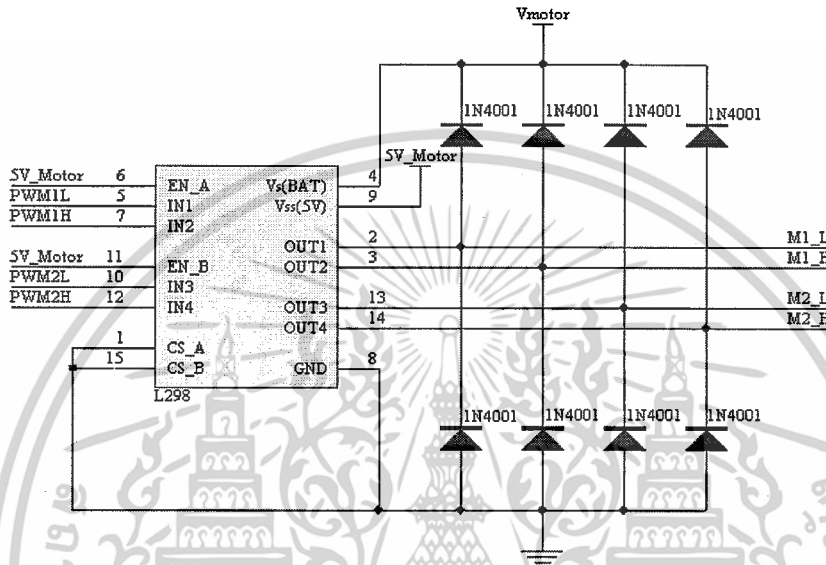


รูปที่ 3.13 วงจรเซนเซอร์ความเร่ง

เอกสารนี้เป็นเอกสารที่สงวนไว้สำหรับการใช้งานเพื่อการศึกษาเท่านั้น ไม่อนุญาตให้นำไปใช้ประโยชน์ด้านการค้า ไม่ว่าจะกรณีใดๆ ทั้งสิ้น อีกทั้งห้ามมิให้ดัดแปลงเนื้อหาและต้องอ้างอิงถึงเจ้าของเอกสารทุกครั้งที่มีการนำไปใช้

3.3.5 วงจรขับมอเตอร์

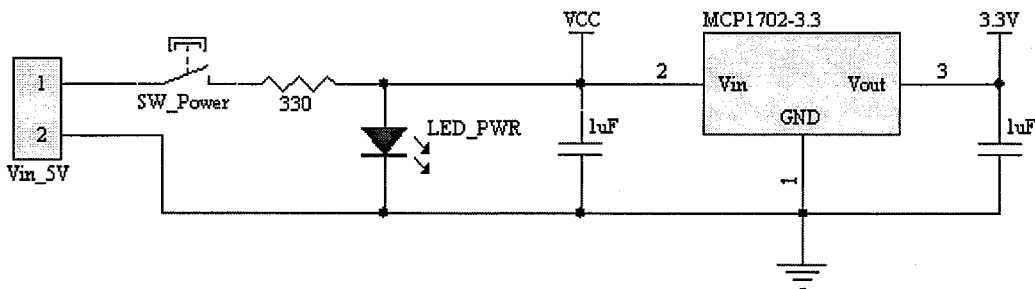
ในโครงการระบบควบคุมหุ่นยนต์อินเวอร์ทเพนดูลัม ต้องควบคุมมอเตอร์ไฟฟ้ากระแสตรงสองตัว และมีพื้นที่สำหรับติดตั้งวงจรจำกัด จึงเลือกวงจรถับมอเตอร์ เป็นไอซีขับมอเตอร์สำเร็จรูปเบอร์ L298N โดยมีวงจรดังรูปที่ 3.14 ซึ่งสามารถขับมอเตอร์ได้ 2 ตัว และจ่ายกระแสได้ 2 แอมแปร์เพียงพอสำหรับการใช้งานในโครงการ



รูปที่ 3.14 วงจรขับมอเตอร์

3.2.6 วงจรจ่ายแรงดัน 3.3 โวลต์

เนื่องจากเซนเซอร์ไจโรสโคป และเซนเซอร์ความเร่งที่ใช้ในโครงการระบบควบคุมอินเวอร์ทเพนดูลัมใช้ไฟเลี้ยง 3.3 โวลต์ จึงต้องมีแหล่งวงจรถ่ายแรงดัน 3.3 โวลต์ ที่แปลงแรงดันจาก 5 โวลต์ เป็น 3.3 โวลต์ โดยในโครงการเลือกใช้ไอซีของบริษัทไมโครชิพ เบอร์ MCP1702-3.3 ซึ่งเป็น ไอซีเรกกูเลเตอร์ 3.3 โวลต์ มีวงจรดังรูปที่ 3.15

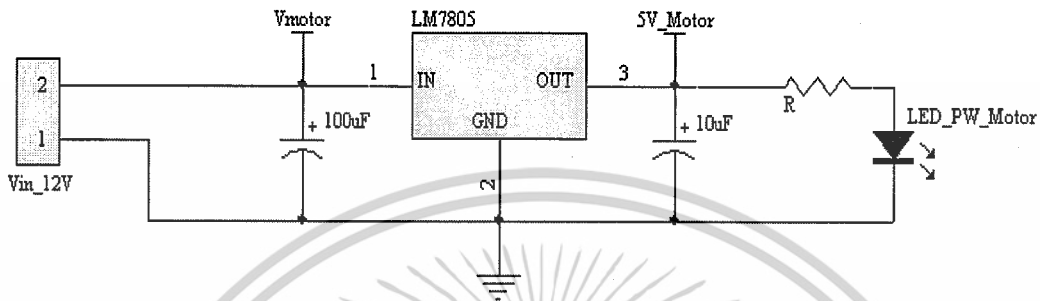


รูปที่ 3.15 วงจรจ่ายแรงดัน 3.3 โวลต์

เอกสารนี้เป็นเอกสารที่สงวนไว้สำหรับการใช้งานเพื่อการศึกษาเท่านั้น เมื่อนุญาตให้นำไปใช้ประโยชน์ด้านการค้าไม่ว่ากรณีใดๆ ทั้งสิ้น อีกทั้งห้ามมิให้ดัดแปลงเนื้อหาและต้องอ้างอิงถึงเจ้าของเอกสารทุกครั้งที่มีการนำไปใช้

3.2.7 วงจรจ่ายแรงดัน 5 โวลต์

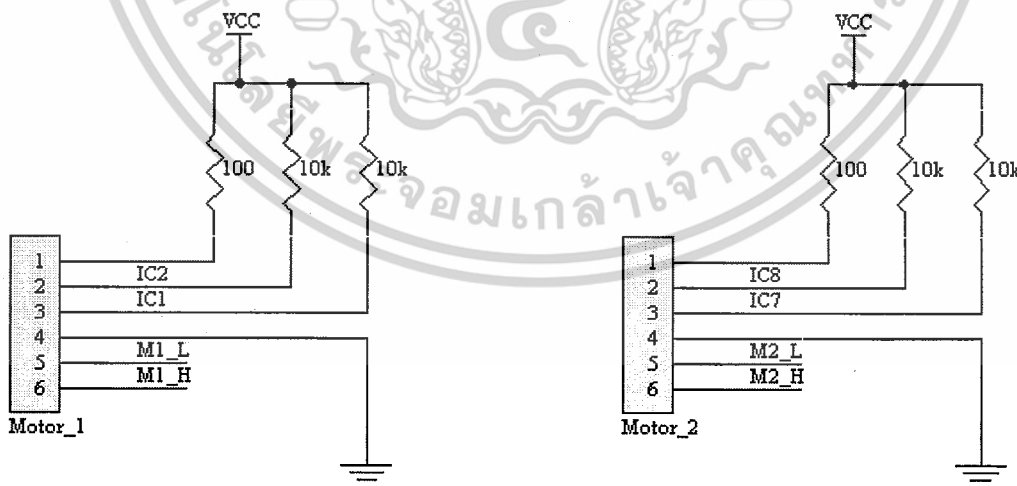
เนื่องจากต้องการแยกไฟเลี้ยงวงขับมอเตอร์ และวงจรไมโครคอนโทรลเลอร์ออกจากกัน ในวงจรขับมอเตอร์ต้องการใช้ไฟเลี้ยง 5 โวลต์ เพื่อเป็นไฟเลี้ยงสำหรับไอซี L298N โดยการแปลงไฟจาก 12 โวลต์ เป็น 5 โวลต์ โดยใช้ไอซีเรกกูเลเตอร์ 5 โวลต์ เบอร์ LM7805 มีวงจรดังรูปที่ 3.16



รูปที่ 3.16 วงจรจ่ายแรงดัน 5 โวลต์

3.2.8 วงจรรับอินพุตจากเอนโคเดอร์มอเตอร์

เอนโคเดอร์ที่ใช้ในโครงการระบบควบคุมอินเวอร์ทเพนดูลัม เป็นเซนเซอร์ออปติคัล ซึ่งขาเอาต์พุตเป็นแบบ Open Collector ต้องต่อตัวต้านทานพูลอัพ (Pullup) เพื่อให้สามารถนำสัญญาณเอาต์พุตไปเข้าไมโครคอนโทรลเลอร์เพื่อใช้นับพัลส์ได้ โดยมีวงจรดังรูปที่ 3.17



รูปที่ 3.17 วงจรรับอินพุตจากเอนโคเดอร์

เอกสารนี้เป็นเอกสารที่สงวนไว้สำหรับการใช้งานเพื่อการศึกษาเท่านั้น ไม่อนุญาตให้นำไปใช้ประโยชน์ด้านการค้า ไม่ว่าจะกรณีใดๆ ทั้งสิ้น อีกทั้งห้ามมิให้ดัดแปลงเนื้อหาและต้องอ้างอิงถึงเจ้าของเอกสารทุกครั้งที่มีการนำไปใช้

3.3 การออกแบบระบบควบคุม

เนื่องจากระบบอินเวอร์ทเพนดูลัมเป็นระบบที่ไม่เป็นเชิงเส้น และไม่มีเสถียรภาพทางพลวัต จึงเป็นปัญหาทางระบบควบคุม ดังนั้นต้องนำทฤษฎีการออกแบบระบบควบคุมของหุ่นยนต์ ที่ได้อธิบายในหัวข้อที่ 2.2 มาใช้ในการจำลองระบบ

สำหรับจุดมุ่งหมายหัวข้อนี้จะแสดงถึงวิธีการควบคุมระบบ ด้วยตัวควบคุมปริภูมิสเตตเชิงเส้น โดยตัวควบคุมจะออกแบบจากแบบจำลองทางพลวัตของหุ่นยนต์อินเวอร์ทเพนดูลัม ในหัวข้อที่ 2.1 ซึ่งในการออกแบบระบบนั้น มีค่าพารามิเตอร์ต่างๆ ที่ต้องใช้ดังตารางที่ 3.1

ตัวพารามิเตอร์	ค่าพารามิเตอร์	หน่วย
ค่าแรงโน้มถ่วง (g)	9.81	เมตร / วินาที ²
รัศมีของล้อ (r)	0.01	เมตร
มวลของฐานหุ่นยนต์ที่ติดล้อ (M_w)	0.175	กิโลกรัม
มวลของก้านเพนดูลัม (M_p)	0.81217	กิโลกรัม
โมเมนต์ความเฉื่อยของล้อ (I_w)	0.0000015312	กิโลกรัม·เมตร ²
โมเมนต์ความเฉื่อยของหุ่นยนต์ (I_p)	0.00000085375	กิโลกรัม·เมตร ²
ระยะระหว่างจุดศูนย์กลางล้อถึงจุดศูนย์กลาง (l)	0.15	เมตร
ค่าคงที่ของแรงบิด (k_m)	0.0134	โวลต์·วินาที / เรเดียน
ค่าคงที่ของแรงดันไฟฟ้าต้านกลับ (k_e)	0.0134	โวลต์·วินาที / เรเดียน
ความต้านทาน (R)	1.9	โอห์ม

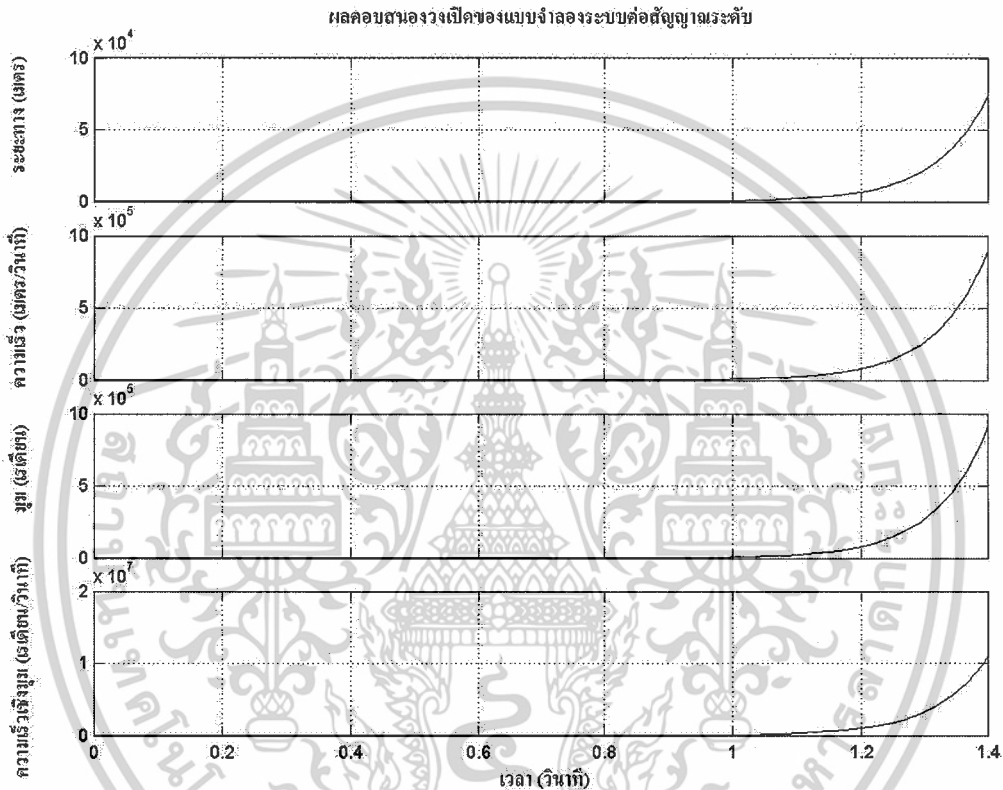
ตารางที่ 3.1 ค่าพารามิเตอร์ของแบบจำลองของหุ่นยนต์อินเวอร์ทเพนดูลัม

เมื่อแทนค่า ในตารางที่ 3.1 ลงในสมการแบบจำลองทางคณิตศาสตร์ในหัวข้อที่ 2.1 จะได้เมตริกซ์ A B และ C ของแบบจำลองหุ่นยนต์อินเวอร์ทเพนดูลัมเพื่อใช้ในการออกแบบระบบควบคุม ดังนี้

$$A = \begin{bmatrix} 0 & 1.0000 & 0 & 0 \\ 0 & -3.3293 & 14.9955 & 0 \\ 0 & 0 & 0 & 1.0000 \\ 0 & -21.0640 & 164.5926 & 0 \end{bmatrix} \quad B = \begin{bmatrix} 0 \\ 2.4903 \\ 0 \\ 15.7559 \end{bmatrix} \quad C = \begin{bmatrix} 1 & 0 & 0 & 0 \\ 0 & 0 & 1 & 0 \end{bmatrix}$$

3.3.1 ปัญหาทางระบบควบคุม

เนื่องจากระบบอินเวอร์ทเพนดูลัมเป็นระบบที่ไม่มีเสถียรภาพ ผลตอบสนองของระบบต่อสัญญาณระดับ ทำให้มุมและตำแหน่งของหุ่นยนต์เปลี่ยนแปลงไปอย่างไม่มีขอบเขต ส่งผลให้หุ่นยนต์ไม่สามารถทรงตัวเพื่อรักษาสมดุลอยู่ได้

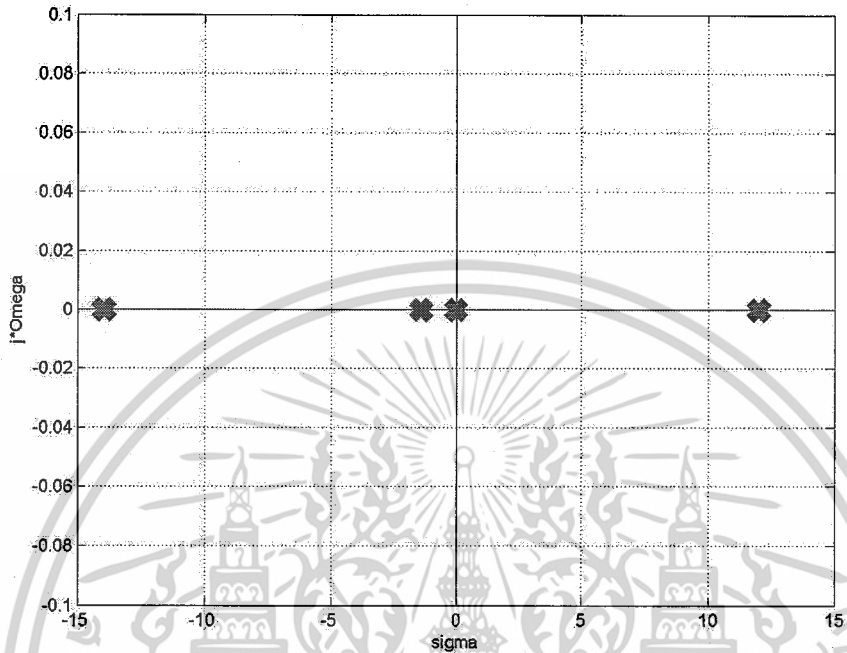


รูปที่ 3.18 ผลตอบสนองวงเปิดของแบบจำลองระบบต่อสัญญาณระดับ

จากแบบจำลองระบบสามารถนำมาหาโพลวงเปิดของระบบได้เป็นดังนี้ $0, -13.9412, -1.3875, 11.9994$ แสดงดังรูปที่ 3.19 ซึ่งจะเห็นว่าระบบไม่มีเสถียรภาพ เนื่องจากมีโพลบางตัว

อยู่ทางขวาของระนาบ เมื่อพิจารณาเมตริกซ์ $Q_c = \begin{bmatrix} 0 & 3 & -16 & 540 \\ 3 & -16 & 540 & -4654 \\ 0 & 22 & -193 & 5043 \\ 22 & -103 & 5043 & 37208 \end{bmatrix}$ จะเห็นว่า

มีลำดับขั้นเต็ม ดังนั้นสามารถออกแบบระบบควบคุมให้สมบูรณ์ต่อไปได้



รูปที่ 3.19 โพลวงเปิดของระบบ

3.3.2 การออกแบบระบบควบคุมด้วยตัวคุมค่ากำลังสองเชิงเส้น

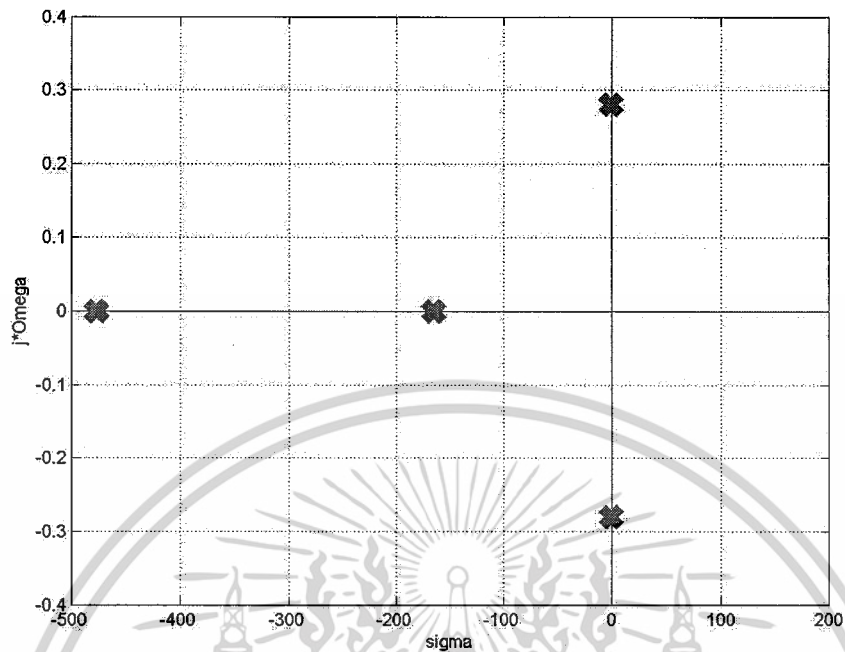
จากทฤษฎีตัวคุมค่ากำลังสองเชิงเส้นซึ่งกล่าวไว้ในหัวข้อที่ 2.2.3 ได้กำหนดค่าในเมตริกซ์ Q และ R ให้มีค่าเป็นนี้

$$Q = \begin{bmatrix} w & 0 & 0 & 0 \\ 0 & x & 0 & 0 \\ 0 & 0 & y & 0 \\ 0 & 0 & 0 & z \end{bmatrix} \quad \begin{array}{l} ; w = 50 \\ ; x = 1 \\ ; y = 25000 \\ ; z = 1 \end{array}$$

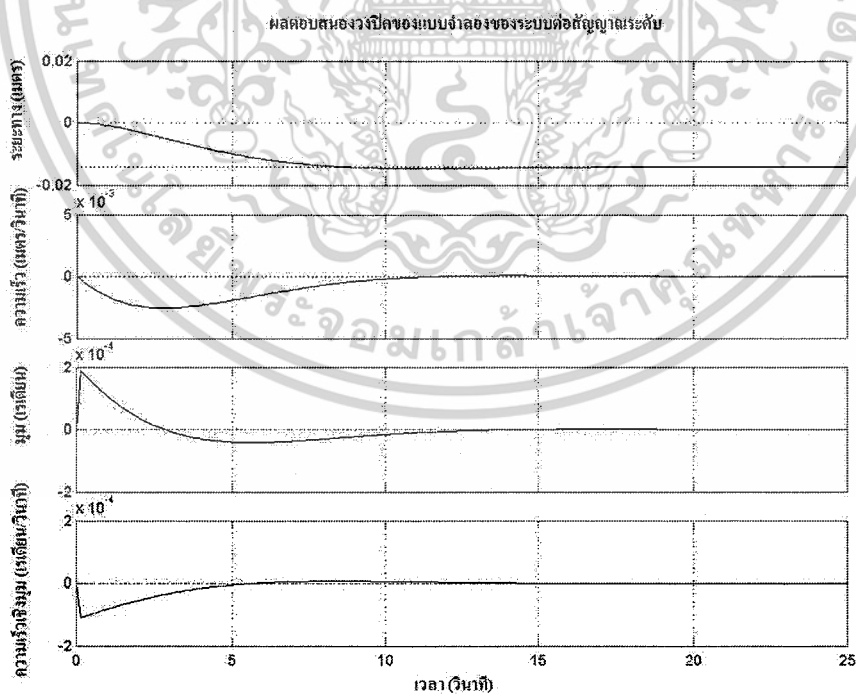
$$R = 0.01$$

เมื่อออกแบบระบบด้วยวิธีตัวคุมค่ากำลังสองเชิงเส้นแล้วจะได้ค่าอัตราขยายที่ใช้ในการควบคุม หุ่นยนต์อินเวอร์ทเพนดูลัมซึ่งมีค่า $-316.2, -517.8, 4578.3, 118$ และจะได้โพลวงปิดของระบบเป็น $-476.98, -165.18, -0.28 + 0.28i, -0.28 - 0.28i$ แสดงดังรูปที่ 3.20 และผลตอบสนองของการจำลองระบบด้วยอัตราขยายนี้ ดังรูปที่ 3.21

เอกสารนี้เป็นเอกสารที่สงวนไว้สำหรับการใช้งานเพื่อการศึกษาเท่านั้น ไม่อนุญาตให้นำไปใช้ประโยชน์ด้านการค้า ไม่ว่ากรณีใดๆ ทั้งสิ้น อีกทั้งห้ามมิให้ตัดแปลงเนื้อหาและต้องอ้างอิงถึงเจ้าของเอกสารทุกครั้งที่มีการนำไปใช้



รูปที่ 3.20 โพลวงปิดของระบบเมื่อออกแบบระบบด้วยตัวคุมค่ากำลังสองเชิงเส้น



รูปที่ 3.21 ผลตอบสนองของระบบต่อสัญญาณระดับ เมื่อออกแบบด้วยตัวคุมค่ากำลังสองเชิงเส้น

เอกสารนี้เป็นเอกสารที่สงวนไว้สำหรับการใช้งานเพื่อการศึกษาเท่านั้น ไม่อนุญาตให้นำไปใช้ประโยชน์ด้านการค้า ไม่ว่าจะกรณีใดๆ ทั้งสิ้น อีกทั้งห้ามมิให้ดัดแปลงเนื้อหาและต้องอ้างอิงถึงเจ้าของเอกสารทุกครั้งที่มีการนำไปใช้

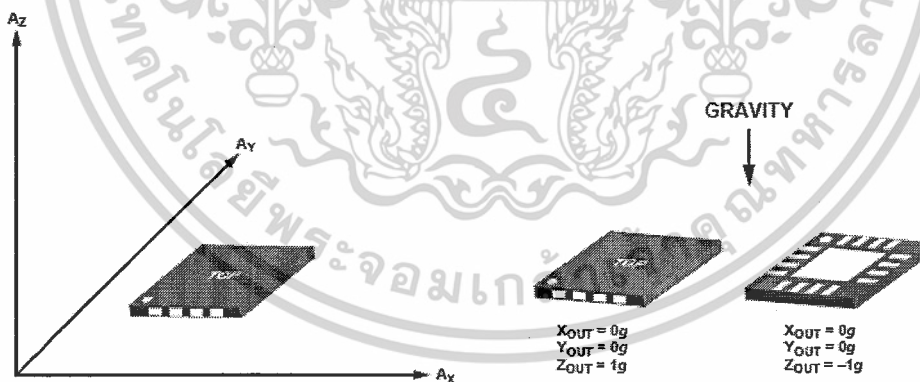
3.4 การออกแบบโปรแกรม

เนื่องจากในโครงการระบบควบคุมหุ่นยนต์อินเวอร์ทเพนดูลัม ใช้ไมโครคอนโทรลเลอร์ dsPIC30F4012 เป็นหน่วยประมวลผลหลัก สามารถพัฒนาโปรแกรมด้วยภาษาซี ได้โดยใช้คอมไพเลอร์ MPLAB C30 ของบริษัทไมโครชิพ โดยการพัฒนาโปรแกรมเพื่อให้ง่ายต่อการพัฒนาได้แยกโปรแกรมออกเป็นส่วนต่างๆ ดังต่อไปนี้

- ส่วนการอ่านค่าจากเซนเซอร์ความเร่งและเซนเซอร์ไจโรสโคป
- ส่วนการประมวลผลเซนเซอร์ร่วมกันด้วยแคลคูลัส
- ส่วนการอ่านค่าจากเอนโคเดอร์
- ส่วนตัวควบคุมสมดุคหุ่นยนต์อินเวอร์ทเพนดูลัม
- ส่วนการควบคุมมอเตอร์
- ส่วนการแสดงผลบนจอแสดงผลแอลซีดี

3.4.1 ส่วนการอ่านค่าจากเซนเซอร์ความเร่งและเซนเซอร์ไจโรสโคป

การอ่านค่าจากเซนเซอร์ความเร่งและเซนเซอร์ไจโรสโคป สามารถทำได้โดยใช้หน่วยแปลงสัญญาณอนาลอกเป็นดิจิตอลบนไมโครคอนโทรลเลอร์ ความละเอียด 10 บิต ซึ่งกำหนดให้ใช้แรงดันอ้างอิงบวก ที่ 3.3 โวลต์ และแรงดันอ้างอิงลบ ที่ 0 โวลต์หรือระดับกราวด์ โดยการอ่านค่าจากเซนเซอร์ทำได้โดย



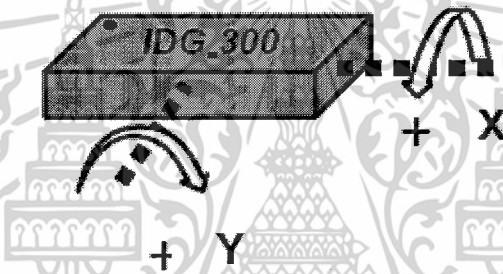
รูปที่ 3.22 ทิศทางแกนของเซนเซอร์ความเร่ง

จากรูปที่ 3.22 เมื่ออ่านค่าของเซนเซอร์ความเร่ง แกน X ที่มีค่าความเร่งเท่ากับ 0 จี สัญญาณเอาต์พุตที่มีค่าเท่ากับ 1.65 โวลต์ เมื่อแปลงค่าโดยใช้หน่วยแปลงสัญญาณอนาลอกเป็นดิจิตอลจะมีค่าเท่ากับ 512 หน่วย และแกน Z มีค่าความเร่งเท่ากับ 1 จี หรือเท่ากับ 1.95 โวลต์ หรือ 605 หน่วยเพื่อให้ง่ายต่อการคำนวณจึงนำค่า 512 หน่วยลบออกจากค่าที่อ่านได้ เพื่อให้ความเร่งที่ 0

ไม่ว่ากรณีใดๆ ทั้งสิ้น อีกทั้งห้ามมิให้ดัดแปลงเนื้อหาและต้องอ้างอิงถึงเจ้าของเอกสารทุกครั้งที่มีการนำไปใช้

จี มีค่าเท่ากับ 0 หน่วย โดยค่าแรงดันจะเปลี่ยนแปลงค่าเป็นบวกหรือลบ ขึ้นกับทิศของความเร่ง ดังนั้นค่าที่แกน X มีค่าเท่ากับหน่วย และ แกน Z มีค่าเท่ากับ -93 หน่วย เมื่อคำนวณด้วยฟังก์ชัน $\text{atan2}(-z, x)$ ซึ่งฟังก์ชัน $\text{atan2}()$ ในไลบรารี `math.h` มาตรฐานของคอมไพเลอร์ภาษาซี ซึ่งให้ค่าออกมาเป็นหน่วยเป็น เรเดียน ตั้งแต่ π ถึง $-\pi$ มุมที่ได้มีค่าเท่ากับ 0 เรเดียน

เซนเซอร์ใจโรสโคปเมื่อไม่มีการหมุน สามารถอ่านค่าแรงดันเอาท์พุท ได้ 1.65 โวลต์ หรือเมื่อใช้หน่วยแปลงสัญญาณอนาล็อกเป็นดิจิทัลอ่านค่าจะมีค่าเท่ากับ 512 หน่วย คุณสมบัติของเซนเซอร์ใจโรสโคปเบอร์ IDG300 มีค่าความแม่นยำ 2 มิลลิโวลต์/องศา/วินาที ค่าที่อ่านได้เป็นค่าความเร็วเชิงมุม เพื่อให้ง่ายกับการใช้งานจึงนำค่า 512 ลบออกจากค่าที่อ่านได้จากหน่วยแปลงสัญญาณอนาล็อกเป็นดิจิทัล โดยเมื่อไม่มีความเร็วเชิงมุม สามารถอ่านค่าได้เท่ากับ 0 หน่วย และจะมีค่าเป็นบวกหรือลบ ตามทิศทางการหมุนของเซนเซอร์ ดังรูปที่ 3.23



รูปที่ 3.23 ทิศทางการหมุนของเซนเซอร์ใจโรสโคป

3.4.2 ส่วนการประมวลผลเซนเซอร์ร่วมกันด้วยแคลแมนฟิลเตอร์

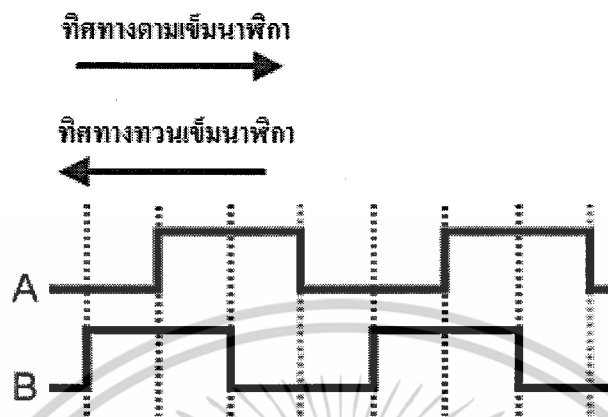
ในส่วนนี้ได้นำค่าของเซนเซอร์ความเร่ง และเซนเซอร์ใจโรสโคปมาประมวลผลร่วมกันด้วยแคลแมนฟิลเตอร์ เพื่อประมาณสเตตล่วงหน้าให้กับระบบด้วยสมการทางคณิตศาสตร์ จากนั้นเมื่อระบบสามารถตรวจวัดและหาค่าสเตตปัจจุบันได้ จึงนำค่าที่ได้จากการประมาณ และค่าสเตตจริงของระบบมาเปรียบเทียบกัน เพื่อคำนวณอัตราขยายของแคลแมนฟิลเตอร์ และนำไปชดเชยให้กับการประมาณสเตตในครั้งต่อไป โดยอัตราขยายของแคลแมนฟิลเตอร์จะแปรผันไปตามค่าแตกต่างของการประมาณ และสเตตจริงของระบบ ทำให้การประมาณสเตตในครั้งต่อไปของระบบสามารถเข้าใกล้สเตตจริงของระบบมากขึ้น และทำให้ระบบมีเสถียรภาพที่ดีขึ้น

3.4.3 ส่วนการอ่านค่าจากเอนโคดเดอร์

เอนโคดเดอร์ในโครงการระบบควบคุมอินเวอร์ทเพนดูลัม เป็นแบบอินคลิเมนต์ที่เอนโคดเดอร์ มีเอาท์พุทเป็นสัญญาณพัลส์สี่เหลี่ยม 2 เฟสคือเฟส A และ เฟส B ต่างกัน 90 องศา

ไม่ว่ากรณีใดๆ ทั้งสิ้น อีกทั้งห้ามมิให้ดัดแปลงเนื้อหาและต้องอ้างอิงถึงเจ้าของเอกสารทุกครั้งที่มีการนำไปใช้

โดยเฟส A นำเฟส B เมื่อมอเตอร์หมุนตามเข็มนาฬิกา และเฟส B นำเฟส A เมื่อมอเตอร์หมุนทวนเข็มนาฬิกา ดังรูปที่ 3.24



รูปที่ 3.24 สัญญาณเอาต์พุตของเอนโคเดอร์

ในโครงงานนี้ใช้หน่วยตรวจจับสัญญาณดิจิทัลของไมโครคอนโทรลเลอร์ในการอ่านค่าพัลส์ของเอนโคเดอร์ โดยต่อเอนโคเดอร์ เฟส A เข้ากับขาของหน่วยตรวจจับสัญญาณดิจิทัล และ เฟส B ต่อกับขาอินพุตดิจิทัลปกติ ด้วยโปรแกรมใช้งานหน่วยตรวจจับสัญญาณดิจิทัลในโหมดอินเตอร์รัปต์ของขาอินพุตของสัญญาณดิจิทัล เมื่อเกิดอินเตอร์รัปต์ขึ้น โปรแกรมจะตรวจสอบอินพุตเฟส B ถ้าเท่ากับ '0' แสดงว่า เฟส A นำ เฟส B แต่ถ้าอินพุตเท่ากับ '1' แสดงว่า เฟส B นำเฟส A และนับค่าพัลส์เก็บไว้เพื่อนำไปคำนวณหาค่าระยะทางจาก

$$x = n \times ppr \quad (3.4.1)$$

โดยที่ x คือระยะทาง n คือจำนวนพัลส์ และ ppr คือจำนวนพัลส์ต่อรอบ เมื่อได้ระยะทางมาแล้ว สามารถหาความเร็วได้จาก

$$\dot{x} = \frac{x - x_{old}}{dt} \quad (3.4.2)$$

โดยที่ \dot{x} คือความเร็ว x_{old} คือระยะทางครั้งที่แล้ว และ dt คือเวลา

3.4.4 ส่วนการควบคุมสมดุลงานหุ่นยนต์อินเวอร์ทเพนดูลัม

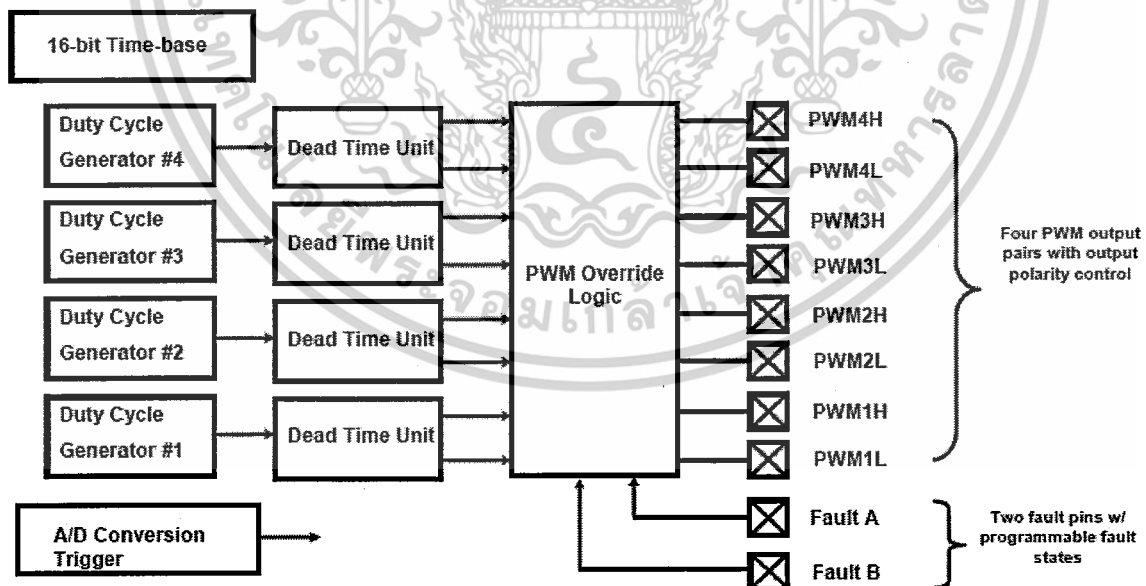
เป็นส่วนที่ประมวลผลหาสัญญาณพัลส์วิทมอดูเลชันที่ใช้กับมอเตอร์ เพื่อรักษาสมดุของหุ่นยนต์อินเวอร์ทเพนดูลัม โดยการนำค่าอินพุตคือ ระยะทาง x ความเร็ว \dot{x} มุม θ ความเร็วเชิงมุม $\dot{\theta}$ มาคูณกับค่าอัตราขยาย K_x $K_{\dot{x}}$ K_{θ} และ $K_{\dot{\theta}}$ ดังนี้

$$command = (K_x * x) + (K_{\dot{x}} * \dot{x}) + (K_{\theta} * \theta) + (K_{\dot{\theta}} * \dot{\theta}) \quad (3.4.3)$$

โดยอินพุต (*Command*) คือค่าความกว้างพัลส์ของสัญญาณพัลส์วิทมอดูเลชัน สำหรับควบคุมความเร็วมอเตอร์ มีค่าทั้งเป็นค่าบวกและเป็นค่าลบ ซึ่งหมายถึงทิศทางการหมุนของมอเตอร์

3.4.5 ส่วนการควบคุมมอเตอร์

การควบคุมมอเตอร์ใน โครงงานนี้ใช้หน่วยกำเนิดสัญญาณพัลส์วิทมอดูเลชันบนไมโครคอนโทรลเลอร์ ดังรูปที่ 3.25 โดยใช้หน่วยสร้างสัญญาณพัลส์วิทมอดูเลชันจำนวนสองชุดสำหรับควบคุมมอเตอร์ 2 ตัว คือ PWM1 และ PWM2 โดยโปรแกรมให้สร้างสัญญาณพัลส์วิทมอดูเลชันความถี่ 20 กิโลเฮิรท์ซ และควบคุมช่องสัญญาณออกของสัญญาณพัลส์วิทมอดูเลชัน ช่อง PWMxL และ PWMxH เพื่อควบคุมทิศทางการหมุนของมอเตอร์

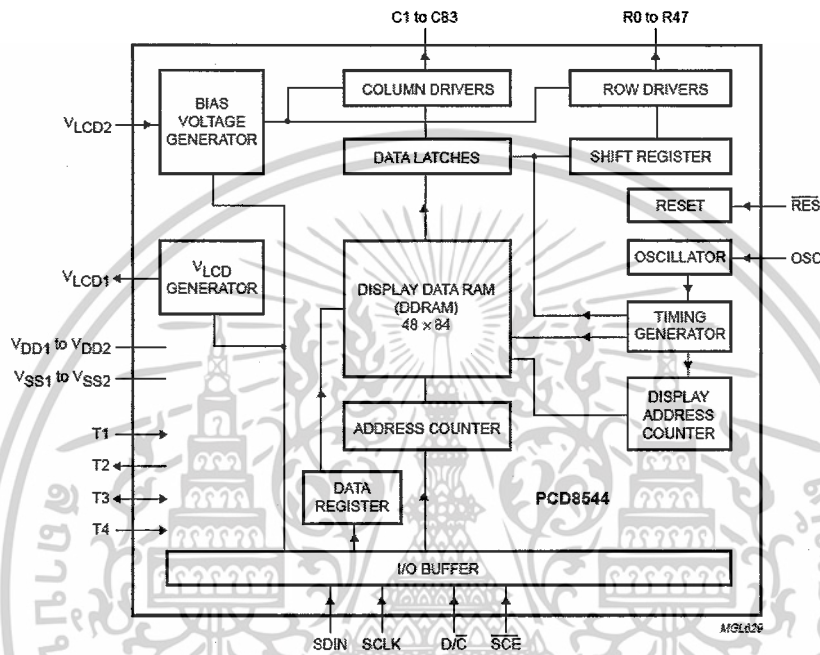


รูปที่ 3.25 แผนผังหน่วยกำเนิดสัญญาณพัลส์วิทมอดูเลชัน

เอกสารนี้เป็นเอกสารที่สงวนไว้สำหรับการใช้งานเพื่อการศึกษาเท่านั้น ไม่อนุญาตให้นำไปใช้ประโยชน์ด้านการค้า ไม่ว่ากรณีใดๆ ทั้งสิ้น อีกทั้งห้ามมิให้ดัดแปลงเนื้อหาและต้องอ้างอิงถึงเจ้าของเอกสารทุกครั้งที่มีการนำไปใช้

3.4.6 ส่วนการแสดงผลบนจอแสดงผลแอลซีดี

ในโครงการนี้ต้องการแสดงผลค่าเอาต์พุตต่างๆ เพื่อความง่ายในการวิเคราะห์การทำงาน จึงทำให้มีการนำเอาจอแอลซีดีแบบกราฟฟิกมาใช้แสดงผล เนื่องจากว่าสามารถแสดงผลได้ครบถ้วน โดยจอแอลซีดีที่นำมาใช้ในโครงการนี้เป็นจอแอลซีดีของมือถือ โดยใช้ ไอซีควบคุมเบอร์ PCD8544 ดังรูปที่ 3.26 ของบริษัทฟิลิปส์ มีการติดต่อแบบ SPI



รูปที่ 3.26 แผนผังภายในของไอซี PCD8544

ซึ่งจาก โปรแกรมส่วนต่างๆ สามารถนำมารวมกันเป็นโปรแกรมควบคุมสมดุค อินเวิร์ทเพนดูลัมโดยการทำงานของโปรแกรมแสดงดังรูปที่ 5.5 เริ่มต้นการทำงานโปรแกรมจะตั้งค่าหน่วยการทำงานต่างๆ จากนั้นเข้าสู่รอบการทำงาน โดยใช้ไทเมอร์เป็นตัวกำหนดเวลาของรอบการประมวลผล โดยกำหนดไทเมอร์ทำงานในโหมดอินเตอร์รัปส์ให้อินเตอร์รัปส์ทุกๆ 10 มิลลิวินาที โดยเริ่มการประมวลผลจากไมโครคอนโทรลเลอร์อ่านค่าอัตราเร็วเชิงมุมจากเซนเซอร์ ใจโรสโคป และมุมเบี่ยงเบนจากจุดสมดุคจากเซนเซอร์ความเร่ง จากนั้นนำค่าจากเซนเซอร์ทั้งสองมาประมวลผลร่วมกันด้วยแคลคูลัสเพื่อหาค่ามุมเบี่ยงเบนที่ใกล้เคียงมุมเบี่ยงเบนจริง หลังจากนั้นอ่านค่าแอนโคเดอร์ เพื่อนำมาคำนวณหาค่าระยะทางและความเร็ว แล้วจึงนำค่าทั้งหมดที่ได้มาประมวลผล โดยคูณกับค่าอัตราขยาย เพื่อหาค่าความเร็วมอเตอร์ สำหรับควบคุมสมดุคของหุ่นยนต์อินเวิร์ทเพนดูลัม โดยการสร้างสัญญาณพัลส์วืทมอดูเลชันที่มีขนาดความกว้างพัลส์ตามที่คำนวณได้จากส่วนของการควบคุมแล้วส่งไปยังวงจรถับมอเตอร์ และแสดงค่าผลต่างๆบนจอ

เอกสารนี้เป็นเอกสารที่สงวนไว้สำหรับการใช้งานเพื่อการศึกษาเท่านั้น ไม่อนุญาตให้นำไปใช้ประโยชน์ด้านการค้า ไม่ว่ากรณีใดๆ ทั้งสิ้น อีกทั้งห้ามมิให้ดัดแปลงเนื้อหาและต้องอ้างอิงถึงเจ้าของเอกสารทุกครั้งที่มีการนำไปใช้

แอลซีดี เมื่อเสร็จสิ้นกระบวนการทั้งหมดแล้วจึงกลับไปเริ่มต้นรอบการทำงานใหม่อีกครั้ง โดยมีแผนผังการทำงานดังรูปที่ 3.27



รูปที่ 3.27 แผนผังการทำงานของโปรแกรม

เอกสารนี้เป็นเอกสารที่สงวนไว้สำหรับการใช้งานเพื่อการศึกษาเท่านั้น ไม่อนุญาตให้นำไปใช้ประโยชน์ด้านการค้า ไม่ว่ากรณีใดๆ ทั้งสิ้น อีกทั้งห้ามมิให้ดัดแปลงเนื้อหาและต้องอ้างอิงถึงเจ้าของเอกสารทุกครั้งที่มีการนำไปใช้

บทที่ 4

การทดลองและผลการทดลอง

ในบทนี้นำเสนอการทดลองของโครงการระบบควบคุมอินเวอร์ทเพนดูลัม ซึ่งแบ่งออกเป็น การทดลองหาค่าศูนย์ของเซนเซอร์ การทดลองหาโมเมนต์ความเฉื่อย และการทดลองควบคุม หุ่นยนต์อินเวอร์ทเพนดูลัม โดยในการทดลองใช้คาบการชักตัวอย่าง 10 มิลลิวินาที และเลือกใช้ค่า S_w และ S_v ของแคลแมนฟิลเตอร์เป็น $S_w = [0.00001 \quad 0.0003]$ และ $S_v = 0.69$ ในทุกๆ ตัวอย่างการทดลอง

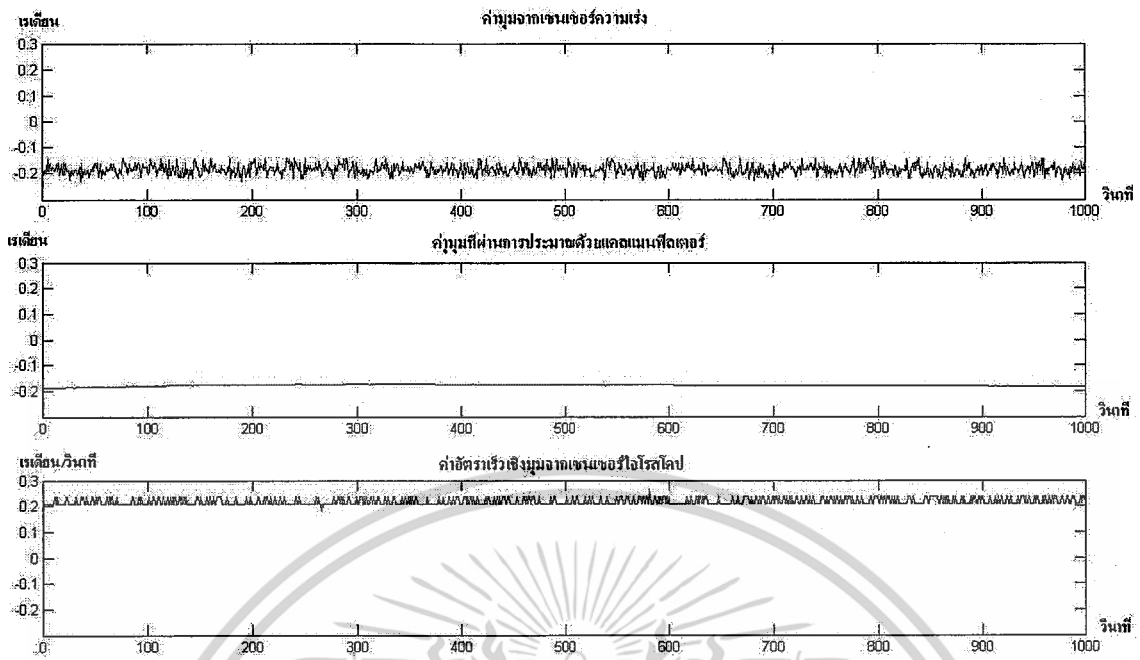
4.1 การทดลองหาค่าศูนย์ของเซนเซอร์

เนื่องจากการทดลองควบคุมสมดุลของหุ่นยนต์อินเวอร์ทเพนดูลัม พบว่าขณะที่หุ่นยนต์ ตั้งตรง และยังไม่มีการเคลื่อนที่เซนเซอร์ใจ โรสโคป และเซนเซอร์ความเร่ง มีการแกว่งของค่าวัด และค่าวัดไม่เข้าสู่ศูนย์ ซึ่งเมื่อนำมาทดลอง จึงทำให้เกิดความผิดพลาด หุ่นยนต์อินเวอร์ทเพนดูลัม ไม่สามารถทรงตัวได้ดีเท่าที่ควร ดังนั้นต้องทำการทดลองหาค่าศูนย์ของเซนเซอร์ เพื่อหาค่าชดเชย ความผิดพลาดจากการวัดของเซนเซอร์ โดยทดลองเก็บค่าจากเซนเซอร์ทั้งสอง 5 ครั้งดังตารางที่ 4.1 เพื่อนำมาเขียนกราฟ และหาค่าเฉลี่ยด้วยโปรแกรม MATLAB โดยได้ค่าของตัวชดเชยของเซนเซอร์ จากการเฉลี่ยทั้ง 5 ครั้ง เท่ากับ -0.1854 และ 0.2145 กับสำหรับเซนเซอร์ความเร่ง และเซนเซอร์ ใจโรสโคป ตามลำดับ ซึ่งค่าที่ได้จะถูกนำมาบวก ลบกับค่าวัดทำให้ค่าวัดถูกต้องยิ่งขึ้น ตัวอย่างก่อน และหลังการปรับปรังแสดงดังรูปที่ 4.1 และ 4.2

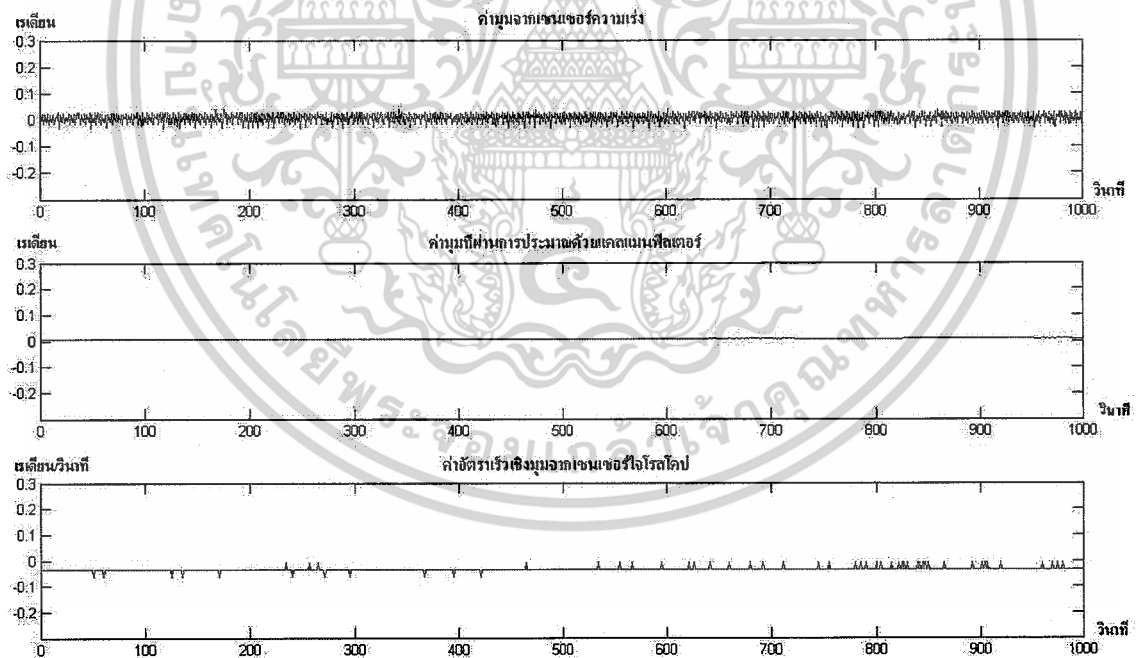
ครั้งที่	เซนเซอร์ใจโรสโคป (rad/s)	เซนเซอร์ความเร่ง (rad)	มุมจากการประมาณ ด้วยแคลแมนฟิลเตอร์ (rad)
1	0.2181	-0.1846	-0.1789
2	0.2178	-0.1859	-0.1822
3	0.2192	-0.1871	-0.1815
4	0.2127	-0.1846	-0.1814
5	0.2049	-0.1847	-0.1851
เฉลี่ย	0.2145	-0.1854	0.1818

ตารางที่ 4.1 ตัวอย่างผลการเก็บค่าวัดจากเซนเซอร์

เอกสารนี้เป็นเอกสารที่สงวนไว้สำหรับการใช้งานเพื่อการศึกษาเท่านั้น ไม่อนุญาตให้นำไปใช้ประโยชน์ด้านการค้า ไม่ว่ากรณีใดๆ ทั้งสิ้น อีกทั้งห้ามมิให้ตัดแปลงเนื้อหาและต้องอ้างอิงถึงเจ้าของเอกสารทุกครั้งที่มีการนำไปใช้



รูปที่ 4.1 ค่าวัดของเซนเซอร์ก่อนการชดเชย

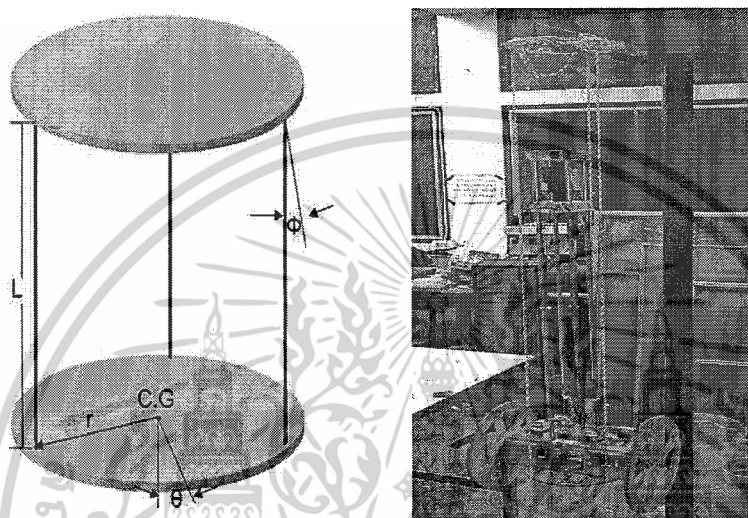


รูปที่ 4.2 ค่าวัดของเซนเซอร์หลังการชดเชย

เอกสารนี้เป็นเอกสารที่สงวนไว้สำหรับการใช้งานเพื่อการศึกษาเท่านั้น ไม่อนุญาตให้นำไปใช้ประโยชน์ด้านการค้า
ไม่ว่ากรณีใดๆ ทั้งสิ้น อีกทั้งห้ามมิให้ดัดแปลงเนื้อหาและต้องอ้างอิงถึงเจ้าของเอกสารทุกครั้งที่มีการนำไปใช้

4.2 การทดลองเพื่อหาโมเมนต์ความเฉื่อย

ในการออกแบบเพื่อหาตัวควบคุมให้กับหุ่นยนต์อินเวอร์ทเพนดูลัม มีค่าพารามิเตอร์ที่ต้องแทนด้วยค่าคงที่ ซึ่งส่วนมากได้จากการวัด แต่สำหรับค่าโมเมนต์ความเฉื่อยเป็นค่าคงที่ที่ไม่สามารถวัดได้โดยตรง จึงต้องทดลองหาค่าโมเมนต์ความเฉื่อย โดยการสร้างอุปกรณ์ที่เรียกว่า ทรีสตริงทอร์ชันแนลเพนดูลัม (Three-string torsional pendulum)



รูปที่ 4.3 แบบจำลองของฐานและตัวอย่างการทดลอง

กำหนดให้

- m_{sc} คือ มวลของหุ่นยนต์อินเวอร์ทเพนดูลัม
- m_p คือ มวลของแผ่นอุปกรณ์ทดลอง
- I_{sc} คือ โมเมนต์ความเฉื่อยของหุ่นยนต์อินเวอร์ทเพนดูลัม
- I_p คือ โมเมนต์ความเฉื่อยของแผ่นอุปกรณ์ทดลอง
- r คือ ระยะระหว่างจุดศูนย์กลางมวลแผ่นอุปกรณ์ทดลองไปยังเชือก
- θ คือ มุมของการเคลื่อนที่แผ่นอุปกรณ์ทดลอง
- l คือ ความยาวเชือก
- ϕ คือ มุมเชือกที่เคลื่อนที่
- τ คือ ในการแกว่ง

จากสมการการหาโมเมนต์ความเฉื่อย

$$\sum M_z = -r(m_{sc} + m_p)g \sin \phi = (I_{sc} + I_p)\ddot{\theta} \quad (4.2.1)$$

เมื่อกำหนดให้มุมเชือกมีค่าน้อยเพื่อให้เป็นเชิงเส้น

$$\phi = \frac{r}{l}\theta \quad (4.2.2)$$

แทนค่า (4.2.2) ลงใน (4.2.1) จะได้

$$\ddot{\theta} + \frac{(m_o + m_p)gr^2}{(I_o + I_p)l}\theta = 0 \quad (4.2.3)$$

จะได้ความสัมพันธ์ของ โมเมนต์ความเฉื่อย และคาบการแกว่งในสมการ

$$I_{sc} + I_p = \frac{(m_o + m_p)r^2 g}{l} \left(\frac{\tau}{2\pi}\right)^2 \quad (4.2.4)$$

ในการทดลองหาค่าโมเมนต์ความเฉื่อยของหุ่นยนต์นั้น ทำโดยนำหุ่นยนต์ไปตั้งบนฐานที่แขวนด้วยเชือกยาว 92 เซนติเมตรดังรูปที่ 4.3 และออกแรงผลักเพื่อให้เกิดการแกว่งพร้อมทั้งจับเวลา เพื่อหาคาบการแกว่ง โดยให้มุม ϕ มีค่าน้อยๆ โดยทดลองทั้งหมด 5 ครั้ง ได้ผลดังตารางที่ 4.2 จากนั้นคำนวณตามสมการที่ (4.2.4) จะได้ค่า โมเมนต์ความเฉื่อยตามต้องการคือ $0.00000085375 \text{ kg}\cdot\text{m}^2$

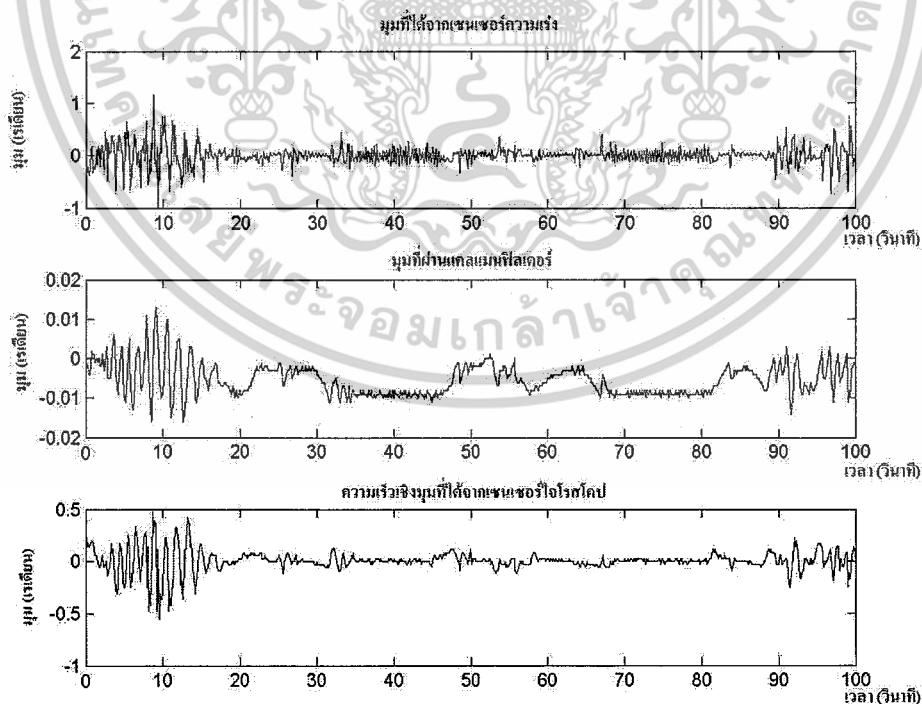
ครั้งที่	คาบการแกว่ง (ครั้ง / นาที)
1	31
2	30
3	28
4	31
5	31
เฉลี่ย	30.2

ตารางที่ 4.2 ผลการทดลองหาโมเมนต์ความเฉื่อย

เอกสารนี้เป็นเอกสารที่สงวนไว้สำหรับการใช้งานเพื่อการศึกษาเท่านั้น ไม่อนุญาตให้นำไปใช้ประโยชน์ด้านการค้าไม่ว่ากรณีใดๆ ทั้งสิ้น อีกทั้งห้ามมิให้ตัดแปลงเนื้อหาและต้องอ้างอิงถึงเจ้าของเอกสารทุกครั้งที่มีการนำไปใช้

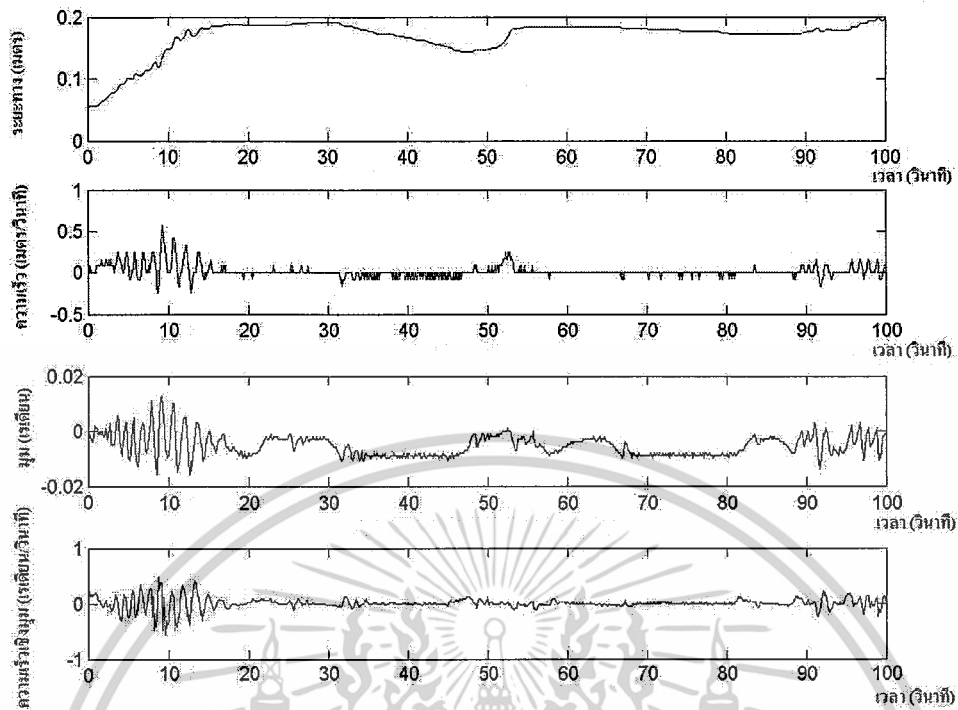
4.3 การทดลองควบคุมระบบหุ่นยนต์อินเวอร์ทเพนดูลัม

ในการทดลองหาผลตอบสนอง ได้ทดลองอ่านค่าจากเซนเซอร์ทั้งสองตัว คือ เซนเซอร์ไจโรสโคป และเซนเซอร์ความเร่ง โดยนำค่ามุมที่อ่านได้มาเปรียบเทียบกับค่ามุมที่ผ่านแคลแมนฟิลเตอร์ ซึ่งจะเห็นว่าค่ามุมที่ผ่านแคลแมนฟิลเตอร์จะมีความนิ่ง และเกิดการสั่นของสัญญาณที่น้อยกว่า ค่ามุมที่อ่านจากเซนเซอร์ความเร่ง ดังรูปที่ 4.4 ดังนั้นในการพิจารณาผลตอบสนองของระบบ จะนำค่ามุมที่ผ่านจากแคลแมนฟิลเตอร์ มาพิจารณา และในการทดลองหาผลตอบสนองของระบบจากการออกแบบด้วยตัวควบคุมแบบตัวคุมค่ากำลังสองเชิงเส้น พบว่าหลังจากนำค่าอัตราขยายจากการออกแบบในหัวข้อที่ 2.2.3 มาโปรแกรมให้กับหุ่นยนต์อินเวอร์ทเพนดูลัม หุ่นยนต์ไม่สามารถทรงตัวอยู่ได้ จึงทดลองปรับแต่งค่าอัตราขยายใหม่ เพื่อให้หุ่นยนต์สามารถทรงตัวอยู่ได้ พบว่าค่าอัตราขยายที่ทำให้หุ่นยนต์สามารถทรงตัวอยู่ได้นั้น ต่างไปจากค่าที่คำนวณได้จากโปรแกรม MATLAB ซึ่งเป็นผลมาจากค่าความผิดพลาดของเซนเซอร์ และแบบจำลองทางคณิตศาสตร์ของระบบ แต่ค่าอัตราขยายก็ยังมีแนวโน้มไปในทางเดียวกัน คือ ค่าอัตราขยายของค่ามุม จะมีค่ามากที่สุด ซึ่งเป็นไปตามหลักของการออกแบบ โดยค่าอัตราขยายนั้นคือ $K = [31, -51, 4578, 11]$ เพื่อเปรียบเทียบค่าอัตราขยายที่ได้จากการปรับแต่ง กับค่าอัตราขยายที่คำนวณได้จากโปรแกรม MATLAB มาป้อนให้กับระบบเพื่อหาผลตอบสนองของระบบด้วยโปรแกรม MATLAB จึงได้ผลตอบสนองดังรูปที่ 4.6 และผลตอบสนองของสเตทจริงจากระบบดังรูปที่ 4.5



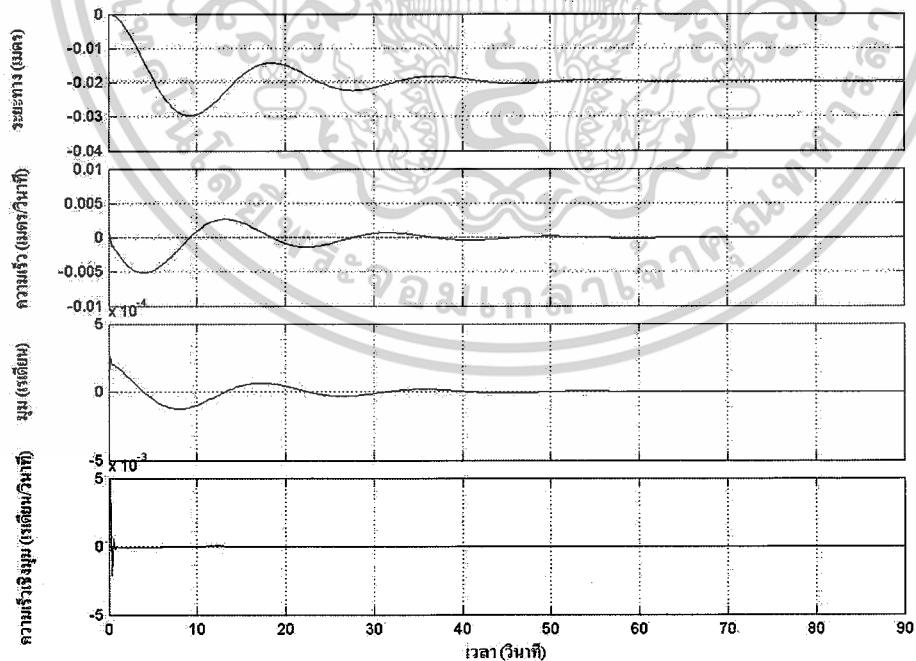
รูปที่ 4.4 ค่าวัดจากเซนเซอร์ของหุ่นยนต์

เอกสารนี้เป็นเอกสารที่สงวนไว้สำหรับการใช้งานเพื่อการศึกษาเท่านั้น ไม่อนุญาตให้นำไปใช้ประโยชน์ด้านการค้า ไม่ว่ากรณีใดๆ ทั้งสิ้น อีกทั้งห้ามมิให้ดัดแปลงเนื้อหาและต้องอ้างอิงถึงเจ้าของเอกสารทุกครั้งที่มีการนำไปใช้



รูปที่ 4.5 ผลตอบสนองของตัวแปรสเตทจากหุ่นยนต์

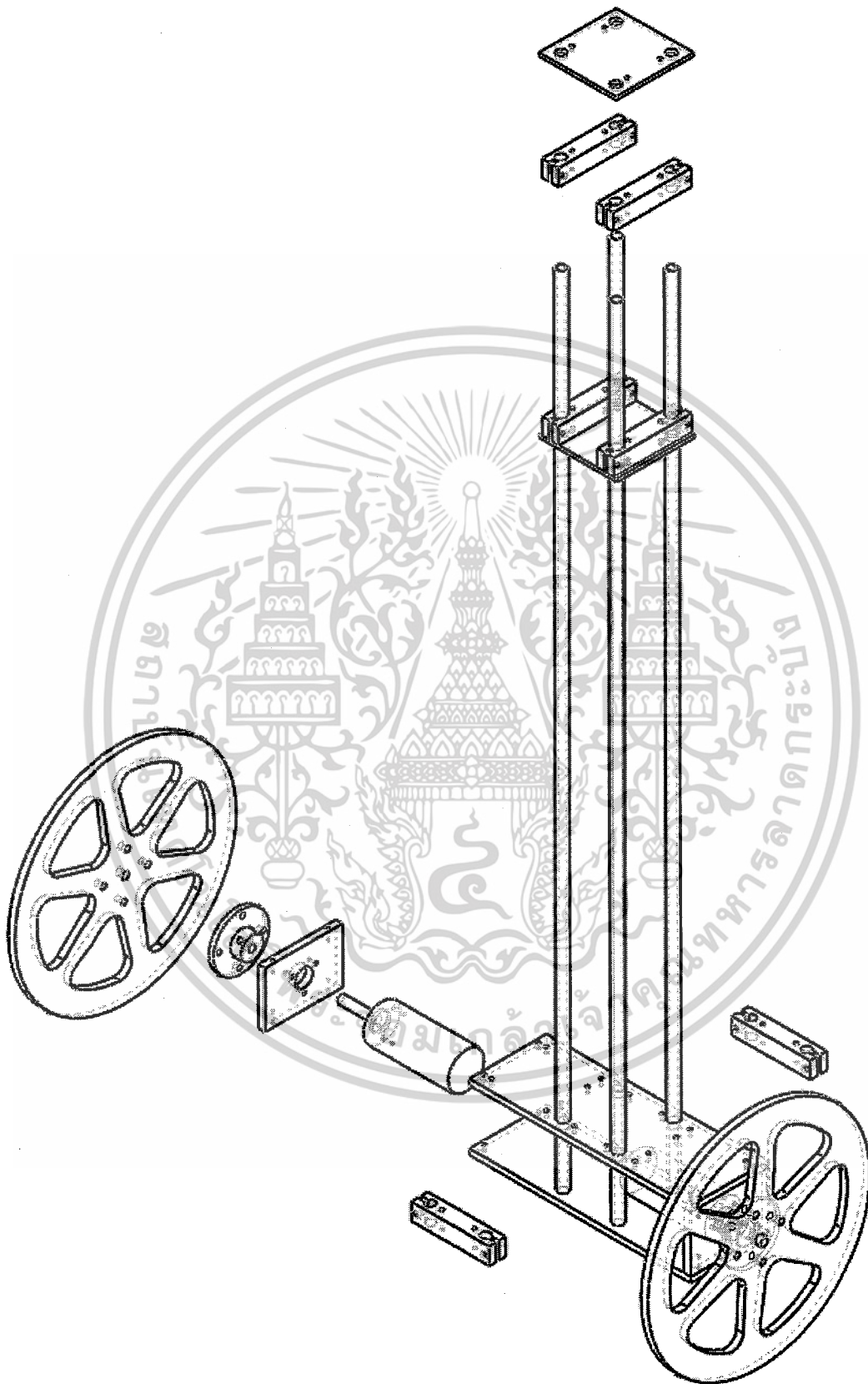
ผลตอบสนองของระบบต่อสัญญาณระดับ



รูปที่ 4.6 ผลตอบสนองของตัวแปรสเตทจากโปรแกรม MATLAB

เอกสารนี้เป็นเอกสารที่สงวนไว้สำหรับการใช้งานเพื่อการศึกษาเท่านั้น ไม่อนุญาตให้นำไปใช้ประโยชน์ด้านการค้า
ไม่ว่ากรณีใดๆ ทั้งสิ้น อีกทั้งห้ามมิให้ดัดแปลงเนื้อหาและต้องอ้างอิงถึงเจ้าของเอกสารทุกครั้งที่มีการนำไปใช้

ก.8 การประกอบชิ้นส่วนต่างๆ



รูปที่ ก.8 การประกอบชิ้นส่วนต่างๆ

เอกสารนี้เป็นเอกสารที่สงวนไว้สำหรับการใช้งานเพื่อการศึกษาเท่านั้น ไม่อนุญาตให้นำไปใช้ประโยชน์ด้านการค้า
ไม่ว่ากรณีใดๆ ทั้งสิ้น อีกทั้งห้ามมิให้ดัดแปลงเนื้อหาและต้องอ้างอิงถึงเจ้าของเอกสารทุกครั้งที่มีการนำไปใช้

ภาคผนวก ข

เอกสารคู่มืออุปกรณ์อิเล็กทรอนิกส์

ข.1 เอกสารคู่มือการใช้งาน dsPIC30F4012

ไอซี dsPIC30F4012 เป็น ไอซีไมโครคอนโทรลเลอร์ มีรายละเอียดต่างๆดังนี้



dsPIC30F4011/4012

dsPIC30F4011/4012 Enhanced Flash
16-Bit Digital Signal Controller

Note: This data sheet summarizes features of this group of dsPIC30F devices and is not intended to be a complete reference source. For more information on the CPU, peripherals, register descriptions and general device functionality, refer to the "dsPIC30F Family Reference Manual" (DS70046). For more information on the device instruction set and programming, refer to the "dsPIC30F/33F Programmer's Reference Manual" (DS70157).

High-Performance, Modified RISC CPU:

- Modified Harvard architecture
- C compiler optimized instruction set architecture with flexible addressing modes
- 83 base instructions
- 24-bit wide instructions, 16-bit wide data path
- 48 Kbytes on-chip Flash program space (16K instruction words)
- 2 Kbytes of on-chip data RAM
- 1 Kbyte of nonvolatile data EEPROM
- Up to 30 MIPS operation:
 - DC to 40 MHz external clock input
 - 4 MHz-10 MHz oscillator input with PLL active (4x, 8x, 16x)
- 30 interrupt sources:
 - 3 external interrupt sources
 - 8 user-selectable priority levels for each interrupt source
 - 4 processor trap sources
- 16 x 16-bit working register array

DSP Engine Features:

- Dual data fetch
- Accumulator write-back for DSP operations
- Modulo and Bit-Reversed Addressing modes
- Two, 40-bit wide accumulators with optional saturation logic
- 17-bit x 17-bit single-cycle hardware fractional/integer multiplier
- All DSP instructions are single cycle
- ± 16 -bit, single-cycle shift

Peripheral Features:

- High-current sink/source I/O pins: 25 mA/25 mA
- Timer module with programmable prescaler:
 - Five 16-bit timers/counters; optionally pair 16-bit timers into 32-bit timer modules
- 16-bit Capture input functions
- 16-bit Compare/PWM output functions
- 3-wire SPI modules (supports 4 Frame modes)
- I²C™ module supports Multi-Master/Slave mode and 7-bit/10-bit addressing
- 2 UART modules with FIFO Buffers
- 1 CAN module, 2.0B compliant

Motor Control PWM Module Features:

- 6 PWM output channels:
 - Complementary or Independent Output modes
 - Edge and Center-Aligned modes
- 3 duty cycle generators
- Dedicated time base
- Programmable output polarity
- Dead-time control for Complementary mode
- Manual output control
- Trigger for A/D conversions

Quadrature Encoder Interface Module Features:

- Phase A, Phase B and Index Pulse input
- 16-bit up/down position counter
- Count direction status
- Position Measurement (x2 and x4) mode
- Programmable digital noise filters on inputs
- Alternate 16-Bit Timer/Counter mode
- Interrupt on position counter rollover/underflow

เอกสารนี้เป็นเอกสารที่สงวนไว้สำหรับการใช้งานเพื่อการศึกษาเท่านั้น ไม่อนุญาตให้นำไปใช้ประโยชน์ด้านการค้า
ไม่ว่ากรณีใดๆ ทั้งสิ้น อีกทั้งห้ามมิให้ดัดแปลงเนื้อหาและต้องอ้างอิงถึงเจ้าของเอกสารทุกครั้งที่มีการนำไปใช้

dsPIC30F4011/4012

Analog Features:

- 10-Bit Analog-to-Digital Converter (A/D) with 4 S/H inputs:
 - 1 Msp/s conversion rate
 - 9 input channels
 - Conversion available during Sleep and Idle
- Programmable Brown-out Reset

Special Digital Signal Controller Features:

- Enhanced Flash program memory:
 - 10,000 erase/write cycle (min.) for industrial temperature range, 100K (typical)
- Data EEPROM memory:
 - 100,000 erase/write cycle (min.) for industrial temperature range, 1M (typical)
- Self-reprogrammable under software control
- Power-on Reset (POR), Power-up Timer (PWRT) and Oscillator Start-up Timer (OST)

Special Digital Signal Controller Features (Cont.):

- Flexible Watchdog Timer (WDT) with on-chip, low-power RC oscillator for reliable operation
- Fail-Safe Clock Monitor operation detects clock failure and switches to on-chip, low-power RC oscillator
- Programmable code protection
- In-Circuit Serial Programming™ (ICSP™)
- Selectable Power Management modes:
 - Sleep, Idle and Alternate Clock modes

CMOS Technology:

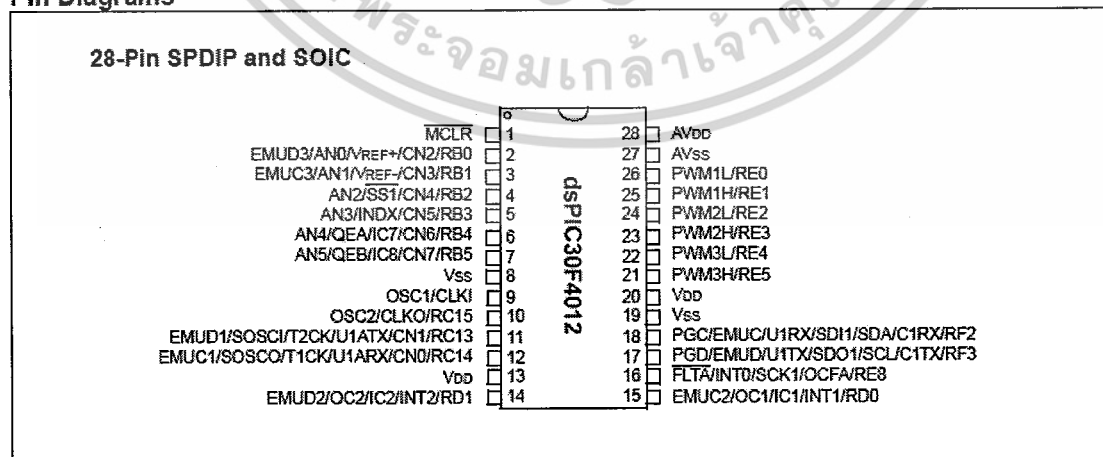
- Low-power, high-speed Flash technology
- Wide operating voltage range (2.5V to 5.5V)
- Industrial and Extended temperature ranges
- Low-power consumption

dsPIC30F Motor Control and Power Conversion Family*

Device	Pins	Program Mem. Bytes/Instructions	SRAM Bytes	EEPROM Bytes	Timer 16-bit	Input Cap	Output Comp/Std PWM	Motor Control PWM	10-Bit A/D 1 Msp/s	Quad Enc	UART	SPI	IC™	CAN
dsPIC30F2010	28	12K/4K	512	1024	3	4	2	6 ch	6 ch	Yes	1	1	1	-
dsPIC30F3010	28	24K/8K	1024	1024	5	4	2	6 ch	6 ch	Yes	1	1	1	-
dsPIC30F4012	28	48K/16K	2048	1024	5	4	2	6 ch	6 ch	Yes	1	1	1	1
dsPIC30F3011	40/44	24K/8K	1024	1024	5	4	4	6 ch	9 ch	Yes	2	1	1	-
dsPIC30F4011	40/44	48K/16K	2048	1024	5	4	4	6 ch	9 ch	Yes	2	1	1	1
dsPIC30F5015	64	66K/22K	2048	1024	5	4	4	8 ch	16 ch	Yes	1	2	1	1
dsPIC30F6010	80	144K/48K	8192	4096	5	8	8	8 ch	16 ch	Yes	2	2	1	2

* This table provides a summary of the dsPIC30F6010 peripheral features. Other available devices in the dsPIC30F Motor Control and Power Conversion Family are shown for feature comparison.

Pin Diagrams



เอกสารนี้เป็นเอกสารที่สงวนไว้สำหรับการใช้งานเพื่อการศึกษาเท่านั้น ไม่อนุญาตให้นำไปใช้ประโยชน์ด้านการค้า
ไม่ว่ากรณีใดๆ ทั้งสิ้น อีกทั้งห้ามมิให้ดัดแปลงเนื้อหาและต้องอ้างอิงถึงเจ้าของเอกสารทุกครั้งที่มีการนำไปใช้

ข.2 เอกสารคู่มือการใช้งาน IDG300

ไอซี IDG300 เป็น ไอซีเซนเซอร์ไจโรสโคป มีรายละเอียดต่างๆ ดังนี้



Integrated Dual-Axis Gyro IDG-300

FEATURES

- Integrated X- and Y-axis gyro on a single chip
- Factory trimmed full scale range of $\pm 500^\circ/\text{sec}$
- Integrated low-pass filters
- High vibration rejection over a wide frequency range
- High cross-axis isolation by design
- 3V single supply operation
- 5000 g shock tolerance
- RoHS compliant (completely lead free)
- 6 x 6 x 1.5mm QFN package

APPLICATIONS

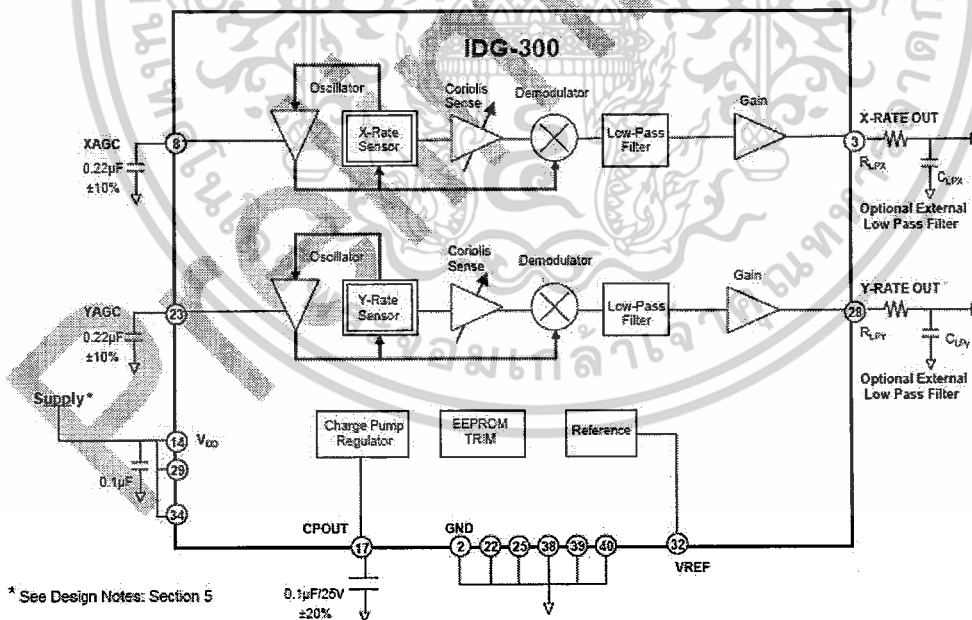
- Inertial measurement units (IMUs)
- Handheld GPS navigation devices
- Radio controlled helicopters
- Toys and game consoles
- Robotic and power tools
- Antenna positioning
- Remote control

GENERAL DESCRIPTION

The IDG-300 is an integrated dual-axis angular rate sensor (gyroscope). It uses InvenSense's proprietary and patented MEMS technology with vertically driven, vibrating masses to make a functionally complete, low-cost, dual-axis angular rate sensor. All required electronics are integrated onto a single chip with the sensor.

The IDG-300 gyro uses two sensor elements with novel vibrating dual-mass bulk silicon configurations that sense the rate of rotation about the X- and Y-axis (in-plane sensing). This results in a unique, integrated dual-axis gyro with guaranteed-by-design vibration rejection and high cross-axis isolation. It is specifically designed for demanding consumer applications requiring low cost, small size and high performance.

The IDG-300 gyro includes integrated electronics necessary for application-ready functionality. It incorporates X- and Y-axis low-pass filters and an EEPROM for on-chip factory calibration of the sensor. Factory trimmed scale factors eliminate the need for external active components and end-user calibration. This product is lead-free and Green Compliant.



Reference Application Diagram

เอกสารนี้เป็นเอกสารที่สงวนไว้สำหรับการใช้งานเพื่อการศึกษาเท่านั้น ไม่อนุญาตให้นำไปใช้ประโยชน์ด้านการค้า ไม่ว่าจะกรณีใดๆ ทั้งสิ้น อีกทั้งห้ามมิให้ดัดแปลงเนื้อหาและต้องอ้างอิงถึงเจ้าของเอกสารทุกครั้งที่มีการนำไปใช้


IDG-300
SPECIFICATIONS

All parameters specified are @ VDD=3.0 V and Ta=25°C.

External LPF @ 2kHz. All specifications apply to both axes.

Parameters	Conditions	Min	Typical	Max	Unit
SENSITIVITY					
Full-Scale Range	Best Fit Straight Line		±500		°/s
Sensitivity			2.0	+5	mV/°/s
Initial Calibration Tolerance		-5			%
Over Specified Temperature				±10	%
Nonlinearity		<1			% of FS
Cross-axis Sensitivity			±2		%
ZERO-RATE OUTPUT					
Static Output (Bias)			1.5		V
Initial Calibration Tolerance		-300		+300	mV
Over Specified Temperature		-300		+300	mV
FREQUENCY RESPONSE					
High Frequency Cutoff	Internal LPF -90°		140		Hz
LPF Phase Delay	10Hz		-4.5		°
MECHANICAL FREQUENCIES					
Resonant Frequency	X-Axis Gyroscope	10	12	14	kHz
Resonant Frequency	Y-Axis Gyroscope	13	15	17	kHz
Frequency Separation	X and Y Gyroscopes		3		kHz
NOISE PERFORMANCE					
Rate Noise Density			0.014		°/s/√Hz
OUTPUT DRIVE CAPABILITY					
Output Voltage Swing	Load = 100kΩ to V _{DD} /2	0.05		V _{DD} -0.05	V
Capacitive Load Drive			100		pF
Output Impedance			100		Ω
REFERENCE					
Voltage Value			1.23		V
Load Drive			1		mA
Capacitive Load Drive	Load directly connected to VREF		100		pF
Power Supply Rejection	VDD = 3.0V to 3.3V		1		mV/V
Over Specified Temperature			±5		mV
POWER TIMING					
Zero-rate Output	Settling to ±3°/sec		200		ms
POWER SUPPLY					
Operating Voltage Range		3.0		3.3	V
Quiescent Supply Current				9.5	mA
Over Specified Temperature			±2		mA
TEMPERATURE RANGE					
Specified Temperature Range			0 to +70		°C
Extended Temperature Range	Performance parameters are not applicable beyond Specified Temperature Range		-20 to +85		°C

เอกสารนี้เป็นเอกสารที่สงวนไว้สำหรับการใช้งานเพื่อการศึกษาเท่านั้น ไม่อนุญาตให้นำไปใช้ประโยชน์ด้านการค้า
ไม่ว่ากรณีใดๆ ทั้งสิ้น อีกทั้งห้ามมิให้ดัดแปลงเนื้อหาและต้องอ้างอิงถึงเจ้าของเอกสารทุกครั้งที่มีการนำไปใช้

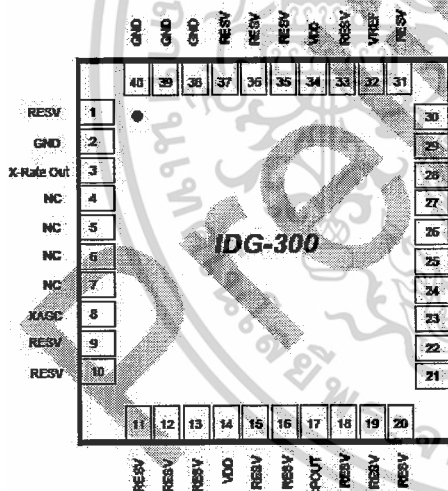


IDG-300

PIN DESCRIPTION

Number	Pin	Description
2, 22, 25, 38, 39, 40	GND	Ground
14, 29, 34	VDD	Positive supply voltage: +3.0V to +3.3V
3	X-Rate Out	X-Rate Out
8	XAGC	Amplitude control filter (See Design Notes: Section 2)
17	CPOUT	Charge pump capacitor
23	YAGC	Amplitude control filter (See Design Notes: Section 2)
28	Y-Rate Out	Y-Rate Out
32	VREF	1.23V precision reference output
1, 9, 10, 11, 12, 13, 15, 16, 18, 19, 20, 21, 30, 31, 33, 35, 36, 37	RESV	Reserved. Do not connect. Used for factory trimming
4, 5, 6, 7, 24, 26, 27	NC	Not internally connected; may be used for PCB routing

PIN CONNECTION (TOP VIEW)



40 pin QFN Package
6 x 6 x 1.5mm

RATE SENSITIVE AXIS

This is a dual-axis rate sensing device. It produces a positive output voltage for rotation about the X- or Y-axis, as shown in the figure below.

เอกสารนี้เป็นเอกสารที่สงวนไว้สำหรับการใช้งานเพื่อการศึกษาเท่านั้น ไม่อนุญาตให้นำไปใช้ประโยชน์ด้านการค้า
ไม่ว่ากรณีใดๆ ทั้งสิ้น อีกทั้งห้ามมิให้ดัดแปลงเนื้อหาและต้องอ้างอิงถึงเจ้าของเอกสารทุกครั้งที่มีการนำไปใช้

ข.3 เอกสารคู่มือการใช้งาน AXDL330

ไอซี AXDL330 เป็น ไอซีเซนเซอร์ความเร่ง มีรายละเอียดต่างๆ ดังนี้



Small, Low Power, 3-Axis ± 3 g iMEMS[®] Accelerometer

ADXL330

FEATURES

- 3-axis sensing
- Small, low-profile package
4 mm \times 4 mm \times 1.45 mm LFCSP
- Low power
180 μ A at $V_S = 1.8$ V (typical)
- Single-supply operation
1.8 V to 3.6 V
- 10,000 g shock survival
- Excellent temperature stability
- BW adjustment with a single capacitor per axis
- RoHS/WEEE lead-free compliant

APPLICATIONS

- Cost-sensitive, low power, motion- and tilt-sensing applications
- Mobile devices
- Gaming systems
- Disk drive protection
- Image stabilization
- Sports and health devices

GENERAL DESCRIPTION

The ADXL330 is a small, thin, low power, complete 3-axis accelerometer with signal conditioned voltage outputs, all on a single monolithic IC. The product measures acceleration with a minimum full-scale range of ± 3 g. It can measure the static acceleration of gravity in tilt-sensing applications, as well as dynamic acceleration resulting from motion, shock, or vibration.

The user selects the bandwidth of the accelerometer using the C_x , C_y , and C_z capacitors at the X_{OUT} , Y_{OUT} , and Z_{OUT} pins. Bandwidths can be selected to suit the application, with a range of 0.5 Hz to 1600 Hz for X and Y axes, and a range of 0.5 Hz to 550 Hz for the Z axis.

The ADXL330 is available in a small, low profile, 4 mm \times 4 mm \times 1.45 mm, 16-lead, plastic lead frame chip scale package (LFCSP_LQ).

FUNCTIONAL BLOCK DIAGRAM

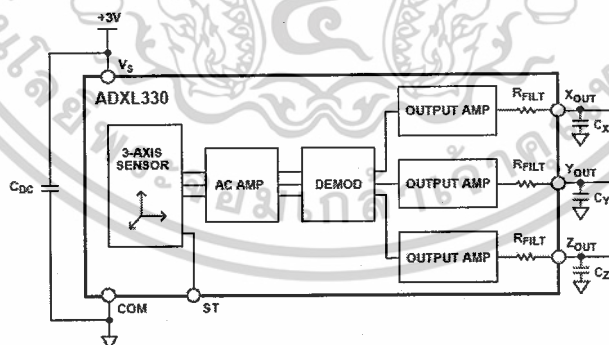


Figure 1.

เอกสารนี้เป็นเอกสารที่สงวนไว้สำหรับการใช้งานเพื่อการศึกษาเท่านั้น ไม่อนุญาตให้นำไปใช้ประโยชน์ด้านการค้า
ไม่ว่ากรณีใดๆ ทั้งสิ้น อีกทั้งห้ามมิให้ดัดแปลงเนื้อหาและต้องอ้างอิงถึงเจ้าของเอกสารทุกครั้งที่มีการนำไปใช้

SPECIFICATIONS

$T_A = 25^\circ\text{C}$, $V_S = 3\text{ V}$, $C_X = C_Y = C_Z = 0.1\ \mu\text{F}$, acceleration = 0 g, unless otherwise noted. All minimum and maximum specifications are guaranteed. Typical specifications are not guaranteed.

Table 1.

Parameter	Conditions	Min	Typ	Max	Unit
SENSOR INPUT					
Measurement Range	Each axis	± 3	± 3.6		g
Nonlinearity	% of full scale		± 0.3		%
Package Alignment Error			± 1		Degrees
Interaxis Alignment Error			± 0.1		Degrees
Cross Axis Sensitivity ¹			± 1		%
SENSITIVITY (RATIOMETRIC)²					
Sensitivity at X_{out} , Y_{out} , Z_{out}	Each axis $V_S = 3\text{ V}$	270	300	330	mV/g
Sensitivity Change Due to Temperature ³	$V_S = 3\text{ V}$		± 0.015		%/ $^\circ\text{C}$
ZERO g BIAS LEVEL (RATIOMETRIC)					
0 g Voltage at X_{out} , Y_{out} , Z_{out}	Each axis $V_S = 3\text{ V}$	1.2	1.5	1.8	V
0 g Offset vs. Temperature			± 1		mg/ $^\circ\text{C}$
NOISE PERFORMANCE					
Noise Density X_{out} , Y_{out}			280		$\mu\text{g}/\sqrt{\text{Hz}}$ rms
Noise Density Z_{out}			350		$\mu\text{g}/\sqrt{\text{Hz}}$ rms
FREQUENCY RESPONSE⁴					
Bandwidth X_{out} , Y_{out} ⁵	No external filter		1600		Hz
Bandwidth Z_{out} ⁵	No external filter		550		Hz
R_{flat} Tolerance			$32 \pm 15\%$		k Ω
Sensor Resonant Frequency			5.5		kHz
SELF TEST⁶					
Logic Input Low			+0.6		V
Logic Input High			+2.4		V
ST Actuation Current			+60		μA
Output Change at X_{out}	Self test 0 to 1		-150		mV
Output Change at Y_{out}	Self test 0 to 1		+150		mV
Output Change at Z_{out}	Self test 0 to 1		-60		mV
OUTPUT AMPLIFIER					
Output Swing Low	No load		0.1		V
Output Swing High	No load		2.8		V
POWER SUPPLY					
Operating Voltage Range		1.8		3.6	V
Supply Current	$V_S = 3\text{ V}$		320		μA
Turn-On Time ⁷	No external filter		1		ms
TEMPERATURE					
Operating Temperature Range		-25		+70	$^\circ\text{C}$

¹ Defined as coupling between any two axes.

² Sensitivity is essentially ratiometric to V_S .

³ Defined as the output change from ambient-to-maximum temperature or ambient-to-minimum temperature.

⁴ Actual frequency response controlled by user-supplied external filter capacitors (C_X , C_Y , C_Z).

⁵ Bandwidth with external capacitors = $1/(2 \times \pi \times 32\text{ k}\Omega \times C)$. For C_X , $C_Y = 0.003\ \mu\text{F}$, bandwidth = 1.6 kHz. For $C_Z = 0.01\ \mu\text{F}$, bandwidth = 500 Hz. For C_X , C_Y , $C_Z = 10\ \mu\text{F}$, bandwidth = 0.5 Hz.

⁶ Self-test response changes cubically with V_S .

⁷ Turn-on time is dependent on C_X , C_Y , C_Z and is approximately $160 \times C_X$ or C_Y or $C_Z + 1\text{ ms}$, where C_X , C_Y , C_Z are in μF .

เอกสารนี้เป็นเอกสารที่สงวนไว้สำหรับการใช้งานเพื่อการศึกษาเท่านั้น ไม่อนุญาตให้นำไปใช้ประโยชน์ด้านการค้า
ไม่ว่ากรณีใดๆ ทั้งสิ้น อีกทั้งห้ามมิให้ดัดแปลงเนื้อหาและต้องอ้างอิงถึงเจ้าของเอกสารทุกครั้งที่มีการนำไปใช้

PIN CONFIGURATION AND FUNCTION DESCRIPTIONS

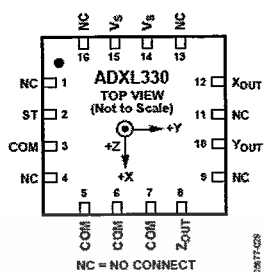


Figure 3. Pin Configuration

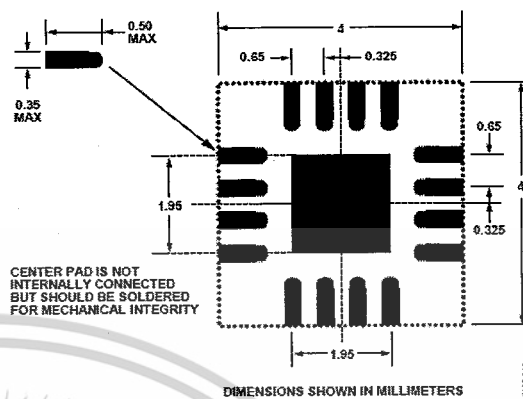


Figure 4. Recommended PCB Layout

Table 4. Pin Function Descriptions

Pin No.	Mnemonic	Description
1	NC	No Connect
2	ST	Self Test
3	COM	Common
4	NC	No Connect
5	COM	Common
6	COM	Common
7	COM	Common
8	Zout	Z Channel Output
9	NC	No Connect
10	Yout	Y Channel Output
11	NC	No Connect
12	Xout	X Channel Output
13	NC	No Connect
14	Vs	Supply Voltage (1.8 V to 3.6 V)
15	Vs	Supply Voltage (1.8 V to 3.6 V)
16	NC	No Connect

เอกสารนี้เป็นเอกสารที่สงวนไว้สำหรับการใช้งานเพื่อการศึกษาเท่านั้น ไม่อนุญาตให้นำไปใช้ประโยชน์ด้านการค้า
ไม่ว่ากรณีใดๆ ทั้งสิ้น อีกทั้งห้ามมิให้ดัดแปลงเนื้อหาและต้องอ้างอิงถึงเจ้าของเอกสารทุกครั้งที่มีการนำไปใช้

The ADXL330 output is ratiometric, therefore, the output sensitivity (or scale factor) varies proportionally to the supply voltage. At $V_s = 3.6\text{ V}$, the output sensitivity is typically 360 mV/g . At $V_s = 2\text{ V}$, the output sensitivity is typically 195 mV/g .

The zero g bias output is also ratiometric, so the zero g output is nominally equal to $V_s/2$ at all supply voltages.

The output noise is not ratiometric but is absolute in volts; therefore, the noise density decreases as the supply voltage increases. This is because the scale factor (mV/g) increases while the noise voltage remains constant. At $V_s = 3.6\text{ V}$, the X- and Y-axis noise density is typically $230\text{ }\mu\text{g}/\sqrt{\text{Hz}}$, while at $V_s = 2\text{ V}$, the X- and Y-axis noise density is typically $350\text{ }\mu\text{g}/\sqrt{\text{Hz}}$.

Self test response in g is roughly proportional to the square of the supply voltage. However, when ratiometricity of sensitivity is factored in with supply voltage, the self test response in volts is roughly proportional to the cube of the supply voltage. For example, at $V_s = 3.6\text{ V}$, the self test response for the ADXL330 is approximately -275 mV for the X-axis, $+275\text{ mV}$ for the Y-axis, and -100 mV for the Z-axis.

At $V_s = 2\text{ V}$, the self test response is approximately -60 mV for the X-axis, $+60\text{ mV}$ for the Y-axis, and -25 mV for the Z-axis.

The supply current decreases as the supply voltage decreases. Typical current consumption at $V_s = 3.6\text{ V}$ is $375\text{ }\mu\text{A}$, and typical current consumption at $V_s = 2\text{ V}$ is $200\text{ }\mu\text{A}$.

AXES OF ACCELERATION SENSITIVITY

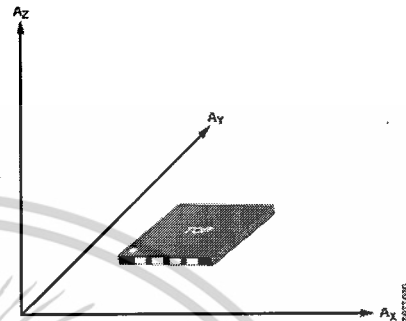


Figure 31. Axes of Acceleration Sensitivity, Corresponding Output Voltage Increases When Accelerated Along the Sensitive Axis

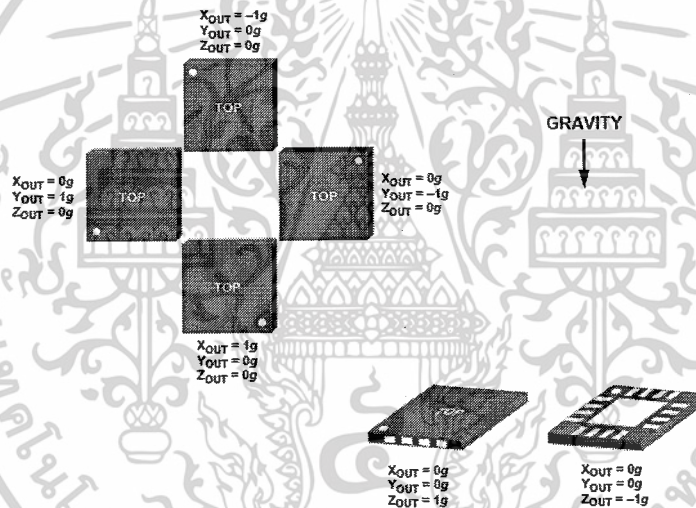


Figure 32. Output Response vs. Orientation to Gravity

เอกสารนี้เป็นเอกสารที่สงวนไว้สำหรับการใช้งานเพื่อการศึกษาเท่านั้น ไม่อนุญาตให้นำไปใช้ประโยชน์ด้านการค้า
ไม่ว่ากรณีใดๆ ทั้งสิ้น อีกทั้งห้ามมิให้ดัดแปลงเนื้อหาและต้องอ้างอิงถึงเจ้าของเอกสารทุกครั้งที่มีการนำไปใช้

ข.4 เอกสารคู่มือการใช้งาน L298N

ไอซี L298N เป็น ไอซีขับมอเตอร์ สามารถขับมอเตอร์ได้ 2 ตัว มีรายละเอียดต่างๆ ดังนี้



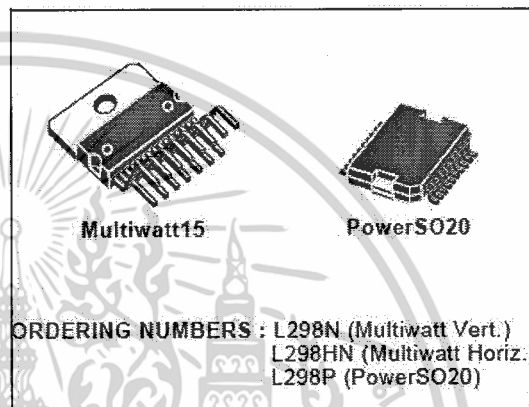
L298

DUAL FULL-BRIDGE DRIVER

- OPERATING SUPPLY VOLTAGE UP TO 46 V
- TOTAL DC CURRENT UP TO 4 A
- LOW SATURATION VOLTAGE
- OVERTEMPERATURE PROTECTION
- LOGICAL "0" INPUT VOLTAGE UP TO 1.5 V (HIGH NOISE IMMUNITY)

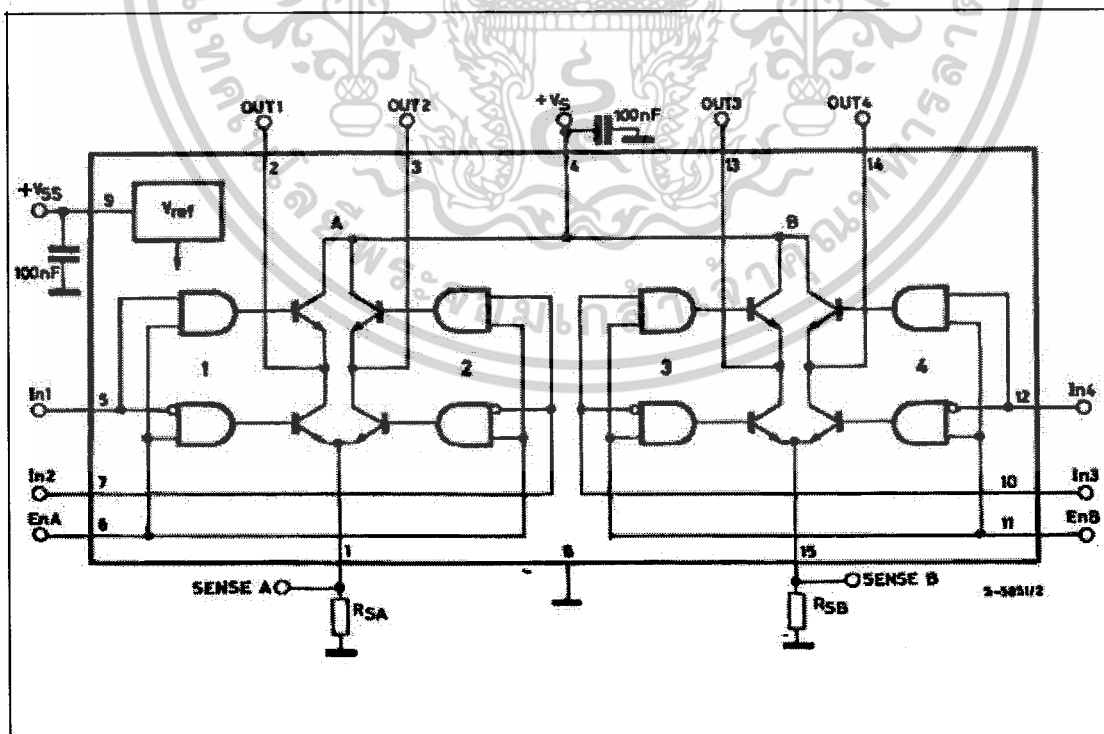
DESCRIPTION

The L298 is an integrated monolithic circuit in a 15-lead Multiwatt and PowerSO20 packages. It is a high voltage, high current dual full-bridge driver designed to accept standard TTL logic levels and drive inductive loads such as relays, solenoids, DC and stepping motors. Two enable inputs are provided to enable or disable the device independently of the input signals. The emitters of the lower transistors of each bridge are connected together and the corresponding external terminal can be used for the con-



nection of an external sensing resistor. An additional supply input is provided so that the logic works at a lower voltage.

BLOCK DIAGRAM



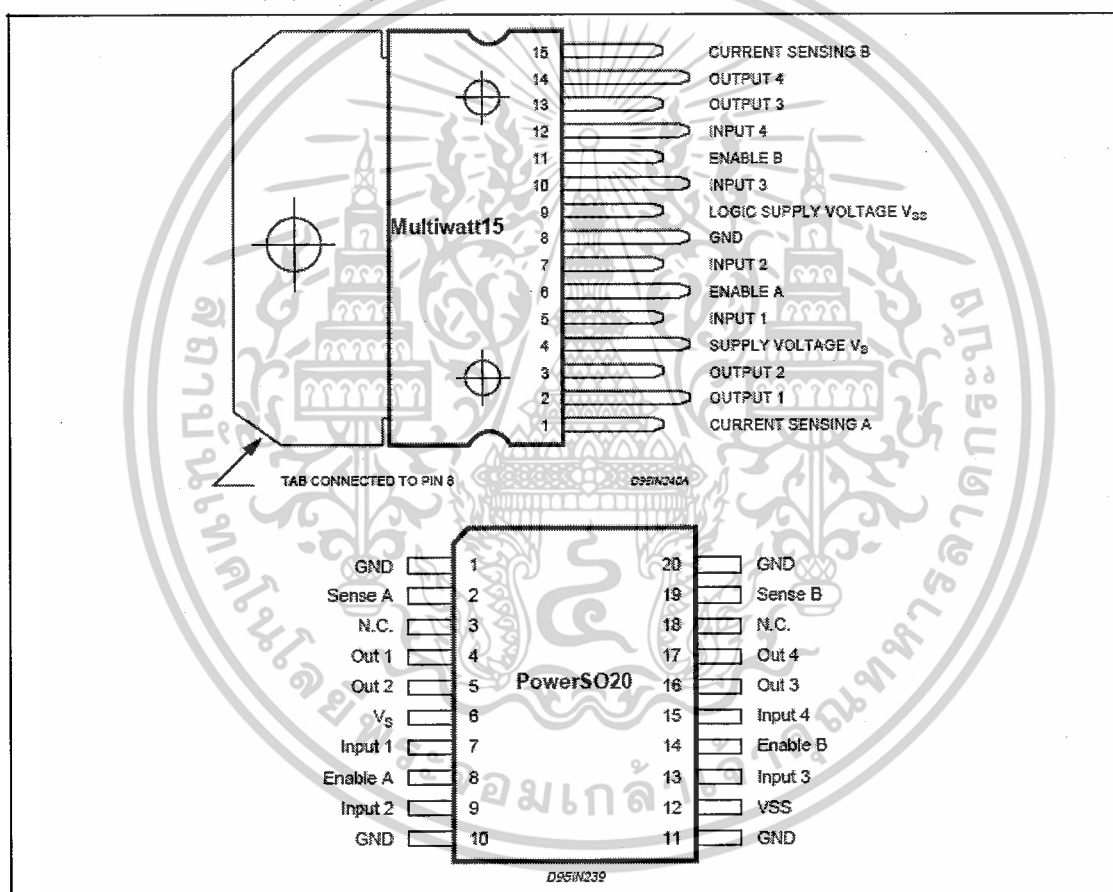
เอกสารนี้เป็นเอกสารที่สงวนไว้สำหรับการใช้งานเพื่อการศึกษาเท่านั้น ไม่อนุญาตให้นำไปใช้ประโยชน์ด้านการค้า
ไม่ว่ากรณีใดๆ ทั้งสิ้น อีกทั้งห้ามมิให้ดัดแปลงเนื้อหาและต้องอ้างอิงถึงเจ้าของเอกสารทุกครั้งที่มีการนำไปใช้

L298

ABSOLUTE MAXIMUM RATINGS

Symbol	Parameter	Value	Unit
V_S	Power Supply	50	V
V_{SS}	Logic Supply Voltage	7	V
V_i, V_{en}	Input and Enable Voltage	-0.3 to 7	V
I_o	Peak Output Current (each Channel) – Non Repetitive ($t = 100\mu s$) – Repetitive (80% on -20% off; $t_{on} = 10ms$) – DC Operation	3 2.5 2	A A A
V_{sens}	Sensing Voltage	-1 to 2.3	V
P_{tot}	Total Power Dissipation ($T_{case} = 75^\circ C$)	25	W
T_{op}	Junction Operating Temperature	-25 to 130	$^\circ C$
T_{stg}, T_j	Storage and Junction Temperature	-40 to 150	$^\circ C$

PIN CONNECTIONS (top view)



THERMAL DATA

Symbol	Parameter		PowerSO20	Multiwatt15	Unit
$R_{thj-case}$	Thermal Resistance Junction-case	Max.	-	3	$^\circ C/W$
$R_{thj-amb}$	Thermal Resistance Junction-ambient	Max.	13 (*)	35	$^\circ C/W$

(*) Mounted on aluminum substrate

เอกสารนี้เป็นเอกสารที่สงวนไว้สำหรับการใช้งานเพื่อการศึกษาเท่านั้น ไม่อนุญาตให้นำไปใช้ประโยชน์ด้านการค้า
ไม่ว่ากรณีใดๆ ทั้งสิ้น อีกทั้งห้ามมิให้ดัดแปลงเนื้อหาและต้องอ้างอิงถึงเจ้าของเอกสารทุกครั้งที่มีการนำไปใช้

PIN FUNCTIONS (refer to the block diagram)

MW.15	PowerSO	Name	Function
1;15	2;19	Sense A; Sense B	Between this pin and ground is connected the sense resistor to control the current of the load.
2;3	4;5	Out 1; Out 2	Outputs of the Bridge A; the current that flows through the load connected between these two pins is monitored at pin 1.
4	6	V _s	Supply Voltage for the Power Output Stages. A non-inductive 100nF capacitor must be connected between this pin and ground.
5;7	7;9	Input 1; Input 2	TTL Compatible Inputs of the Bridge A.
6;11	8;14	Enable A; Enable B	TTL Compatible Enable Input: the L state disables the bridge A (enable A) and/or the bridge B (enable B).
8	1,10,11,20	GND	Ground.
9	12	VSS	Supply Voltage for the Logic Blocks. A 100nF capacitor must be connected between this pin and ground.
10; 12	13;15	Input 3; Input 4	TTL Compatible Inputs of the Bridge B.
13; 14	16;17	Out 3; Out 4	Outputs of the Bridge B. The current that flows through the load connected between these two pins is monitored at pin 15.
-	3;18	N.C.	Not Connected



เอกสารนี้เป็นเอกสารที่สงวนไว้สำหรับการใช้งานเพื่อการศึกษาเท่านั้น ไม่อนุญาตให้นำไปใช้ประโยชน์ด้านการค้า
ไม่ว่ากรณีใดๆ ทั้งสิ้น อีกทั้งห้ามมิให้ดัดแปลงเนื้อหาและต้องอ้างอิงถึงเจ้าของเอกสารทุกครั้งที่มีการนำไปใช้

ข.5 เอกสารคู่มือการใช้งาน MCP1702-3.3

ไอซี MCP1702-3.3 เป็น ไอซีเรกกูเรเตอร์ มีแรงดันเอาต์พุต 3.3 โวลต์ มีรายละเอียดต่างๆ เป็นดังนี้



MCP1702

250 mA Low Quiescent Current LDO Regulator

Features

- 2.0 μ A Quiescent Current (typical)
- Input Operating Voltage Range: 2.7V to 13.2V
- 250 mA Output Current for Output Voltages \geq 2.5V
- 200 mA Output Current for Output Voltages $<$ 2.5V
- Low Dropout (LDO) voltage
 - 625 mV typical @ 250 mA ($V_{OUT} = 2.8V$)
- 0.4% Typical Output Voltage Tolerance
- Standard Output Voltage Options:
 - 1.2V, 1.5V, 1.8V, 2.5V, 2.8V, 3.0V, 3.3V, 4.0V, 5.0V
- Output voltage range 1.2V to 5.5V in 0.1V Increments (50 mV increments available upon request)
- Stable with 1.0 μ F to 22 μ F Output Capacitor
- Short-Circuit Protection
- Overtemperature Protection

Applications

- Battery-powered Devices
- Battery-powered Alarm Circuits
- Smoke Detectors
- CO² Detectors
- Pagers and Cellular Phones
- Smart Battery Packs
- Low Quiescent Current Voltage Reference
- PDAs
- Digital Cameras
- Microcontroller Power
- Solar-Powered Instruments
- Consumer Products
- Battery Powered Data Loggers

Related Literature

- AN765, "Using Microchip's Micropower LDOs", DS00765, Microchip Technology Inc., 2002
- AN766, "Pin-Compatible CMOS Upgrades to BiPolar LDOs", DS00766, Microchip Technology Inc., 2002
- AN792, "A Method to Determine How Much Power a SOT-23 Can Dissipate in an Application", DS00792, Microchip Technology Inc., 2001

Description

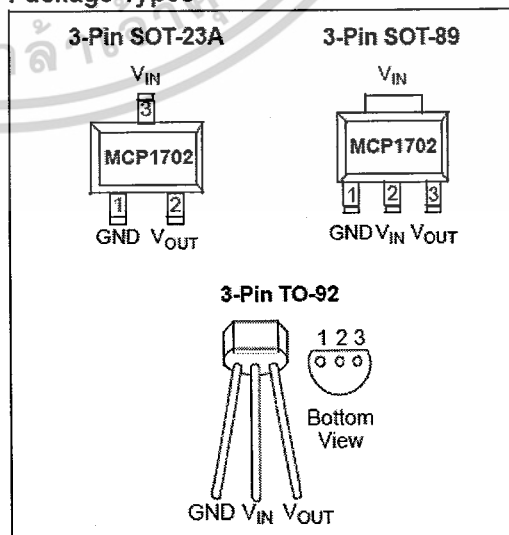
The MCP1702 is a family of CMOS low dropout (LDO) voltage regulators that can deliver up to 250 mA of current while consuming only 2.0 μ A of quiescent current (typical). The input operating range is specified from 2.7V to 13.2V, making it an ideal choice for two to six primary cell battery-powered applications, 9V alkaline and one or two cell Li-Ion-powered applications.

The MCP1702 is capable of delivering 250 mA with only 625 mV (typical) of input to output voltage differential ($V_{OUT} = 2.8V$). The output voltage tolerance of the MCP1702 is typically $\pm 0.4\%$ at $+25^\circ\text{C}$ and $\pm 3\%$ maximum over the operating junction temperature range of -40°C to $+125^\circ\text{C}$. Line regulation is $\pm 0.1\%$ typical at $+25^\circ\text{C}$.

Output voltages available for the MCP1702 range from 1.2V to 5.0V. The LDO output is stable when using only 1 μ F of output capacitance. Ceramic, tantalum or aluminum electrolytic capacitors can all be used for input and output. Overcurrent limit and overtemperature shutdown provide a robust solution for any application.

Package options include the SOT-23A, SOT-89-3, and TO-92.

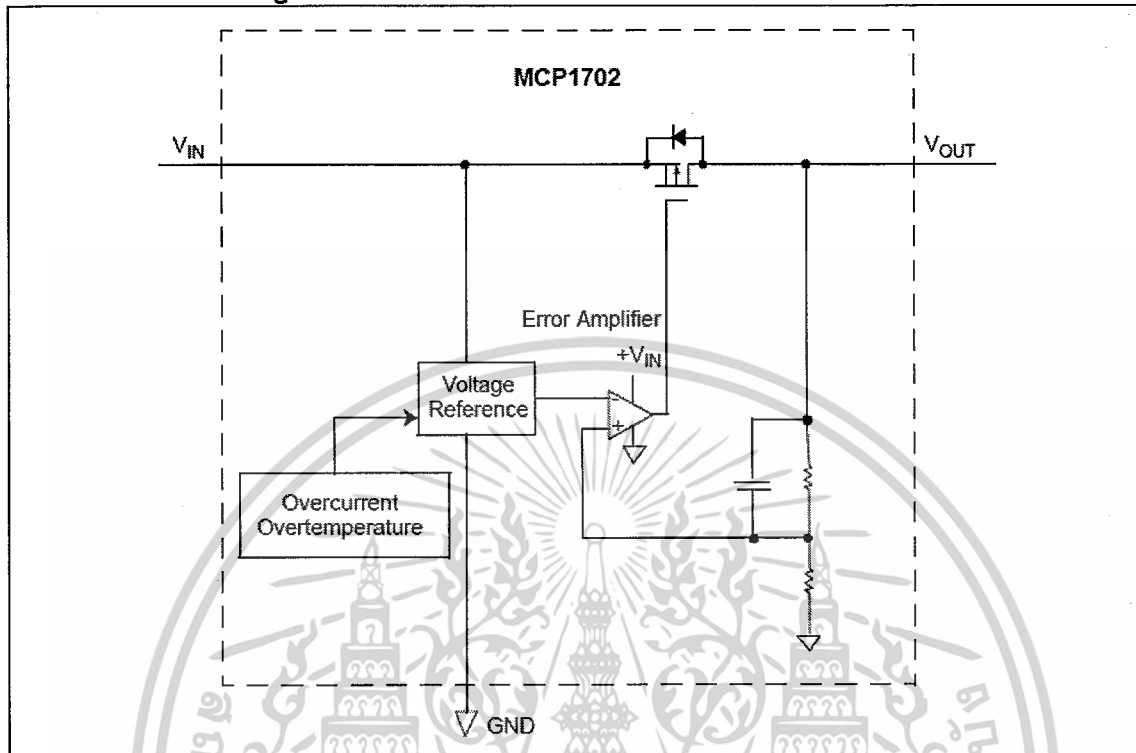
Package Types



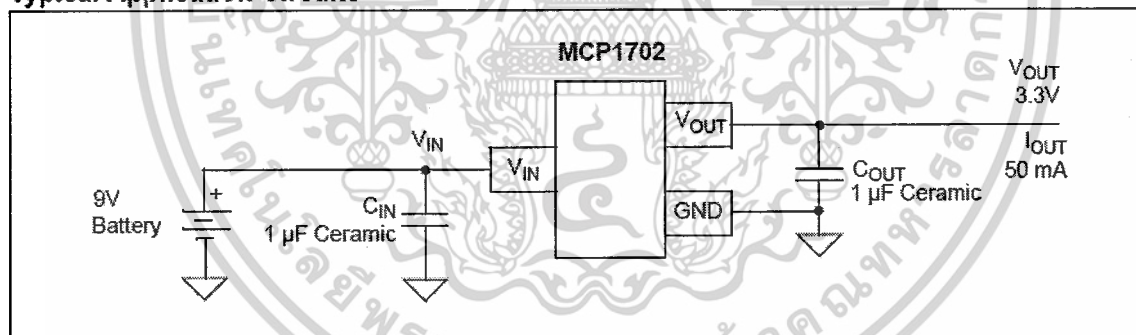
เอกสารนี้เป็นเอกสารที่สงวนไว้สำหรับการใช้งานเพื่อการศึกษาเท่านั้น ไม่อนุญาตให้นำไปใช้ประโยชน์ด้านการค้า ไม่ว่าจะกรณีใดๆ ทั้งสิ้น อีกทั้งห้ามมิให้ดัดแปลงเนื้อหาและต้องอ้างอิงถึงเจ้าของเอกสารทุกครั้งที่มีการนำไปใช้

MCP1702

Functional Block Diagrams



Typical Application Circuits



เอกสารนี้เป็นเอกสารที่สงวนไว้สำหรับการใช้งานเพื่อการศึกษาเท่านั้น ไม่อนุญาตให้นำไปใช้ประโยชน์ด้านการค้า
ไม่ว่ากรณีใดๆ ทั้งสิ้น อีกทั้งห้ามมิให้ดัดแปลงเนื้อหาและต้องอ้างอิงถึงเจ้าของเอกสารทุกครั้งที่มีการนำไปใช้

ข.6 เอกสารคู่มือการใช้งาน MC 7805

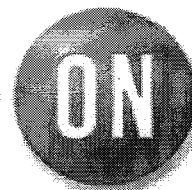
ไอซี MC 7805 เป็น ไอซีเรกูเลเตอร์ มีแรงดันเอาต์พุต 5 โวลต์ มีรายละเอียดต่างๆ ดังนี้

MC7800, MC7800A, NCV7805

1.0 A Positive Voltage Regulators

These voltage regulators are monolithic integrated circuits designed as fixed-voltage regulators for a wide variety of applications including local, on-card regulation. These regulators employ internal current limiting, thermal shutdown, and safe-area compensation. With adequate heatsinking they can deliver output currents in excess of 1.0 A. Although designed primarily as a fixed voltage regulator, these devices can be used with external components to obtain adjustable voltages and currents.

- Output Current in Excess of 1.0 A
- No External Components Required
- Internal Thermal Overload Protection
- Internal Short Circuit Current Limiting
- Output Transistor Safe-Area Compensation
- Output Voltage Offered in 2% and 4% Tolerance
- Available in Surface Mount D²PAK-3, DPAK-3 and Standard 3-Lead Transistor Packages
- NCV Prefix for Automotive and Other Applications Requiring Site and Control Changes
- Pb-Free Packages are Available



ON Semiconductor®

<http://onsemi.com>



TO-220-3
T SUFFIX
CASE 221A

Heatsink surface connected to Pin 2.



Pin 1: Input
2: Ground
3: Output

D²PAK-3
D2T SUFFIX
CASE 936

Heatsink surface (shown as terminal 4 in case outline drawing) is connected to Pin 2.



DPAK-3
DT SUFFIX
CASE 369C

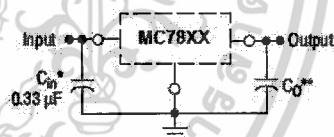
MAXIMUM RATINGS (T_A = 25°C, unless otherwise noted)

Rating	Symbol	Value			Unit
		369C	221A	936	
Input Voltage (5.0 - 18 V) (24 V)	V _I		35 40		Vdc
Power Dissipation	P _D	Internally Limited			W
Thermal Resistance, Junction-to-Ambient	R _{θJA}	92	65	Figure 14	°C/W
Thermal Resistance, Junction-to-Case	R _{θJC}	5.0	5.0	5.0	°C/W
Storage Junction Temperature Range	T _{sig}	-65 to +150			°C
Operating Junction Temperature	T _J	+150			°C

Maximum ratings are those values beyond which device damage can occur. Maximum ratings applied to the device are individual stress limit values (not normal operating conditions) and are not valid simultaneously. If these limits are exceeded, device functional operation is not implied, damage may occur and reliability may be affected.

NOTE: ESD data available upon request.

STANDARD APPLICATION



A common ground is required between the input and the output voltages. The input voltage must remain typically 2.0 V above the output voltage even during the low point on the input ripple voltage.

XX, These two digits of the type number indicate nominal voltage.

* C_{in} is required if regulator is located an appreciable distance from power supply filter.

** C_o is not needed for stability; however, it does improve transient response. Values of less than 0.1 μF could cause instability.

ORDERING INFORMATION

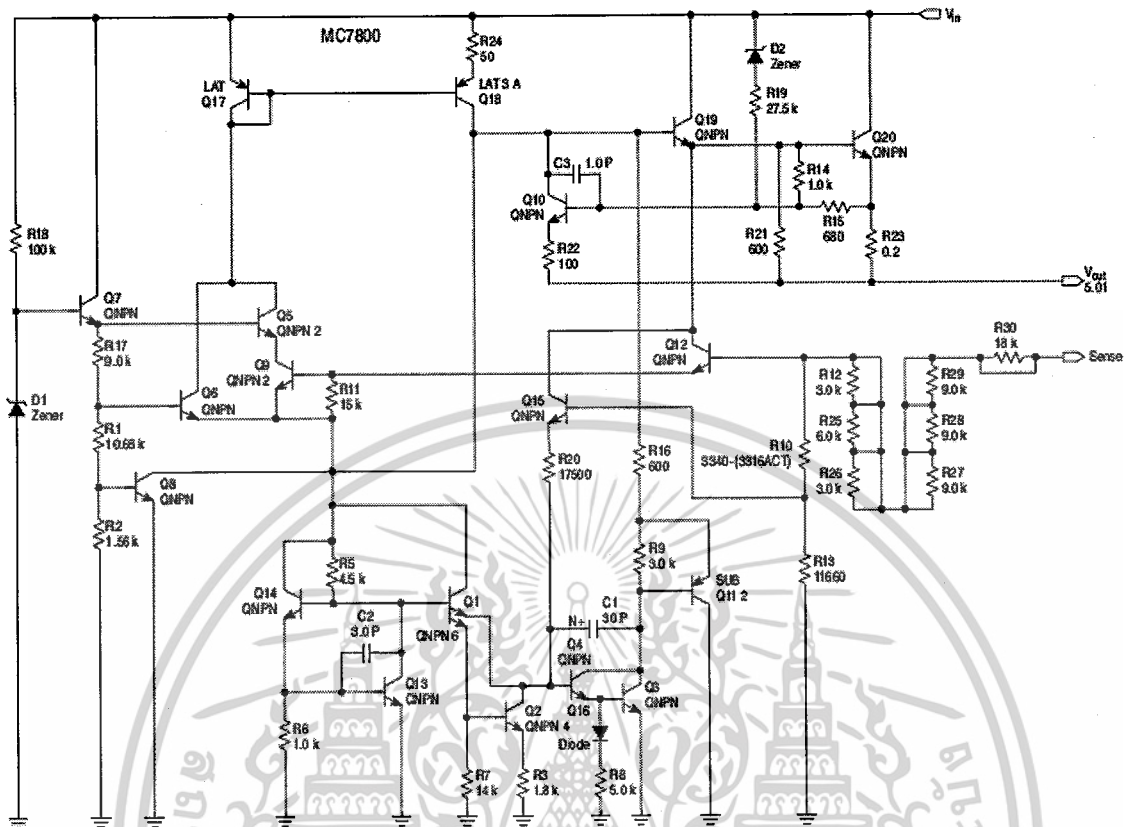
See detailed ordering and shipping information in the package dimensions section on page 21 of this data sheet.

DEVICE MARKING INFORMATION

See general marking information in the device marking section on page 25 of this data sheet.

เอกสารนี้เป็นเอกสารที่สงวนไว้สำหรับการใช้งานเพื่อการศึกษาเท่านั้น ไม่อนุญาตให้นำไปใช้ประโยชน์ด้านการค้า ไม่ว่าจะกรณีใดๆ ทั้งสิ้น อีกทั้งห้ามมิให้ดัดแปลงเนื้อหาและต้องอ้างอิงถึงเจ้าของเอกสารทุกครั้งที่มีการนำไปใช้

MC7800, MC7800A, NCV7805



This device contains 22 active transistors.

Figure 1. Representative Schematic Diagram

เอกสารนี้เป็นเอกสารที่สงวนไว้สำหรับการใช้งานเพื่อการศึกษาเท่านั้น ไม่อนุญาตให้นำไปใช้ประโยชน์ด้านการค้า
ไม่ว่ากรณีใดๆ ทั้งสิ้น อีกทั้งห้ามมิให้ดัดแปลงเนื้อหาและต้องอ้างอิงถึงเจ้าของเอกสารทุกครั้งที่มีการนำไปใช้

ภาคผนวก ค

เอกสารคู่มือมอเตอร์



DC-Micromotors

Graphite Commutation

16 mNm

For combination with (overview on page 14-15)

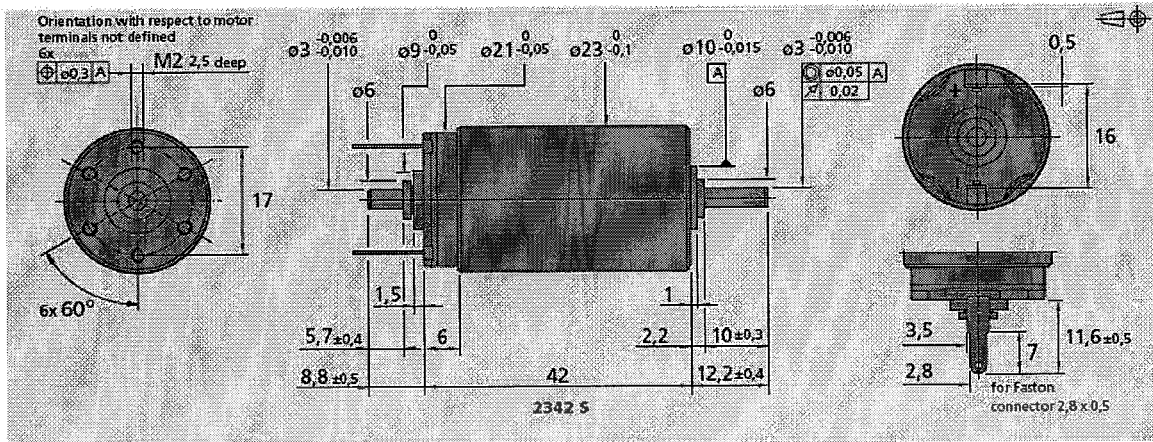
Gearheads:
23/1, 26A, 26/1, 30/1, 38/3

Encoders:
IE2 - 16 ... 512, 5500, 5540

Series 2342 ... CR

	2342 S	006 CR	012 CR	018 CR	024 CR	036 CR	048 CR	
1 Nominal voltage	U_N	6	12	18	24	36	48	Volt
2 Terminal resistance	R	0,40	1,90	4,10	7,10	15,9	31,20	Ω
3 Output power	P_{2max}	20,50	17,00	18,10	19,00	19,40	17,70	W
4 Efficiency	η_{max}	81	80	81	81	81	81	%
5 No-load speed	n_0	9 000	8 100	8 000	8 500	8 100	8 000	rpm
6 No-load current (with shaft \varnothing 3,0 mm)	I_0	0,170	0,075	0,048	0,038	0,024	0,017	A
7 Stall torque	M_{st}	87,2	80,0	86,5	85,4	91,4	84,4	mNm
8 Friction torque	M_{fr}	0,98	1,00	0,99	0,99	0,99	0,95	mNm
9 Speed constant	k_n	1 650	713	462	366	231	170	rpm/V
10 Back-EMF constant	k_E	0,604	1,400	2,160	2,730	4,340	5,870	mV/rpm
11 Torque constant	k_M	5,77	13,40	20,70	26,10	41,40	56,10	mNm/A
12 Current constant	k_i	0,173	0,075	0,048	0,038	0,024	0,018	A/mNm
13 Slope of n-M curve	$\Delta n / \Delta M$	103	101	92,5	99,5	88,6	94,8	rpm/mNm
14 Rotor inductance	L	13,5	65	150	265	590	1 050	μ H
15 Mechanical time constant	T_m	6	6	6	6	6	6	ms
16 Rotor inertia	J	5,6	5,7	6,2	5,8	6,5	6,0	gcm ²
17 Angular acceleration	α_{max}	160	140	140	150	140	140	10 ³ rad/s ²
18 Thermal resistance	R_{th1} / R_{th2}	3 / 15						K/W
19 Thermal time constant	T_{w1} / T_{w2}	6,5 / 490						s
20 Operating temperature range:								
- motor		-30 ... +100						°C
- rotor, max. permissible		+125						°C
21 Shaft bearings:		ball bearings, preloaded						
22 Shaft load max.:								
- with shaft diameter		3,0						mm
- radial at 3 000 rpm (3 mm from bearing)		20						N
- axial at 3 000 rpm		2						N
- axial at standstill		20						N
23 Shaft play:								
- radial	s	0,015						mm
- axial	e	0						mm
24 Housing material		steel, black coated						
25 Weight		88						g
26 Direction of rotation		clockwise, viewed from the front face						
Recommended values - mathematically independent of each other								
27 Speed up to	n_{0max}	7 000	7 000	7 000	7 000	7 000	7 000	rpm
28 Torque up to	M_{0max}	16	16	16	16	16	16	mNm
29 Current up to (thermal limits)	I_{0max}	2,700	1,400	0,950	0,720	0,480	0,350	A

เอกสารนี้เป็นเอกสารที่สงวนไว้สำหรับการใช้งานเพื่อการศึกษาเท่านั้น ไม่อนุญาตให้นำไปใช้ประโยชน์ด้านการค้า
ไม่ว่ากรณีใดๆ ทั้งสิ้น อีกทั้งห้ามมิให้ดัดแปลงเนื้อหาและต้องอ้างอิงถึงเจ้าของเอกสารทุกครั้งที่มีการนำไปใช้



เอกสารนี้เป็นเอกสารที่สงวนไว้สำหรับการใช้งานเพื่อการศึกษาเท่านั้น ไม่อนุญาตให้นำไปใช้ประโยชน์ด้านการค้า
ไม่ว่ากรณีใดๆ ทั้งสิ้น อีกทั้งห้ามมิให้ดัดแปลงเนื้อหาและต้องอ้างอิงถึงเจ้าของเอกสารทุกครั้งที่มีการนำไปใช้

ภาคผนวก ง

โปรแกรมควบคุมหุ่นยนต์อินเวอร์ทเพนดูลัม

โปรแกรมในโครงการระบบควบคุมอินเวอร์ทเพนดูลัม เขียนด้วยภาษาซี โดยใช้คอมไพเลอร์ MPLAB C30 เวอร์ชัน 3.02 ของบริษัทไมโครชิพ โดยได้แยกไฟล์ออกเป็นสำหรับหน่วยติดต่อดังต่อไปนี้

ง.1 โปรแกรมย่อยสำหรับควบคุมหน่วยแปลงสัญญาณอนาลอกเป็นดิจิทัล (adc.h)

```

//-----//
//----- ADC Module -----//
//-----//
#define adc_read(pin)      adc_buf[pin]
void init_adc();
unsigned int adc_buf[16];
volatile unsigned int* ADC16Ptr = &ADCBUF0; //Pointer to ADC register buffer,
unsigned int adc_filter_buffer[4][3] = { {0,0,0},{0,0,0},{0,0,0},{0,0,0} };
unsigned int current_buf = 1;
//-----//
//----- ADC Initial -----//
//-----//
void init_adc()
{
    ADCON1bits.ADON = 0; // Turn off the A/D converter
    ADCON2bits.SMPI = 3; // Interrupt on 4th sample
    ADCON2bits.CHPS = 0; // Sample channel CH0
    ADCON1bits.SIMSAM = 0; // n/a for single channel sample
    ADCON2bits.BUFM = 0; // Single 16-word result buffer
    ADCON2bits.ALTS = 0; // Always use MUX A input select
    // MUX A Input Select
    ADCHSbits.CHOSA = 0; // Overridden by CSCNA
    ADCHSbits.CHONA = 0; // Select VREF- for CH0- input
    ADCON2bits.CSCNA = 1; // Scan channel 0 inputs
    ADCSSL = 0x000E; // Scan AN1..AN3
    ADCHSbits.CH123SA = 0; // n/a
    ADCHSbits.CH123NA = 0; // n/a
    // MUX B Input Select
    ADCHSbits.CH123SB = 0; // n/a
    ADCHSbits.CH123NB = 0; // n/a
    // SPECIFIC BITS
    ADCON1bits.FORM = 0b10; // Use fractional (DOUT = dddd dddd dd00 0000)
    // for future compatibility with 12-bit ADC
    ADCON1bits.SSRC = 7; // Use auto to start conversion
    ADCON1bits.ASAM = 1; // Sampling begins immediately after last
    // conversion completes.
    //SAMP bit is auto set
    ADCON2bits.VCFG = 1; // Use VREF+ at AN0 VREF- at AVSS
    ADCON3bits.ADCS = 0b011111; // Timing for 8MHz
    ADPCFG = 0xFFFF0; // AN0..AN3 are analog
    TRISB = 0b11111111; // Port B is input
    IFS0bits.ADIF = 0; //Clear the A/D interrupt flag bit
    IEC0bits.ADIE = 1; //Set the A/D interrupt enable bit
    ADCON1bits.ADON = 1; //Turn on the A/D converter
}
//-----//
//----- ADC Interrupt -----//
//-----//
extern void __attribute__((__interrupt__)) _ADCInterrupt(void)
{
    unsigned int buffer = 0;
    for (buffer=0; buffer < 3; buffer++)
        adc_buf[buffer] = ADC16Ptr[buffer];
    IFS0bits.ADIF = 0;
}

```

เอกสารนี้เป็นเอกสารที่สงวนไว้สำหรับการใช้งานเพื่อการศึกษาเท่านั้น ไม่อนุญาตให้นำไปใช้ประโยชน์ด้านการค้า
ไม่ว่ากรณีใดๆ ทั้งสิ้น อีกทั้งห้ามมิให้ดัดแปลงเนื้อหาและต้องอ้างอิงถึงเจ้าของเอกสารทุกครั้งที่มีการนำไปใช้

ง.2 โปรแกรมย่อยอ่านค่ามุมเบี่ยงเบนจากเซนเซอร์ความเร่ง (accelero.h)

```
//-----//
//-----Accelerometer Module-----//
//-----//

#include <math.h>
static const int ADC_X_NEUTRAL = 32500;          // Center of X axis
static const int ADC_Z_NEUTRAL = 32500;          // Center of Z axis
#define ACCEL_Z_ADC    2          //input ADC pin accelero axis Z
#define ACCEL_X_ADC    1          //input ADC pin accelero axis Y

//-----read angle from accelerometer-----//
float read_angle()
{
    int shifted_z = (int)adc_read(ACCEL_Z_ADC) - ADC_Z_NEUTRAL;
    int shifted_x = (int)adc_read(ACCEL_X_ADC) - ADC_X_NEUTRAL;
    //no need to scale
    float z = (float) shifted_z;
    float x = (float) shifted_x;
    return (atan2(z, x));
}
//-----//
```

ง.3 โปรแกรมย่อยอ่านค่าอัตราเร็วเชิงมุมจากเซนเซอร์ไจโรสโคป (gyro.h)

```
//-----//
//-----Gyro Module-----//
//-----//

#include "adc.h"
#define gyro_y 0
static const float gyro_y_degrees_per_second = 500.0*2.0; // Specific of gyro (degree/s)
static const float gyro_y_rad_per_second = 8.72*2.0; // Specific of gyro (rad/s)

// Returns degrees per second along the roll axis
// Our gyro (IDG-300)is non-radiometric, meaning we should
// treat our measurements as if the device was running on 3V
// and not 3V3.
// Centre (0s) is at 1.5V
// 2mV per degrees/s
//-----//
//-----Function read to degree-----//
//-----//

float gyro_y_degrees()
{
    return -(((float)adc_read(gyro_y) / 65500.0*3.3)-1.5)/0.002;
}

//-----//
//-----Function read to rad-----//
//-----//

float gyro_y_rad()
{
    //return (((float)adc_read(gyro_y) / 65500.0*3.3)-1.5)/0.002/180.0*3.14159;
    return -(((float)adc_read(gyro_y) * 0.0004394279)-13.09);
}

//-----//
```

เอกสารนี้เป็นเอกสารที่สงวนไว้สำหรับการใช้งานเพื่อการศึกษาเท่านั้น ไม่อนุญาตให้นำไปใช้ประโยชน์ด้านการค้า
ไม่ว่ากรณีใดๆ ทั้งสิ้น อีกทั้งห้ามมิให้ดัดแปลงเนื้อหาและต้องอ้างอิงถึงเจ้าของเอกสารทุกครั้งที่มีการนำไปใช้

ง.4 โปรแกรมย่อยแคลแมนฟิลเตอร์ (kalman.h)

```

//-----//
//-----Kalman Filter-----//
//-----//

#include <math.h>
struct kalman
{
    //These variables represent our state matrix x //
    float x_angle,
          x_bias;
    //Our error covariance matrix //
    float P_00,
          P_01,
          P_10,
          P_11;

    // Q is a 2x2 matrix of the covariance. Because we
    // assume the gyro and accelero noise to be independent
    // of eachother, the covariances on the / diagonal are 0.
    // Covariance Q, the process noise, from the assumption
    //  $x = F x + B u + w$ 
    // with w having a normal distribution with covariance Q.
    // covariance =  $E[(X - E[X])*(X - E[X])']$ 
    // We assume is linear with dt

    float Q_angle, Q_gyro;

    //Covariance R, our observation noise (from the accelerometer)
    //Also assumed to be linear with dt

    float R_angle;
};

// Initializing the struct
void init_kalman(struct kalman *filterdata, float Q_angle,
                float Q_gyro, float R_angle);

// Kalman predict
void kalman_predict(struct kalman *filterdata, const float gyro, const float dt);

//Kalman update
float kalman_update(struct kalman *filterdata, const float angle_m);

void init_kalman(struct kalman *filterdata, float Q_angle,
                float Q_gyro, float R_angle)
{
    filterdata->Q_angle = Q_angle;
    filterdata->Q_gyro = Q_gyro;
    filterdata->R_angle = R_angle;
}

// The predict function. Updates 2 variables:
// our model-state x and the 2x2 matrix P
//  $x = [ \text{angle}, \text{bias} ]'$ 
//  $= F x + B u$ 
//  $= [1-dt, 0][\text{angle}, \text{bias}] + [ dt, 0][\text{dotAngle } 0]$ 
//  $\Rightarrow \text{angle} = \text{angle} + dt (\text{dotAngle} - \text{bias})$ 
//  $\text{bias} = \text{bias}$ 
//  $P = F P \text{ transpose}(F) + Q$ 
//  $= [1-dt, 0] * P * [ 10, -dt 1] + Q$ 
//  $P(0,0) = P(0,0) - dt * ( P(1,0) + P(0,1) ) + dt * P(1,1) + Q(0,0)$ 
//  $P(0,1) = P(0,1) - dt * P(1,1) + Q(0,1)$ 
//  $P(1,0) = P(1,0) - dt * P(1,1) + Q(1,0)$ 
//  $P(1,1) = P(1,1) + Q(1,1)$ 

void kalman_predict(struct kalman *filterdata, const float dotAngle, const float dt)
{

```

เอกสารนี้เป็นเอกสารที่สงวนไว้สำหรับการใช้งานเพื่อการศึกษาเท่านั้น ไม่อนุญาตให้นำไปใช้ประโยชน์ด้านการค้า
ไม่ว่ากรณีใดๆ ทั้งสิ้น อีกทั้งห้ามมิให้ดัดแปลงเนื้อหาและต้องอ้างอิงถึงเจ้าของเอกสารทุกครั้งที่มีการนำไปใช้

```

filterdata->x_angle += dt * (dotAngle - filterdata->x_bias);
filterdata->P_00 += -dt * (filterdata->P_10 + filterdata->P_01) + filterdata->Q_angle * dt;
filterdata->P_01 += -dt * filterdata->P_11;
filterdata->P_10 += -dt * filterdata->P_11;
filterdata->P_11 += filterdata->Q_gyro * dt;
}

// The update function updates our model using
// the information from a 2nd measurement.
// Input angle_m is the angle measured by the accelerometer.
// y = z - H x

// S = H P transpose(H) + R
// = [1 0] P [1,0]+R
// = P(0,0)+R

// K = P transpose(H) S^-1
// [P(0,0), P(1,0)]/S
// x = x + K y
// P = (I - K H) P
// ([1,0, [ K(0),
// 01]- K(1)]*[1,0])P
// =[P(0,0)-P(0,0)*K(0) P(0,1)-P(0,1)*K(0),
// =P(1,0)-P(0,0)*K(1) P(1,1)-P(0,1)*K(1)]

float kalman_update(struct kalman *filterdata, const float angle_m)
{
    const float y = angle_m - filterdata->x_angle;
    const float S = filterdata->P_00 + filterdata->R_angle;
    const float K_0 = filterdata->P_00 / S;
    const float K_1 = filterdata->P_10 / S;
    filterdata->x_angle += K_0 * y;
    filterdata->x_bias += K_1 * y;
    filterdata->P_00 -= K_0 * filterdata->P_00;
    filterdata->P_01 -= K_0 * filterdata->P_01;
    filterdata->P_10 -= K_1 * filterdata->P_00;
    filterdata->P_11 -= K_1 * filterdata->P_01;
    return filterdata->x_angle;
}
//-----//

```

ง.5 โปรแกรมย่อยควบคุมการอ่านค่าจากเอนโคเดอร์ (incap.h)

```

//-----//
//-----Function for Input Capture -----//
//-----//

#include <incap.h>
int pulse_l = 0, pulse_r = 0;
//-----//
//-----Function for Initial Input Capture -----//
//-----//

void init_incap()
{
    //Config InputCapture 1
    ConfigIntCapture(IC_INT_PRIOR_2 & IC_INT_ON); // Enable IC1 interrupt
    OpenCapture(IC_IDLE_STOP & // Capture disable in idle mode
                IC_TIMER3_SRC & // Timer 3 count for IC1
                IC_INT_1CAPTURE & // Capture 1 count for interrupt
                IC_EVERY_RISE_EDGE); // Capture every falling edge only

    //Config InputCapture 7
    ConfigIntCapture(IC_INT_PRIOR_2 & IC_INT_ON); // Enable IC7 interrupt

    OpenCapture(IC_IDLE_STOP & // Capture disable in idle mode
                IC_TIMER3_SRC & // Timer 3 count for IC7

```

เอกสารนี้เป็นเอกสารที่สงวนไว้สำหรับการใช้งานเพื่อการศึกษาเท่านั้น ไม่อนุญาตให้นำไปใช้ประโยชน์ด้านการค้า
ไม่ว่ากรณีใดๆ ทั้งสิ้น อีกทั้งห้ามมิให้ดัดแปลงเนื้อหาและต้องอ้างอิงถึงเจ้าของเอกสารทุกครั้งที่มีการนำไปใช้

```

IC_INT1CAPTURE & // Capture per 1 count for interrupt
IC_EVERY_RISE_EDGE); // Capture every falling edge only

TRISDbits.TRISD1=1;
TRISBbits.TRISB5=1;
}
//-----//
//-----Interrupt service routine Capture every Falling edge -----//
//-----//
//Input Capture 1
void _ISR_IC1Interrupt(void)
{
    IFS0bits.IC1IF = 0; // Clear IC1 interrupt flag
    if(PORTDbits.RD1)
        pulse_l--;
    else
        pulse_l++;
}
//Input Capture 7
void _ISR_IC7Interrupt(void)
{
    IFS1bits.IC7IF = 0; // Clear IC7 interrupt flag

    if(PORTBbits.RB5)
        pulse_r++;
    else
        pulse_r--;
}
//-----//
//-----Function Read Pulse from Encoder -----//
//-----//
//Read encoder from wheel Left
int read_encoder_L(void)
{
    int tmp;
    tmp = pulse_l;
    pulse_l = 0;
    return(tmp);
}
//Read encoder from wheel Right
int read_encoder_R(void)
{
    int tmp;
    tmp = pulse_r;
    pulse_r = 0;
    return(tmp);
}
//-----//

```

ง.6 โปรแกรมย่อยควบคุมหน่วยสร้างสัญญาณ PWM (pwm.h)

```

//-----//
//-----PWM Module-----//
// Motor1=PWM1L(RE0) & PWM1H(RE1)
// Motor2=PWM2L(RE2) & PWM2H(RE3)
//-----//
#define FW 0
#define BW 1
#define SP 2
//-----//
//-----PWM Initial-----//
//-----//
void init_pwm()
{
    PTPER = 1473; // setup PWM Time base period 20 kHz
                // for Free running mode
                // PTPER = (Fcy/(Fpwm*PTMR prescaler)) - 1
                // PWM 12 bit 0-40%

    OVDCON = 0x0000; // setup output for PIN PWNxL & PWNxH all not PWM
    DTCON1 = 1; // setup Dead Time ไม่น้อยกว่าให้นำไปใช้ประโยชน์ด้านการค้า

```

เอกสารนี้เป็นลิขสิทธิ์งานวิศวกรรมไฟฟ้าสำหรับการใช้งานที่ไม่อนุญาตให้นำไปใช้ประโยชน์ด้านการค้า
ไม่ว่ากรณีใดๆ ทั้งสิ้น อีกทั้งห้ามมิให้ดัดแปลงเนื้อหาและต้องอ้างอิงถึงเจ้าของเอกสารทุกครั้งที่มีการนำไปใช้

```

PWMCON1=0x0333;          // setup PWMCON1(0b001100110011)
                          // independent output mode
                          // Enable PEN1H & PEN2H for PWM [Motor 1]
                          // Enable PEN1L & PEN2L for PWM [Motor 2]

PDC1=0;                  // setup duty cycle for PWM1
PDC2=0;                  // setup duty cycle for PWM2

IFS2bits.PWMIF = 0;     // Clear PWM interrupt flag
IEC2bits.PWMIE = 0;     // Disable PWM interrupt
PTCONbits.PTMOD = 0;    // PWM time mode select [Free running mode ]
PTCONbits.PTEN = 1;     // PWM time base Enable bit
}

//-----//
//-----Motor1-----//
//-----//

void motor_L(char tris,unsigned int pwm)
{
    if(tris == FW)
    {
        OVDCONbits.POVD1H = 0;
        OVDCONbits.POVD1L = 1;
    }
    else if(tris == BW)
    {
        OVDCONbits.POVD1H = 1;
        OVDCONbits.POVD1L = 0;
    }
    else if(tris == SP)
    {
        OVDCONbits.POVD1H = 0;
        OVDCONbits.POVD1L = 0;
    }
    PDC1=pwm*29;
}

//-----//
//-----Motor2-----//
//-----//

void motor_R(char tris,unsigned int pwm)
{
    if(tris == FW)
    {
        OVDCONbits.POVD2H = 1;
        OVDCONbits.POVD2L = 0;
    }
    else if(tris == BW)
    {
        OVDCONbits.POVD2H = 0;
        OVDCONbits.POVD2L = 1;
    }
    else if(tris == SP)
    {
        OVDCONbits.POVD2H = 0;
        OVDCONbits.POVD2L = 0;
    }
    PDC2=pwm*29;
}

//-----//

```

เอกสารนี้เป็นเอกสารที่สงวนไว้สำหรับการใช้งานเพื่อการศึกษาเท่านั้น ไม่อนุญาตให้นำไปใช้ประโยชน์ด้านการค้า
ไม่ว่ากรณีใดๆ ทั้งสิ้น อีกทั้งห้ามมิให้ดัดแปลงเนื้อหาและต้องอ้างอิงถึงเจ้าของเอกสารทุกครั้งที่มีการนำไปใช้

ง.7 โปรแกรมย่อยควบคุมหน่วยสื่อสารข้อมูลอนุกรม (uart1.h)

```
//-----//
//-----UART1 Function-----//
//-----//
#include "common.h"
#define TRUE 1
#define FALSE 0
#define BAUDRATE 115200/19200
#define BRGVAL ((FCY/BAUDRATE)/16-1
#define RECV_FIFO_SIZE 96

//static unsigned char tempchar[20];
static int sFTXREG;
volatile unsigned char recv_fifo[RECV_FIFO_SIZE];
volatile unsigned char *recv_fifo_head;
volatile unsigned char *recv_fifo_tail;
volatile unsigned char recv_fifo_byte_count;
void init_uart1();
void init_uart1_buffer(void);
unsigned char uart1_getc(void);
int is_uart1_char_ready(void);
int uart1_putc(char c);
int uart1_puts(const char *s);

extern void __attribute__((interrupt, no_auto_psv)) _U1RXInterrupt(void)
{
    unsigned char temp;
    IFS0bits.U1RXIF = 0;
    if(recv_fifo_byte_count < RECV_FIFO_SIZE)
    {
        IEC0bits.U1RXIE = 0;
        temp = U1RXREG;
        *recv_fifo_head = temp;
        recv_fifo_head++;
        if(recv_fifo_head == (recv_fifo + RECV_FIFO_SIZE))
            recv_fifo_head = recv_fifo;
        recv_fifo_byte_count++;
        IEC0bits.U1RXIE = 1;
    }
    else{
        IEC0bits.U1RXIE = 0;
        IFS0bits.U1RXIF = 0;
    }
}

extern void __attribute__((interrupt, no_auto_psv)) _U1TXInterrupt(void)
{
    sFTXREG=0;
    IFS0bits.U1TXIF = 0;
    while(U1STAbits.UTXBF);
}

void init_uart1()
{
    /** configure U1MODE ***/
    //U1MODEbits.UARTEN = 1; // Bit15 TX, RX DISABLED, ENABLE at end of func
    //U1MODEbits.notimplemented; // Bit14 Unimplemented: Read as '0'
    U1MODEbits.USIDL = 0; // Bit13 Continue in Idle
    U1MODEbits.ALTIO = 1; // Bit10 ALTIO: UART Alternate I/O Selection bit
    //U1MODEbits.notimplemented; // Bit9:8 Unimplemented: Read as '0'
    U1MODEbits.WAKE = 0; // Bit7 No Wake up (since we don't sleep here)
    U1MODEbits.LPBACK = 0; // Bit6 No Loop Back
    U1MODEbits.ABAUD = 0; // Bits No Auto baud (would require sending 'ss')
    //U1MODEbits.notimplemented; // Bit4:3 Unimplemented: Read as '0'
    U1MODEbits.PDSEL = 0; // Bit1:2:8bit, No Parity
    U1MODEbits.STSEL = 0; // Bit0 One Stop Bit
    U1BRG = BRGVAL;

```

เอกสารนี้เป็นเอกสารที่สงวนไว้สำหรับการใช้งานเพื่อการศึกษาเท่านั้น ไม่อนุญาตให้นำไปใช้ประโยชน์ด้านการค้า
ไม่ว่ากรณีใดๆ ทั้งสิ้น อีกทั้งห้ามมิให้ดัดแปลงเนื้อหาและต้องอ้างอิงถึงเจ้าของเอกสารทุกครั้งที่มีการนำไปใช้

```

/**configure U2Status ***/
//U1STA = 0x0440; // Reset status register and enable TX & RX
//Load all values in for U1STA SFR
U1STAbits.UTXISEL = 1; //Bit15 Int when Char is transferred (1/2 config!)
//U1STAbits.notimplemented; //Bit14-12
U1STAbits.UTXBRK = 0; //Bit11 Transmit Break bit
//U1STAbits.UTXEN = 1; //Bit10 Transmit Enable bit
U1STAbits.UTXBF = 0; //Bit9 Read Only Bit
//Transmit Buffer Full Status bit
U1STAbits.TRMT = 0; //Bit8 Read Only bit* Transmit Shift Register
U1STAbits.URXISEL = 0; //Bits6,7 Receive Interrupt Mode Selection bit
U1STAbits.ADDEN = 0; //Bit5 Address Detect Disabled
U1STAbits.RIDLE = 0; //Bit4*Read Only Bit* Receiver Idle
U1STAbits.PERR = 0; //Bit3*Read Only Bit* Parity Error Status
U1STAbits.FERR = 0; //Bit2*Read Only Bit* Framing Error Status
U1STAbits.OERR = 0; //Bit1*Read Only Bit* Receive Buffer
//Overrun Error Status
U1STAbits.URXDA = 0; //Bit0*Read Only Bit* Receive
//Buffer Data Available bit
//IPC6=0x4400; // Mid Range Interrupt Priority level,
//no urgent reason
IFS0bits.U1TXIF = 0; // Clear the Transmit Interrupt Flag
IEC0bits.U1TXIE = 1; // Enable Transmit Interrupts
IFS0bits.U1RXIF = 0; // Clear the Recieve Interrupt Flag
IEC0bits.U1RXIE = 1; // Enable Recieve Interrupts
UMODEbits.UARTEN = 1; // And turn the peripheral on
U1STAbits.UTXEN = 1;
init_uart1_buffer();
}

void init_uart1_buffer(void)
{
    recv_fifo_head = recv_fifo;
    recv_fifo_tail = recv_fifo;
    recv_fifo_byte_count = 0;
}

int is_uart1_char_ready(void)
{
    if(recv_fifo_byte_count != 0)
        return(TRUE);
    else
        return(FALSE);
}

int uart1_putc(char c)
{
    while (U1STAbits.UTXBF); // wait for room in the transmit buffer
    U1TXREG = c;
    return 0;
}

int uart1_puts(const char *s)
{
    while (*s)
        uart1_putc(*s++);
    return 0;
}

unsigned char uart1_getc(void)
{
    unsigned char value;
    value = 0;
    if(recv_fifo_byte_count > 0)
    {
        value = *recv_fifo_tail++;
        if(recv_fifo_tail == (recv_fifo + RECV_FIFO_SIZE))
            recv_fifo_tail = recv_fifo;
        recv_fifo_byte_count--;
    }
}

```

เอกสารนี้เป็นเอกสารที่สงวนไว้สำหรับการใช้งานเพื่อการศึกษาเท่านั้น ไม่อนุญาตให้นำไปใช้ประโยชน์ด้านการค้า
ไม่ว่ากรณีใดๆ ทั้งสิ้น อีกทั้งห้ามมิให้ตัดแปลงเนื้อหาและต้องอ้างอิงถึงเจ้าของเอกสารทุกครั้งที่มีการนำไปใช้

```

    }
    return(value);
}

int uart1_gets(char *s)
{
    char tmp;
    while(1)
    {
        if(is_uart1_char_ready())
        {
            tmp = uart1_getc();
            *s++ = tmp;
        }
        if(*s == '\n')
            break;
    }
    return 0;
}

int uart1_putcommand(char *s )
{
    while (*s!='\n')
        uart1_putc(*s++);
    return 0;
}
//-----//

```

ง.8 โปรแกรมย่อยควบคุมจอแสดงผลแอลซีดี (lcd3310.h)

```

//-----//
//----- NOKIA LCD3310 Module -----//
//-----//
#ifndef lcd3310_h
#define lcd3310_h
//-----//
//----- Config PIN LCD-----//
//-----//
#define LCD3310_RST           LATFbits.LATF2           // LCD3310 Reset LCD
#define TRIS_RST             TRISFbits.TRISF2
#define LCD3310_CS          LATEbits.LATE4           // LCD3310 Chip select
#define TRIS_CS              TRISEbits.TRISE4
#define LCD3310_DC          LATEbits.LATE5           // LCD3310 Data /Command mode
select
#define TRIS_DC              TRISEbits.TRISE5
#define LCD3310_SDIN        LATFbits.LATF3           // LCD3310 Data in
#define TRIS_SDIN           TRISFbits.TRISF3
#define LCD3310_SCLK        LATEbits.LATE8           // LCD3310 CLK
#define TRIS_SCLK           TRISEbits.TRISE8
//-----//
//-----//
//----- Font table -----//
//-----//
static const unsigned short FontLookup [][][5] =
{
    { 0x00, 0x00, 0x00, 0x00, 0x00 }, // sp
    { 0x00, 0x00, 0x2f, 0x00, 0x00 }, // !
    { 0x00, 0x07, 0x00, 0x07, 0x00 }, // "
    { 0x14, 0x7f, 0x14, 0x7f, 0x14 }, // #
    { 0x24, 0x2a, 0x7f, 0x2a, 0x12 }, // $
    { 0xc4, 0xc8, 0x10, 0x26, 0x46 }, // %
    { 0x36, 0x49, 0x55, 0x22, 0x50 }, // &
    { 0x00, 0x05, 0x03, 0x00, 0x00 }, // '
    { 0x00, 0x1c, 0x22, 0x41, 0x00 }, // (
    { 0x00, 0x41, 0x22, 0x1c, 0x00 }, // )
    { 0x14, 0x08, 0x3E, 0x08, 0x14 }, // *
    { 0x08, 0x08, 0x3E, 0x08, 0x08 }, // +
    { 0x00, 0x00, 0x50, 0x30, 0x00 }, // ,
    { 0x10, 0x10, 0x10, 0x10, 0x10 }, // -

```

เอกสารนี้เป็นเอกสารที่สงวนไว้สำหรับการใช้งานเพื่อการศึกษาเท่านั้น ไม่อนุญาตให้นำไปใช้ประโยชน์ด้านการค้า
ไม่ว่ากรณีใดๆ ทั้งสิ้น อีกทั้งห้ามมิให้ดัดแปลงเนื้อหาและต้องอ้างอิงถึงเจ้าของเอกสารทุกครั้งที่มีการนำไปใช้

```

{ 0x00, 0x60, 0x60, 0x00, 0x00 }, // .
{ 0x20, 0x10, 0x08, 0x04, 0x02 }, // /
{ 0x3E, 0x51, 0x49, 0x45, 0x3E }, // 0
{ 0x00, 0x42, 0x7F, 0x40, 0x00 }, // 1
{ 0x42, 0x61, 0x51, 0x49, 0x46 }, // 2
{ 0x21, 0x41, 0x45, 0x4B, 0x31 }, // 3
{ 0x18, 0x14, 0x12, 0x7F, 0x10 }, // 4
{ 0x27, 0x45, 0x45, 0x45, 0x39 }, // 5
{ 0x3C, 0x4A, 0x49, 0x49, 0x30 }, // 6
{ 0x01, 0x71, 0x09, 0x05, 0x03 }, // 7
{ 0x36, 0x49, 0x49, 0x49, 0x36 }, // 8
{ 0x06, 0x49, 0x49, 0x29, 0x1E }, // 9
{ 0x00, 0x36, 0x36, 0x00, 0x00 }, // :
{ 0x00, 0x56, 0x36, 0x00, 0x00 }, // ;
{ 0x08, 0x14, 0x22, 0x41, 0x00 }, // <
{ 0x14, 0x14, 0x14, 0x14, 0x14 }, // =
{ 0x00, 0x41, 0x22, 0x14, 0x08 }, // >
{ 0x02, 0x01, 0x51, 0x09, 0x06 }, // ?
{ 0x32, 0x49, 0x59, 0x51, 0x3E }, // @
{ 0x7E, 0x11, 0x11, 0x11, 0x7E }, // A
{ 0x7F, 0x49, 0x49, 0x49, 0x36 }, // B
{ 0x3E, 0x41, 0x41, 0x41, 0x22 }, // C
{ 0x7F, 0x41, 0x41, 0x22, 0x1C }, // D
{ 0x7F, 0x49, 0x49, 0x49, 0x41 }, // E
{ 0x7F, 0x09, 0x09, 0x09, 0x01 }, // F
{ 0x3E, 0x41, 0x49, 0x49, 0x7A }, // G
{ 0x7F, 0x08, 0x08, 0x08, 0x7F }, // H
{ 0x00, 0x41, 0x7F, 0x41, 0x00 }, // I
{ 0x20, 0x40, 0x41, 0x3F, 0x01 }, // J
{ 0x7F, 0x08, 0x14, 0x22, 0x41 }, // K
{ 0x7F, 0x40, 0x40, 0x40, 0x40 }, // L
{ 0x7F, 0x02, 0x0C, 0x02, 0x7F }, // M
{ 0x7F, 0x04, 0x08, 0x10, 0x7F }, // N
{ 0x3E, 0x41, 0x41, 0x41, 0x3E }, // O
{ 0x7F, 0x09, 0x09, 0x09, 0x06 }, // P
{ 0x3E, 0x41, 0x51, 0x21, 0x5E }, // Q
{ 0x7F, 0x09, 0x19, 0x29, 0x46 }, // R
{ 0x46, 0x49, 0x49, 0x49, 0x31 }, // S
{ 0x01, 0x01, 0x7F, 0x01, 0x01 }, // T
{ 0x3F, 0x40, 0x40, 0x40, 0x3F }, // U
{ 0x1F, 0x20, 0x40, 0x20, 0x1F }, // V
{ 0x3F, 0x40, 0x38, 0x40, 0x3F }, // W
{ 0x63, 0x14, 0x08, 0x14, 0x63 }, // X
{ 0x07, 0x08, 0x70, 0x08, 0x07 }, // Y
{ 0x61, 0x51, 0x49, 0x45, 0x43 }, // Z
{ 0x00, 0x7F, 0x41, 0x41, 0x00 }, // [
{ 0x55, 0x2A, 0x55, 0x2A, 0x55 }, // 55
{ 0x00, 0x41, 0x41, 0x7F, 0x00 }, // ]
{ 0x04, 0x02, 0x01, 0x02, 0x04 }, // ^
{ 0x40, 0x40, 0x40, 0x40, 0x40 }, // _
{ 0x00, 0x01, 0x02, 0x04, 0x00 }, // `
{ 0x20, 0x54, 0x54, 0x54, 0x78 }, // a
{ 0x7F, 0x48, 0x44, 0x44, 0x38 }, // b
{ 0x38, 0x44, 0x44, 0x44, 0x20 }, // c
{ 0x38, 0x44, 0x44, 0x48, 0x7F }, // d
{ 0x38, 0x54, 0x54, 0x54, 0x18 }, // e
{ 0x08, 0x7E, 0x09, 0x01, 0x02 }, // f
{ 0x0C, 0x52, 0x52, 0x52, 0x3E }, // g
{ 0x7F, 0x08, 0x04, 0x04, 0x78 }, // h
{ 0x00, 0x44, 0x7D, 0x40, 0x00 }, // i
{ 0x20, 0x40, 0x44, 0x3D, 0x00 }, // j
{ 0x7F, 0x10, 0x28, 0x44, 0x00 }, // k
{ 0x00, 0x41, 0x7F, 0x40, 0x00 }, // l
{ 0x7C, 0x04, 0x18, 0x04, 0x78 }, // m
{ 0x7C, 0x08, 0x04, 0x04, 0x78 }, // n
{ 0x38, 0x44, 0x44, 0x44, 0x38 }, // o
{ 0x7C, 0x14, 0x14, 0x14, 0x08 }, // p
{ 0x08, 0x14, 0x14, 0x18, 0x7C }, // q
{ 0x7C, 0x08, 0x04, 0x04, 0x08 }, // r
{ 0x48, 0x54, 0x54, 0x54, 0x20 }, // s
{ 0x04, 0x3F, 0x44, 0x40, 0x20 }, // t
{ 0x3C, 0x40, 0x40, 0x20, 0x7C }, // u
{ 0x1C, 0x20, 0x40, 0x20, 0x1C }, // v
{ 0x3C, 0x40, 0x30, 0x40, 0x3C }, // w
{ 0x44, 0x28, 0x10, 0x28, 0x44 }, // x
{ 0x0C, 0x50, 0x50, 0x50, 0x3C }, // y
{ 0x44, 0x64, 0x54, 0x4C, 0x44 }, // z

```



เอกสารนี้เป็นเอกสารที่จัดทำขึ้นเพื่อใช้ในการศึกษาเท่านั้น ไม่อนุญาตให้นำไปใช้ประโยชน์ด้านการค้า
 ไม่ว่ากรณีใดๆ ทั้งสิ้น อีกทั้งห้ามมิให้ดัดแปลงเนื้อหาและต้องอ้างอิงถึงเจ้าของเอกสารทุกครั้งที่มีการนำไปใช้

```

};

//-----//
typedef enum
{
    LCD_CMD = 0,
    LCD_DATA = 1
} LcdCmdData;
//-----//
//-----Function Prototype-----//
//-----//
#define lcd_print(x,y,data)  lcd_gotoxy(x,y); lcd_puts(data);

void init_lcd(); // Init SPI LCD
void lcd_clear(); // Clear screen
void lcd_gotoxy(unsigned short xnokia, // Set the position
                unsigned short ynokia); //for data (x = 0->83, y = 0->5)
void lcd_puts(char *dataPtr ); // Print Mesg to LCD
void lcd_putc(char ascii_code); // Print char to LCD
void lcd_send(unsigned short data, unsigned short cd ); // Send Command/Data
//-----//
//-----Init LCD-----//
//-----//

void init_lcd()
{
    TRIS_RST = 0;
    TRIS_CS = 0;
    TRIS_DC = 0;
    TRIS_SDIN = 0;
    TRIS_SCLK = 0;
    LCD3310_RST = 1; // RST LCD
    LCD3310_CS = 1; // Set SPI CS pin du LCD 3310
    LCD3310_DC = 0; // Enter Data Mode
    lcd_send( 0x21, LCD_CMD ); // LCD Extended Commands.
    lcd_send( 0xC8, LCD_CMD ); // Set LCD Vop (Contrast).
    lcd_send( 0x06, LCD_CMD ); // Set Temp coefficient.
    lcd_send( 0x13, LCD_CMD ); // LCD bias mode 1:48.
    lcd_send( 0x20, LCD_CMD ); // LCD Standard Commands,Horizontal address mode.
    lcd_send( 0x0C, LCD_CMD ); // LCD in normal mode.
    lcd_clear();
}

//-----//
//-----LCD Clear-----//
//-----//

void lcd_clear()
{
    unsigned int x, y;
    for (y=0; y<6; y++)
        for (x=0; x<84; x++)
            lcd_send(0x00, LCD_DATA);
}

//-----//
//-----LCD Go to X Y-----//
//-----//

void lcd_gotoxy(unsigned short xnokia, unsigned short ynokia)
{
    lcd_send(0x40|(ynokia & 0x07),LCD_CMD); // new y cursor position
    lcd_send(0x80|(xnokia & 0x7f),LCD_CMD); // new x cursor position
}

//-----//
//-----LCD Print String-----//
//-----//

void lcd_puts(char *dataPtr )
{
    while (*dataPtr)
        lcd_putc( *dataPtr++ );
}

```

เอกสารนี้เป็นเอกสารที่สงวนไว้สำหรับกรใช้งานที่ออกการศึกษาเท่านั้น ไม่อนุญาตให้นำไปใช้ประโยชน์// การค้า
ไม่ว่ากรณีใดๆ ทั้งสิ้น อีกทั้งห้ามมิให้ดัดแปลงเนื้อหาและต้องอ้างอิงถึงเจ้าของเอกสารทุกครั้งที่มีการนำไปใช้

```

//-----LCD Print Char-----//
//-----//

void lcd_putc(char ascii_code)
{
    if (ascii_code<0x20)
        return;
    lcd_send( FontLookup [ascii_code-0x20][0], LCD_DATA ); // bout de char
    lcd_send( FontLookup [ascii_code-0x20][1], LCD_DATA ); // bout de char
    lcd_send( FontLookup [ascii_code-0x20][2], LCD_DATA ); // bout de char
    lcd_send( FontLookup [ascii_code-0x20][3], LCD_DATA ); // bout de char
    lcd_send( FontLookup [ascii_code-0x20][4], LCD_DATA ); // bout de char
}

//-----LCD Send data-----//
//-----//

void lcd_send(unsigned short data, unsigned short cd )
{
    char caa;
    if (cd == LCD_DATA)
        LCD3310_DC = 1; // Enter Data Mode
    else
        LCD3310_DC = 0; // Enter Command Mode

    LCD3310_CS = 0; // Set SPI CS PIN LCD 3310
    for (caa=8;caa>0;caa--)
    {
        LCD3310_SCLK = 0;
        if ((data & 0x80)==0)
        {
            LCD3310_SDIN = 0;
        }
        else
        {
            LCD3310_SDIN = 1;
        }
        LCD3310_SCLK = 1;
        data = data<<1;
    }
    LCD3310_CS = 1; // Set SPI CS pin du LCD 3310 non actif
}
#endif
//-----//

```

ง.9 โปรแกรมย่อยกำหนดค่าของไมโครคอนโทรลเลอร์ (common.h)

```

//-----//
//we're using the external oscillator so it's running at 7.3728MHz
#define XTAL 7372800
#define PLL 16
#define FCY XTAL*PLL/4
//-----//

```

ง.10 โปรแกรมหลักของระบบควบคุมอินเวอร์ทเพนดูลัม (main.c)

```

//-----//
//-----Main Program-----//
//-----//

#include <stdio.h>
#include <math.h>
#include <stdlib.h>
#include <timer.h>
#include "gyro.h"
#include "accelero.h"
#include "timer.h"
#include "pwm.h"
#include "incap.h"
#include "kalman.h"
#include "lcd3310.h"
#include "uart.h"

```

เอกสารนี้เป็นเอกสารที่สงวนไว้สำหรับการใช้งานเพื่อการศึกษาเท่านั้น ไม่อนุญาตให้นำไปใช้ประโยชน์ด้านการค้า
ไม่ว่ากรณีใดๆ ทั้งสิ้น อีกทั้งห้ามมิให้ดัดแปลงเนื้อหาและต้องอ้างอิงถึงเจ้าของเอกสารทุกครั้งที่มีการนำไปใช้

```

//-----Configuration bits -----//
//-----Configuration bits -----//
//-----Configuration bits -----//

_FOSC(CSW_FSCM_OFF & XT_PLL16); //7.3728Mhz *16=117.9648 MHz /4=29.4912 MIPS
_FWDT(WDT_OFF);
_FBORPOR(PBOR_OFF & BORV_27 & PWRT_16 & MCLR_EN);
_FGS(CODE_PROT_OFF);
//-----Define Constant -----//
//-----Define Constant -----//
//-----Define Constant -----//
#define MPP                                0.000817                //metre per pulse
#define angle_acc_offset                    1.7562/1.5708/1.770
#define angle_rate_offset                   -0.2145/0.125
#define angle_kal_offset                    0.007
//Gain K
#define K_x                                 -31
#define K_xdot                              -51
#define K_a                                  4578
#define K_adot                               11
#define K_servo                              10
//-----Function Prototype -----//
//-----Function Prototype -----//
//-----Function Prototype -----//

void init_timer20;
void delay_ms(unsigned int N);
void balancing_control();

//-----Define Variable -----//
//-----Define Variable -----//
//-----Define Variable -----//

char charIn,i;
char buffer[50];
char tempString[100];
char *tempPointer;
char count = 0;
char flag = 0;
int pwm = 0;
int send = 0;
double angle_kal = 0;
double angle_acc = 0;
double angle_rate = 0;
double angle_rate1=0;
double angle_rate2=0;
double X = 0;
double X_dot = 0;
double X_old = 0;
double command_motor = 0;
double command = 0;
double X_ref = 0;
double X_ref_old = 0;
double X_integral = 0;
double command_servo = 0;
double setpoint = 0;
float dt;
struct kalman filter_angle;

//-----Main Function -----//
//-----Main Function -----//
//-----Main Function -----//

int main()
{
    tempPointer = tempString;
    delay_ms(100);
    init_pwm();

```

เอกสารนี้เป็นเอกสารที่สงวนไว้สำหรับการใช้งานเพื่อการศึกษาเท่านั้น ไม่อนุญาตให้นำไปใช้ประโยชน์ด้านการค้า
ไม่ว่ากรณีใดๆ ทั้งสิ้น อีกทั้งห้ามมิให้ดัดแปลงเนื้อหาและต้องอ้างอิงถึงเจ้าของเอกสารทุกครั้งที่มีการนำไปใช้

```

        motor_L(SP,0);
        motor_R(SP,0);

init_adc();
init_incap();
init_uart0;
init_lcd();
init_timer20;
// timer_init_ms();
init_kalman(&filter_angle, 0.0001, 0.0003, 0.69);//q_angle,q_gyro,r_angle
delay_ms(200);
lcd_print(1,1,"adot =");
lcd_print(1,2,"angle =");
lcd_print(1,3,"kal =");
lcd_print(1,4,"V:      X:");
lcd_print(1,5,"com:      PWM:");
//timer_reset();
        motor_L(BW,25);
        motor_R(BW,25);
while(1)
{
    if(is_uart1_char_ready())
    {
        do{
            while(!is_uart1_char_ready());
            charIn = uart1_getc();
            *tempPointer = charIn;
            tempPointer++;
            count++;
        }while((charIn != 0x0A) && (charIn != 0x0D));
        tempPointer = tempPointer - count;
        count =0;
        command = atof(tempString);
        sprintf(buffer,"command = %.2f ",command);
        lcd_print(0,0,buffer);
        //uart1_puts(buffer);
        flag = 1;
    }
}
return 0;
}

//-----Function Delay-----//
//-----//

void delay_ms(unsigned int N)
{
    unsigned int j;
    while(N-->0)
        for(j=0;j<5600;j++);
}

//-----Timer2 Initial-----//
//-----//

void init_timer20
{
    unsigned int match_value;
    ConfigIntTimer2(T2_INT_PRIOR_1 & T2_INT_ON); // Timer 2 Enable interrupt
    //Configuration Timer 2 for interrupt
    WriteTimer2(0); // Timer 2 clear period
    match_value = 1152; // Timer 2 interval 10 ms
    OpenTimer2(T2_ON &T2_GATE_OFF & T2_IDLE_STOP &
        T2_PS_1_256 & T2_SOURCE_INT, match_value);
}

```

เอกสารนี้เป็นเอกสารที่สงวนไว้สำหรับการใช้งานเพื่อการศึกษาเท่านั้น ไม่อนุญาตให้นำไปใช้ประโยชน์ด้านการค้า
ไม่ว่ากรณีใดๆ ทั้งสิ้น อีกทั้งห้ามมิให้ดัดแปลงเนื้อหาและต้องอ้างอิงถึงเจ้าของเอกสารทุกครั้งที่มีการนำไปใช้

```

//-----//
//----- Interrupt service routine Timer 2 every 10 ms -----//
//-----//

void __attribute__((__interrupt__)) _T2Interrupt(void)
{
    IFS0bits.T2IF = 0;           // Clear Timer interrupt flag
    WriteTimer2(0);             // Clear count value at TMR2 register

    balancing_control();
}
//-----//
//----- Balancing Control -----//
//-----//

void balancing_control()
{
    dt = 0.01;                  //simpling Time

    sprintf(buffer,"dt = %.sf ",dt);
    lcd_print(0,buffer);

    //-----Find Angle Rate-----//

    angle_rate = gyro_y_rad() + angle_rate_offset;
    //debug angle rate
    sprintf(buffer,"%3f ",angle_rate);
    lcd_print(40,buffer);

    //-----Find Angle-----//
    //execute kalman filter
    //read angle from accelerometer
    angle_acc = read_angle() + angle_acc_offset;
    //Kalman predict
    kalman_predict(&filter_angle, angle_rate, dt);
    //Kalman update + result (angle)
    angle_kal = kalman_update(&filter_angle, angle_acc);

    angle_rate1=(angle_kal-angle_rate2)/dt;
    angle_rate2=angle_kal;

    //debug angle
    sprintf(buffer,"%3f ",angle_acc);
    lcd_print(40,buffer);
    sprintf(buffer,"%3f ",angle_kal);
    lcd_print(40,buffer);

    //-----Find Distance & velocity-----//
    X += ((read_encoder_L()+read_encoder_R())/2)*MPP;

    X_dot = (X - X_old)/dt;

    X_old = X;
    //debug distance , velocity
    sprintf(buffer,"%2f ",X_dot);
    lcd_print(15,buffer);
    sprintf(buffer,"%2f ",X);
    lcd_print(55,buffer);

    //-----Servo Control-----//
    /*
    X_ref = setpoint - X;
    //integral
    X_integral += 0.5*(X_ref+X_ref_old)*dt;
    X_ref_old = X_ref;

```

เอกสารนี้เป็นเอกสารที่สงวนลิขสิทธิ์ไว้เพื่อใช้ในการศึกษาเท่านั้น ไม่อนุญาตให้นำไปใช้ประโยชน์ด้านการค้า
ไม่ว่ากรณีใดๆ ทั้งสิ้น อีกทั้งห้ามมิให้ดัดแปลงเนื้อหาและต้องอ้างอิงถึงเจ้าของเอกสารทุกครั้งที่มีการนำไปใช้

ภาคผนวก จ

โปรแกรมออกแบบตัวควบคุมด้วย MATLAB

```

%%%%%%%%%%%%%%%%%%%%%%%%%%%%%%%%%%%%%%%%%%%%%%%%%%%%%%%%%%%%%%%%%%%%%%%%
%%      LQR Method      %%
%%%%%%%%%%%%%%%%%%%%%%%%%%%%%%%%%%%%%%%%%%%%%%%%%%%%%%%%%%%%%%%%%%%%%%%%
%% Moment of Inertia %%
%%%%%%%%%%%%%%%%%%%%%%%%%%%%%%%%%%%%%%%%%%%%%%%%%%%%%%%%%%%%%%%%%%%%%%%%

Mr = 0.81217 ;           % Mass of Robot (kg)
Mp = 0.1      ;           % Mass of Plate (kg)
Ir           ;           % Moment of inertia ( robot )
Ip           ;           % Moment of inertia ( Plate )
rr = 0.072   ;           % Radius of plate (m)
L = 0.92    ;           % Height
Tpp = 0.02   ;           % Period of plate
Tp = 0.00053763;       % Period of Total
g = 9.81    ;           % Gravity
%% Calculate %%
Ipp = (Mp*(rr^2)*g*(Tpp^2))/(L*((2*pi)^2));
%% Variable of initial %%

g = 9.81 ;               % Gravity (m/s^2)
r = 0.01 ;               % Radius of wheel (m)
Mw = 0.175 ;             % Mass of wheel (kg)
Mp = 0.81217 ;           % Mass of robot's chassis (kg)
Iw = ((Mw*r)^2)/2 ;      % Inertia of wheel (kg*m^2)

Ip = ((Mp+Mr)*(rr^2)*g*(Tpp^2))/(L*((2*pi)^2))-Ipp;
% Inertia of robot's chassis (kg*m^2)

l = 0.15 ;               % Length to the body's centre of mass (m)

%% Variable of Motor %%
Km = 0.0134 ;            % Motor torque constant (Nm/A)
Ke = 0.013369 ;         % Back emf constant (Vs/rad)
R = 1.9 ;                % Nominal Terminal Resistance (ohm)

%% Matrix System %%
beta = ( 2*Mw + (2*Iw/r^2) + Mp ) ;
alpha = ( Ip*beta + 2*Mp*l^2*(Mw+(Iw/r^2)) ) ;
A = [ 0 1 0 0 ;
      0 (2*Km*Ke*((Mp*l*r)-Ip-(Mp*l^2)))/(R*r^2*alpha) (Mp^2*g*l^2)/alpha 0 ;
      0 0 0 0 ;
      0 (2*Km*Ke*((r*beta)-(Mp*l)))/(R*r^2*alpha) (Mp*g*l*beta)/alpha 0 ]

B = [ 0 ;
      (2*Km*(Ip+(Mp*l^2)-(Mp*l*r)))/(R*r*alpha) ;
      0 ;
      (2*Km*((Mp*l)-(r*beta)))/(R*r*alpha) ]

C = [ 1 0 0 0 ;
      0 0 1 0 ]

D = [ 0 ;
      0 ]

%% Transfer function of state space system %%

disp('Transfer Function of the system')
[num,den] = ss2tf(A,B,C,D)
printsys(num,den)

%% The Eigenvalues of the system matrix %%

disp('The Eigenvalue of the system matrix A')
disp('A positive value will indicate an unstable system')
p = eig(A)

%%%%%%%%%%%%%%%%%%%%%%%%%%%%%%%%%%%%%%%%%%%%%%%%%%%%%%%%%%%%%%%%%%%%%%%%
%% LQR Control Design %%
%%%%%%%%%%%%%%%%%%%%%%%%%%%%%%%%%%%%%%%%%%%%%%%%%%%%%%%%%%%%%%%%%%%%%%%%
disp('Designing the LQR controller')

```

เอกสารนี้เป็นเอกสารลิขสิทธิ์ของสถาบันเทคโนโลยีพระจอมเกล้าเจ้าคุณทหารลาดกระบัง เพื่อการศึกษาเท่านั้น ไม่อนุญาตให้นำไปใช้ประโยชน์ด้านการค้า

ไม่ว่ากรณีใดๆ ทั้งสิ้น อีกทั้งห้ามมิให้ดัดแปลงเนื้อหาและต้องอ้างอิงถึงเจ้าของเอกสารทุกครั้งที่มีการนำไปใช้

```

disp('Q = C'*C is a 4x4 weighting matrix for the outputs')
disp('R = is a 1x1 weighting matrix for the input')

% x is the weighting for the cart position
% y is the weighting for the pendulum position
w = 100;
x = 1 ;
y = 20000 ;
z = 1 ;

Q = [w 0 0 0 ;
     0 x 0 0 ;
     0 0 y 0 ;
     0 0 0 z] ;
R = 0.001;

%% Feedback Gain
disp('Feedback Gains for the system')
K = LQR(A,B,Q,R)

%%%%%%%%%%%%%%%%%%%%%%%%%%%%%%%%%%%%%%%%%%%%%%%%%%%%%%%%%%%%%%%%%%%%%%%%
%% Simulate the system %%
%%%%%%%%%%%%%%%%%%%%%%%%%%%%%%%%%%%%%%%%%%%%%%%%%%%%%%%%%%%%%%%%%%%%%%%%
close all
%% Simulation time step
t = 0:0.01:10;
%% System matrices with feedback
Ac = [A-(B*K)] ; % xDot = (A-BK)x , u = -Kx
Bc = [B] ;
Cc = [C] ;
Dc = [D] ;

New_pole = eig(Ac)

%% Plot Step Response
figure(1) , step(Ac,B,eye(4),[0:0:0:0]), %% Response of step input
grid
title ('Step Response of LQR Controller')
xlabel('time[s]') ,
ylabel('Angular velocity(rad/s) Angle[rad] Velocity[m/s] Position[m]'),

%%%%%%%%%%%%%%%%%%%%%%%%%%%%%%%%%%%%%%%%%%%%%%%%%%%%%%%%%%%%%%%%%%%%%%%%
%% Define Gain %%
%%%%%%%%%%%%%%%%%%%%%%%%%%%%%%%%%%%%%%%%%%%%%%%%%%%%%%%%%%%%%%%%%%%%%%%%
k1= -51;
k2= -61;
k3= 4578;
k4= 10;
K = [k1 k2 k3 k4] ;

%%%%%%%%%%%%%%%%%%%%%%%%%%%%%%%%%%%%%%%%%%%%%%%%%%%%%%%%%%%%%%%%%%%%%%%%
%% Simulate the system (define gain) %%
%%%%%%%%%%%%%%%%%%%%%%%%%%%%%%%%%%%%%%%%%%%%%%%%%%%%%%%%%%%%%%%%%%%%%%%%

close all
%% Simulation time step
t = 0:0.01:10;
%% System matrices with feedback
Acc = [A-(B*K)] ; % xDot = (A-BK)x , u = -Kx
Bc = [B] ;
Cc = [C] ;
Dc = [D] ;

New_pole = eig(Acc)

%% Plot Step Response

figure(1) , step(Acc,B,eye(4),[0:0:0:0]), %% Response of step input
grid
title ('Step Response of LQR Controller')
xlabel('time[s]') ,
ylabel('Angular velocity(rad/s) Angle[rad] Velocity[m/s] Position[m]'),

```

เอกสารนี้เป็นเอกสารที่สงวนไว้สำหรับการใช้งานเพื่อการศึกษาเท่านั้น ไม่อนุญาตให้นำไปใช้ประโยชน์ด้านการค้า
ไม่ว่ากรณีใดๆ ทั้งสิ้น อีกทั้งห้ามมิให้ดัดแปลงเนื้อหาและต้องอ้างอิงถึงเจ้าของเอกสารทุกครั้งที่มีการนำไปใช้